

東海第二発電所 審査資料	
資料番号	PD-C-1 改 64
提出年月日	平成 29 年 8 月 31 日

東海第二発電所

設計基準対象施設について

平成 29 年 8 月
日本原子力発電株式会社

本資料のうち、は商業機密又は核物質防護上の観点から公開できません。

目 次

- 4 条 地震による損傷の防止
- 5 条 津波による損傷の防止
- 6 条 外部からの衝撃による損傷の防止（その他外部事象）
- 6 条 外部からの衝撃による損傷の防止（竜巻）
- 6 条 外部からの衝撃による損傷の防止（外部火災）
- 6 条 外部からの衝撃による損傷の防止（火山）
- 7 条 発電用原子炉施設への人の不法な侵入等の防止
- 8 条 火災による損傷の防止
- 9 条 溢水による損傷の防止等
- 10 条 誤操作の防止
- 11 条 安全避難通路等
- 12 条 安全施設（静的機器の単一故障）
- 14 条 全交流動力電源喪失対策設備
- 16 条 燃料体等の取扱施設及び貯蔵施設
- 17 条 原子炉冷却材圧力バウンダリ
- 23 条 計測制御系統施設（第 16 条に含む）
- 24 条 安全保護回路
- 26 条 原子炉制御室等
- 31 条 監視設備
- 33 条 保安電源設備
- 34 条 緊急時対策所
- 35 条 通信連絡設備

東海第二発電所

中央制御室等について

本資料のうち、は商業機密又は核物質防護上の観点から公開できません。

第 26 条 原子炉制御室等

1. 基本方針

- 1.1 要求事項の整理
- 1.2 追加要求事項に対する適合方針
- 1.3 気象等
- 1.4 設備等（手順等含む）

2. 追加要求事項に対する適合方針

- 2.1 外の状況を把握する設備
- 2.2 酸素濃度計及び二酸化炭素濃度計

3. 別添

別添 1 原子炉制御室について（被ばく評価除く）

別添 2 原子炉制御室の居住性に係る被ばく評価について

別添 3 運用，手順説明資料 原子炉制御室等

東海第二発電所

原子炉制御室の居住性（設計基準事故）

に係る被ばく評価について

目 次

中央制御室の居住性（設計基準事故時）に係る被ばく評価について.....	
.....	26 条-別添 2-1
1. 大気中への放出量の評価.....	26 条-別添 2-1
2. 大気拡散の評価.....	26 条-別添 2-1
3. 原子炉建屋内の放射性物質からのガンマ線の評価.....	26 条-別添 2-1
4. 中央制御室の居住性に係る被ばく評価.....	26 条-別添 2-2
4.1 中央制御室内での被ばく.....	26 条-別添 2-2
4.1.1 原子炉建屋内の放射性物質からのガンマ線による被ばく（経路①）	26 条-別添 2-2
4.1.2 大気中へ放出された放射性物質からのガンマ線による被ばく（経路②）	26 条-別添 2-2
4.1.3 室内に外気から取り込まれた放射性物質による被ばく（経路③）	26 条-別添 2-4
4.2 入退域時の被ばく.....	26 条-別添 2-6
4.2.1 原子炉建屋内の放射性物質からのガンマ線による被ばく（経路④）	26 条-別添 2-6
4.2.2 大気中へ放出された放射性物質による被ばく（経路⑤）	26 条-別添 2-6
5. 評価結果のまとめ.....	26 条-別添 2-6
添付資料 中央制御室の居住性（設計基準事故）に係る被ばく評価について	
1 中央制御室の居住性（設計基準事故）に係る被ばく評価条件表	26 条-別添 2-添 1-1
2 居住性評価に用いた気象資料の代表性について.....	26 条-別添 2-添 2-1
3 線量評価に用いる大気拡散の評価について.....	26 条-別添 2-添 3-1
4 空気流入率試験結果について.....	26 条-別添 2-添 4-1
5 中央制御室の居住性評価（設計基準事故時）の直交替の考慮について	26 条-別添 2-添 5-1
6 内規 ^{※1} との整合について.....	26 条-別添 2-添 6-1
※1 原子力発電所中央制御室の居住性に係る被ばく評価手法について（内規）	

中央制御室の居住性（設計基準事故）に係る被ばく評価について

設計基準事故時における中央制御室の居住性に係る被ばく評価に当たっては、「原子力発電所中央制御室の居住性に係る被ばく評価手法について(内規)（平成 21・07・27 原院第 1 号平成 21 年 8 月 12 日）」（以下「被ばく評価手法(内規)」という。）に基づき行った。

1. 大気中への放出量の評価

評価事象は、原子炉冷却材喪失及び主蒸気管破断を対象とした。

想定事故時における放射性物質の建屋内の存在量、大気中への放出量は、仮想事故相当のソースタームを基にする数値、評価手法及び評価条件を使用して評価した。

2. 大気拡散の評価

被ばく評価に用いる相対濃度と相対線量は、大気拡散の評価に従い実効放出継続時間を基に計算した結果を年間について小さい方から順に並べた累積出現頻度 97%に当たる値を用いた。評価においては、2005 年 4 月～2006 年 3 月の 1 年間における気象データを使用した。なお、当該データの使用に当たっては、当該 1 年間の気象データが長期間の気象状態を代表しているかどうかの検討を F 分布検定により実施し、特に異常でないことを確認している。

3. 原子炉建屋内の放射性物質からのガンマ線の評価

原子炉建屋原子炉棟内の放射性物質からの直接ガンマ線及びスカイシャインガンマ線による運転員の実効線量は、施設の位置、建屋の配置、形状等を考慮して評価した。直接ガンマ線については QAD-CGGP2R コード、スカイシャインガンマ線については ANISN コード及び G33-GP2R

コードを用いて評価した。

4. 中央制御室の居住性に係る被ばく評価

被ばく評価に当たって考慮している被ばく経路（①～⑤）を第 4-1 図に示す。それぞれの経路における評価方法及び評価条件は以下に示すとおりである。

中央制御室等の運転員に係る被ばく評価期間は事象発生後 30 日間とした。運転員の勤務体系は 5 直 2 交替とし、30 日間の評価期間において最も中央制御室の滞在期間が長く、入退域回数が多い者を対象として、30 日間の積算線量を中央制御室の滞在期間及び入退域に要する時間の割合で配分し、実効線量を評価した。

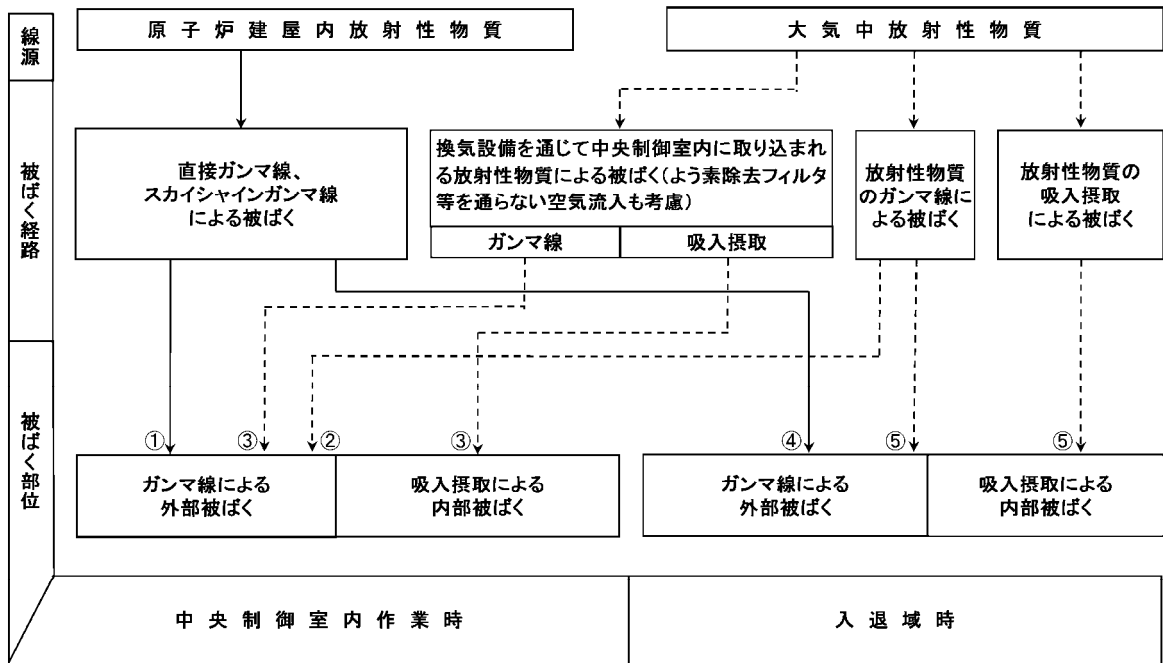
4.1 中央制御室内での被ばく

4.1.1 原子炉建屋内の放射性物質からのガンマ線による被ばく（経路①）

事故期間中に原子炉建屋原子炉棟内に存在する放射性物質からの直接ガンマ線及びスカイシャインガンマ線による中央制御室内での運転員の外部被ばくは、前述 3. の方法で実効線量を評価した。

4.1.2 大気中へ放出された放射性物質のガンマ線による被ばく（経路②）

大気中へ放出された放射性物質からのガンマ線による中央制御室内での外部被ばくは、事故期間中の大気中への放射性希ガス等（以下「希ガス等」という。）の放出量を基に大気拡散効果と中央制御室の壁・天井によるガンマ線の遮蔽効果を踏まえて運転員の実効線量を評価した。



第 4-1 図 事故時における中央制御室等の運転員の被ばく経路

4.1.3 室内に外気から取り込まれた放射性物質による被ばく（経路③）

事故期間中に大気中へ放出された放射性物質の一部は外気から中央制御室内に取り込まれる。中央制御室内に取り込まれた希ガス等からのガンマ線による外部被ばく及び放射性よう素（以下「よう素」という。）の吸入摂取による内部被ばくの和として実効線量を評価した。

中央制御室内の放射性物質濃度の計算に当たっては、(1)、(2)に示す中央制御室換気系の効果を考慮した。

(1) 中央制御室換気運転モード

中央制御室換気系の運転モードを以下に示す。具体的な系統構成は第4-2図に示すとおりである。

1) 通常時運転モード

通常時は、中央制御室空気調和機ファン及び中央制御室排気用ファンにより、一部外気を取り入れる再循環方式によって中央制御室の空気調節を行う。

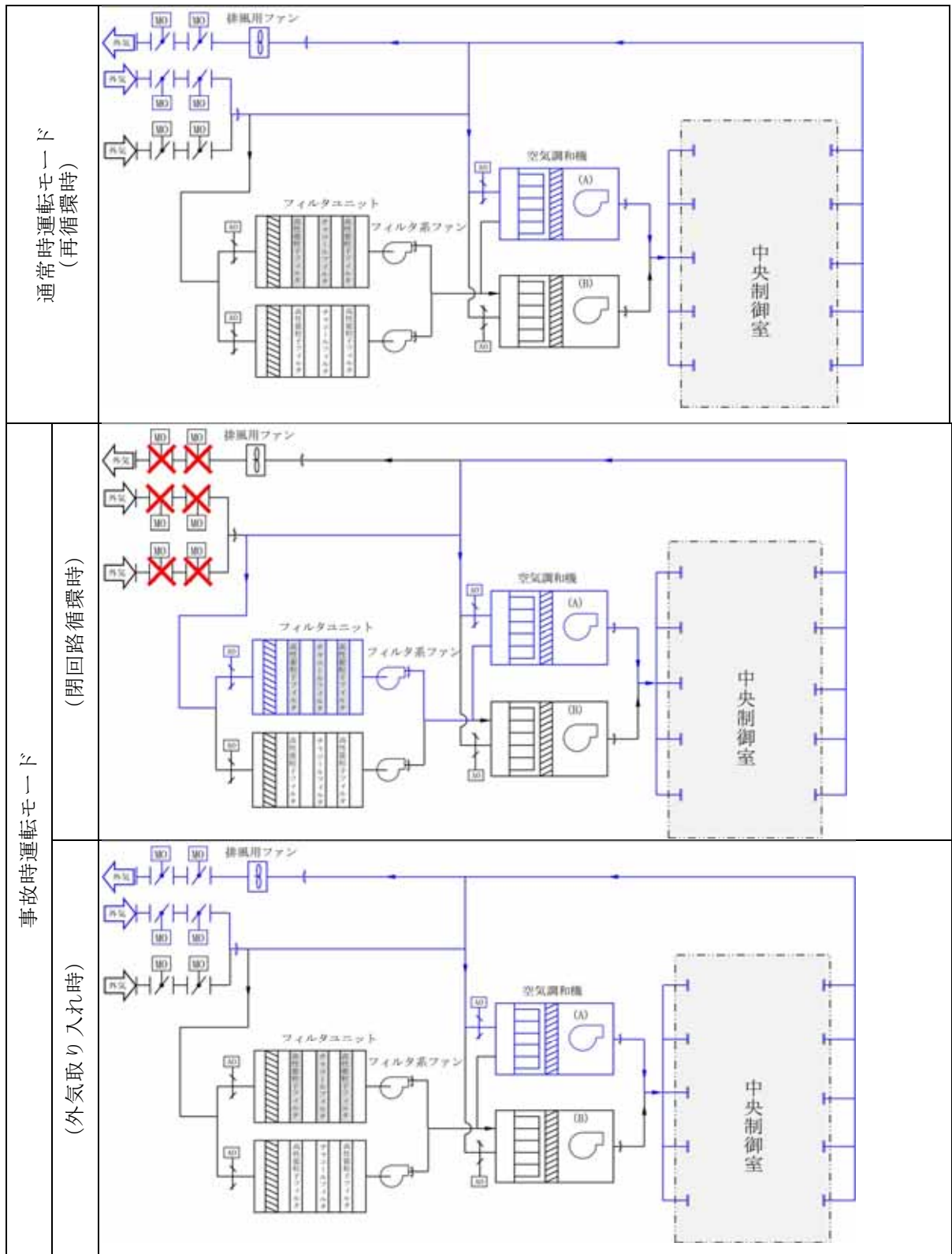
2) 事故時運転モード

事故時は、外気取入口を遮断して、中央制御室フィルタ系ファンによりフィルタユニット（高性能粒子フィルタ及びチャコールフィルタ）を通した閉回路循環運転とし、運転員を放射線被ばくから防護する。

なお、外気の遮断が長期にわたり、室内環境が悪化した場合には、チャコールフィルタにより外気を浄化して取り入れることもできる。

(2) フィルタを通らない空気流入量

中央制御室へのフィルタユニットを通らない空気の流入量は、空気流入率測定試験結果を踏まえて保守的に換気率換算で1.0回/hと仮定して評価した。



第4-2図 中央制御室換気系概略図

4.2 入退域時の被ばく

4.2.1 原子炉建屋内の放射性物質からのガンマ線による被ばく（経路④）

事故期間中に原子炉建屋原子炉棟内に存在する放射性物質からの直接ガンマ線及びスカイシャインガンマ線による入退域時の運転員の外部被ばくは、中央制御室の壁・天井によるガンマ線の遮蔽効果を期待しないこと以外は、「4.1.1 原子炉建屋内の放射性物質からのガンマ線による被ばく（経路①）」と同様な手法で実効線量を評価した。

入退域時の運転員の実効線量の評価に当たっては、サービス建屋出入口を代表点とし、入退域ごとに評価点に15分滞在するとして評価した。

4.2.2 大気中へ放出された放射性物質による被ばく（経路⑤）

大気中へ放出された放射性物質からのガンマ線による入退域時の被ばくは、中央制御室の壁・天井によるガンマ線の遮蔽効果を期待しないこと以外は「4.1.2 大気中へ放出された放射性物質のガンマ線による被ばく（経路②）」と同様な手法で、吸入摂取による内部被ばくは中央制御室の換気系に期待しないこと以外は「4.1.3 室内に外気から取り込まれた放射性物質による被ばく（経路③）」と同様な方法で放射性物質からのガンマ線による外部被ばく及び吸入摂取による内部被ばくの和として運転員の実効線量を評価した。

入退域時の運転員の実効線量の評価は、上記4.2.1の仮定と同じとした。

5. 評価結果のまとめ

設計基準事故時における中央制御室等の運転員の被ばく評価結果を第5-1表に、内訳を第5-2表に示す。評価結果は、原子炉冷却材喪失において実効線量で約1.8mSv、主蒸気管破断において実効線量で約1.6mSvであり、法令に

おける緊急時作業に係る線量限度 100mSv を下回っている。

なお、この評価に係る被ばく経路イメージを第 5-3 表に、被ばく評価の主要条件を第 5-4 表及び第 5-5 表に示す。

第 5-1 表 中央制御室の居住性（設計基準事故）に係る被ばく評価結果

（単位：mSv）

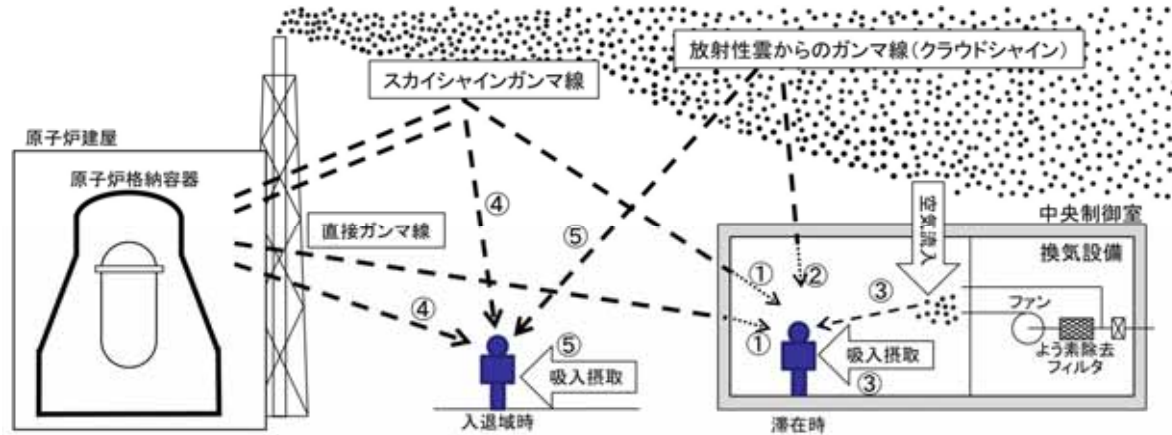
被ばく経路		原子炉冷却材喪失 （実効線量）	主蒸気管破断 （実効線量）
中央制御室内	①建物内の放射性物質からのガンマ線による中央制御室内での被ばく	約 6.6×10^{-1}	約 1.3×10^{-4}
	②大気中へ放出された放射性物質のガンマ線による中央制御室内での被ばく	約 2.4×10^{-2}	約 9.2×10^{-3}
	③室内に外気から取り込まれた放射性物質による中央制御室内での被ばく	約 2.0×10^{-1}	約 1.5×10^0
	小計（①+②+③）	約 8.9×10^{-1}	約 1.5×10^0
入退域時	④建物内の放射性物質からのガンマ線による入退域時の被ばく	約 8.7×10^{-1}	約 2.1×10^{-3}
	⑤大気中へ放出された放射性物質による入退域時の被ばく	約 3.5×10^{-2}	約 9.4×10^{-2}
	小計（④+⑤）	約 9.1×10^{-1}	約 9.6×10^{-2}
合計（①+②+③+④+⑤）		約 1.8	約 1.6

第5-2表 中央制御室の居住性（設計基準事故）に係る被ばく評価結果の内訳

		実効線量 (mSv)					
		原子炉冷却材喪失			主蒸気管破断		
		外部被ばく	内部被ばく	実効線量の合計値	外部被ばく	内部被ばく	実効線量の合計値
室内作業時	①原子炉建物内の放射性物質からのガンマ線による被ばく	約 6.6×10^{-1}	—	約 6.6×10^{-1}	約 1.3×10^{-4}	—	約 1.3×10^{-4}
	②大気中へ放出された放射性物質のガンマ線による被ばく	約 2.4×10^{-2}	—	約 2.4×10^{-2}	約 9.2×10^{-3}	—	約 9.2×10^{-3}
	③室内に外気から取り込まれた放射性物質による被ばく	約 1.1×10^{-2}	約 1.9×10^{-1}	約 2.0×10^{-1}	約 3.9×10^{-2}	約 1.4×10^0	約 1.5×10^0
	小計 (①+②+③)	約 7.0×10^{-1}	約 1.9×10^{-1}	約 8.9×10^{-1}	約 4.9×10^{-2}	約 1.4×10^0	約 1.5×10^0
入退域時	④原子炉建物内の放射性物質からのガンマ線による被ばく	約 8.7×10^{-1}	—	約 8.7×10^{-1}	約 2.1×10^{-3}	—	約 2.1×10^{-3}
	⑤大気中へ放出された放射性物質による被ばく	約 1.5×10^{-2}	約 2.0×10^{-2}	約 3.5×10^{-2}	約 3.8×10^{-3}	約 9.0×10^{-2}	約 9.4×10^{-2}
	小計 (④+⑤)	約 8.9×10^{-1}	約 2.0×10^{-2}	約 9.1×10^{-1}	約 5.9×10^{-3}	約 9.0×10^{-2}	約 9.6×10^{-2}
合計 (①+②+③+④+⑤)		約 1.6×10^0	約 2.1×10^{-1}	約 1.8	約 5.5×10^{-2}	約 1.5×10^0	約 1.6

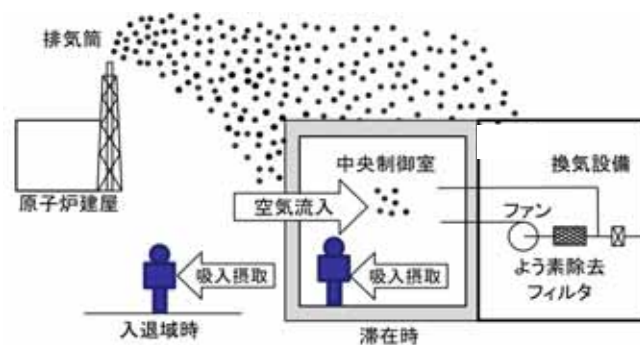
第 5-3 表 中央制御室の居住性（設計基準事故）に係る被ばく経路イメージ

中央制御室内での被ばく	①原子炉建屋内の放射性物質からのガンマ線による被ばく (直接及びスカイシャインガンマ線による外部被ばく)
	②大気中へ放出された放射性物質からのガンマ線による被ばく (クラウドシャインによる外部被ばく)
	③外気から中央制御室内へ取り込まれた放射性物質による被ばく (吸入摂取による内部被ばく、室内に浮遊している放射性物質による外部被ばく)
入退域での被ばく	④原子炉建屋内の放射性物質からのガンマ線による被ばく (直接及びスカイシャインガンマ線による外部被ばく)
	⑤大気中へ放出された放射性物質による被ばく (クラウドシャインによる外部被ばく、吸入摂取による内部被ばく)



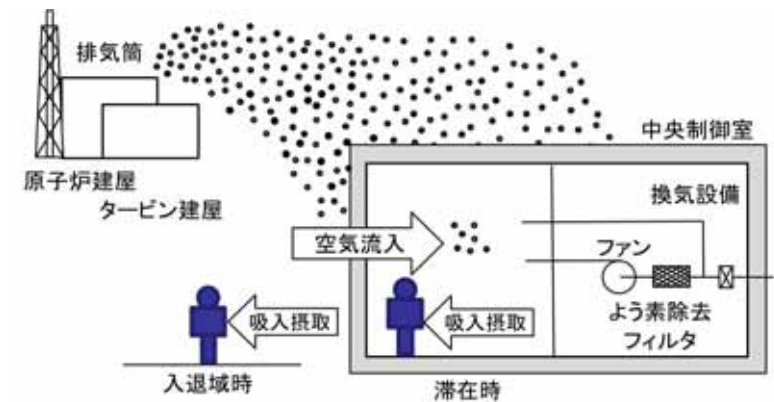
第 5-4 表 中央制御室の居住性（設計基準事故：原子炉冷却材喪失）に係る被ばく評価の主要条件

大項目	中項目	主要条件
原子炉格納容器に放出される核分裂生成物量	炉心熱出力	定格熱出力の約 105% (熱出力 3,440MW)
	原子炉運転時間	2000 日
	格納容器に放出される核分裂生成物割合	希ガス：100% よう素：50%
原子炉格納容器内での低減効果	原子炉格納容器への無機よう素の沈着割合	50%
	格納容器スプレイ等による無機よう素に対する除去効果	分配係数（気相濃度と液相濃度の比）：100
環境への放出	原子炉格納容器からの漏えい率	0.5%/day
	非常用ガス再循環系及び非常用ガス処理系のよう素除去効果	再循環：80% 外部放出：90%
大気拡散	気象資料	2005 年 4 月～2006 年 3 月
	実効放出継続時間	希ガス：24 時間 よう素：24 時間
	累積出現頻度	小さい方から 97%
	着目方位	1 方位
運転員の被ばく評価	中央制御室換気設備	起動時間遅れ：15min 閉回路循環運転(27h), 外気取入運転(3h)の交互運転
	中央制御室非常時際循環処理装置よう素除去効率	90%
	中央制御室への空気流入量	1.0 回/h
	交代要員体制への考慮	5 直 2 交代をベースに滞在時間, 入退域回数を設定
	直接線, スカイシャイン線評価コード	QAD-CGGP2R, ANISN, G33-GP2R
	評価期間	30 日間



第 5-5 表 中央制御室の居住性（設計基準事故：主蒸気管破断）に係る被ばく評価の主要条件

大項目	中項目	主要条件
原子炉格納容器に放出される核分裂生成物量	炉心熱出力	定格熱出力の約 105% (熱出力 3,440MW)
	原子炉運転時間	2000 日
	事象発生前の原子炉冷却材中の放射性物質濃度	I-131 を $4.6 \times 10^3 \text{Bq/g}$ としその組成を拡散組成とする。蒸気相中のハロゲン濃度は、液相の濃度の $1/50$ とする
	燃料棒から追加放出される核分裂生成物の量	I-131 は $4.44 \times 10^{14} \text{Bq}$ とし、その他の放射性物質はその組成を平衡組成として求める 希ガスについてはよう素の 2 倍とする
主蒸気隔離弁からの放出	主蒸気隔離弁閉止前の破断口からの放出	原子炉圧力の低下割合に比例するとし、追加放出された放射性物質の約 1% が破断口から放出される
	追加される核分裂生成物のうち主蒸気隔離弁閉止後の破断口からの放出	主蒸気隔離弁閉止後の燃料棒からの核分裂生成物の追加放出は、主蒸気隔離弁閉止直後に、これらすべての核分裂生成物が瞬時に原子炉冷却材中へ放出される
	主蒸気隔離弁から建物内への漏えい	120%/d
大気拡散	気象資料	2005 年 4 月～2006 年 3 月
	実効放出継続時間	希ガス：1 時間 よう素：20 時間
	累積出現頻度	小さい方から 97%
	着目方位	中央制御室内：9 方位 入退域時：9 方位
運転員の被ばく評価	交代要員体制への考慮	5 直 2 交代をベースに滞在時間、入退域回数を設定
	直接線、スカイシャイン線評価コード	QAD-CGGP2R, ANISN, G33-GP2R
	評価期間	30 日間



添付資料 中央制御室の居住性（設計基準事故）に係る被ばく評価について

1 中央制御室の居住性（設計基準事故）に係る被ばく評価条件表

中央制御室の居住性(設計基準事故)に係る被ばく評価の評価条件について、以下の第 1-1 表～第 1-12 表に示す。

- | | |
|----------|---|
| 第 1-1 表 | 大気中への放出量評価条件【原子炉冷却材喪失】 |
| 第 1-2 表 | 大気中への放出量評価条件【主蒸気管破断】 |
| 第 1-3 表 | 大気中への放出放射エネルギー評価結果（30 日積算） |
| 第 1-4 表 | 大気拡散条件 |
| 第 1-5 表 | 相対濃度及び相対線量【原子炉冷却材喪失】 |
| 第 1-6 表 | 相対濃度及び相対線量【主蒸気管破断】 |
| 第 1-7 表 | 直接ガンマ線及びスカイシャインガンマ線の評価条件
【原子炉冷却材喪失】 |
| 第 1-8 表 | 直接ガンマ線及びスカイシャインガンマ線の評価条件
【主蒸気管破断】 |
| 第 1-9 表 | 直接ガンマ線及びスカイシャインガンマ線の評価に用いる原子
炉建屋内の積算線源強度（30 日積算） |
| 第 1-10 表 | 中央制御室換気設備条件 |
| 第 1-11 表 | 運転員交替考慮条件 |
| 第 1-12 表 | 線量換算係数及び呼吸率の条件 |

第 1-1 表 大気中への放出量評価条件【原子炉冷却材喪失】(1/3)

項目	評価条件	選定理由	被ばく評価手法（内規）での記載
評価事象	原子炉冷却材喪失 （仮想事故相当）	被ばく評価手法（内規） に示されたとおり設定	4.1 原子炉冷却材喪失及び主蒸気管破断を対象とする。原子炉冷却材喪失及び主蒸気管破断は、一方の事故で包絡できる場合は、いずれかで代表してもよい。
炉心熱出力	定格出力の約 105% （熱出力 3,440MW）	定格値に余裕（+5%）を 考慮した値を設定	4.1.1(1) 原子炉は、定格出力に余裕を見た出力で十分長時間運転していたとする。
原子炉運転時間	2,000 日	5 サイクル運転を考慮し た最大運転期間を設定	同上
サイクル数（バ ッチ数）	5	運転サイクルを想定	同上
原子炉格納容器 に放出される核 分裂生成物量	希ガス：100% よう素：50%	被ばく評価手法（内規） に示されたとおり設定	4.1.1(2)b) 事象発生後、原子炉格納容器内に放出される放射性物質の量は、炉心内蓄積量に対して希ガス 100%、よう素 50%の割合とする。
よう素の形態	無機（元素状）よう素：90% 有機よう素：10%	同上	4.1.1(2)c) 原子炉格納容器内に放出されたよう素のうち、有機よう素は 10%とし、残りの 90%は無機よう素とする。
原子炉格納容器 等への無機（元 素状）よう素の 沈着効果	50%が沈着	同上	4.1.1(2)d) 原子炉格納容器内に放出されたよう素のうち、無機よう素は、50%が原子炉格納容器内及び同容器内の機器等に沈着し、原子炉格納容器からの漏えいに寄与しないとする。有機よう素及び希ガスは、この効果は無視する。

第 1-1 表 大気中への放出量評価条件【原子炉冷却材喪失】(2/3)

項目	評価条件	選定理由	被ばく評価手法（内規）での記載
サプレッションプール水に無機よう素が溶解する割合	分配係数：100	被ばく評価手法（内規）に示されたとおり設定	4.1.1(2)e) サプレッションプール水に無機よう素が溶解する割合は、分配係数で 100 とする。有機よう素及び希ガスは、この効果を見捨てる。
原子炉格納容器からの漏えい率	0.5%/日	格納容器内の圧力に対応した漏えい率に余裕を見込んで設定	4.1.1(2)f) 原子炉格納容器からの漏えいは、原子炉格納容器の設計漏えい率及び原子炉格納容器内の圧力に対応した漏えい率に余裕を見込んだ値とする。
非常用ガス処理系等の起動時間	事故後瞬時に起動	LOCA 信号により瞬時に起動を想定しており、通常運転中も原子炉建屋原子炉棟は負圧を維持しているため事故後瞬時に起動すると設定	4.1.1(2)g) 原子炉建屋の非常用換気系等（フィルタを含む）は、起動するまでの十分な時間的余裕を見込む。
非常用ガス処理系等の容量	非常用ガス再循環系： 4.8 回/日 非常用ガス処理系： 1 回/日	被ばく評価手法（内規）に示されたとおり設定	4.1.1(2)g) 非常用換気系等の容量は、設計で定められた値とする。

第 1-1 表 大気中への放出量評価条件【原子炉冷却材喪失】(3/3)

項目	評価条件	選定理由	被ばく評価手法（内規）での記載
非常用ガス再循環系等のフィルタ除去効率	非常用ガス再循環系（再循環）：80% 非常用ガス処理系（外部放出）：90%	被ばく評価手法（内規）に示されたとおり設定	4.1.1(2)g) フィルタのよう素除去効率は設計値に余裕を見込んだ値とする。
ECCS 再循環系からの漏えい率	ECCS により格納容器外へ導かれたサプレッション・チェンバのプール水の漏えいによる核分裂生成物の放出量の評価は省略する。	ECCS からの漏えいによる放出量は、格納容器内気相部からの漏えいによる放出量に比べて十分に小さく、有意な寄与はないため	4.1.1(2)h) ECCS が再循環モードで運転され、原子炉格納容器内の水が原子炉格納容器外に導かれる場合には、原子炉格納容器外において設計漏えい率に余裕を見込んだ漏えい率での再循環水の漏えいがあると仮定する。
放出経路	排気筒放出	被ばく評価手法（内規）に示されたとおり設定	4.1.1(2)i) 原子炉格納容器から原子炉建屋内に漏えいした放射性物質は、原子炉建屋内非常用ガス処理系で処理された後、排気筒を経由して環境に放出されるとする。
事故の評価期間	30 日間	同上	解説 3.2 評価期間は、事故発生後 30 日間とする。

第 1-2 表 大気中への放出量評価条件【主蒸気管破断】(1/4)

項目	評価条件	選定理由	被ばく評価手法（内規）での記載
評価事象	主蒸気管破断 (仮想事故相当)	被ばく評価手法（内規）に示されたとおり設定	4.1 原子炉冷却材喪失及び主蒸気管破断を対象とする。原子炉冷却材喪失及び主蒸気管破断は、一方の事故で包絡できる場合は、いずれかで代表してもよい。
炉心熱出力	定格出力の約 105% (熱出力 3,440MW)	定格値に余裕(+5%)を考慮した値を設定	4.1.2(1) 原子炉は、定格出力に余裕を見た出力で十分長時間運転していたとする。
原子炉運転時間	2,000 日	5 サイクル運転を考慮した最大運転期間を設定	同上
サイクル数(バッチ数)	5	運転サイクルを想定	同上
冷却材中に含まれるハロゲン等の濃度	冷却材中の濃度 (I-131) : $4.6 \times 10^3 \text{ Bq/g}$ その組成は拡散組成とする。蒸気相中のハロゲン濃度は、液相の濃度の 1/50 とする。	被ばく評価手法（内規）に示されたとおり設定	4.1.2(7)b) 事象発生前の原子炉冷却材中の放射性物質の濃度は、運転上許容される I-131 の最大濃度に相当する濃度とし、その組成は拡散組成とする。蒸気相中のハロゲン濃度は、液相の濃度の 1/50 とする。

第 1-2 表 大気中への放出量評価条件【主蒸気管破断】(2/4)

項目	評価条件	選定理由	被ばく評価手法（内規）での記載
燃料棒からの追加放出量	燃料棒からの追加放出量（I-131）： 4.44×10^{14} Bq その他の放射性物質はその組成を平衡組成として求める。希ガスはよう素の 2 倍の放出量とする。	被ばく評価手法（内規）に示されたとおり設定	4.1.2(7)c) 原子炉圧力の減少に伴う燃料棒からの追加放出量を, I-131 は先行炉等での実測データに基づく値に安全余裕を見込んだ値とし, その他の放射性物質はその組成を平衡組成として求める。希ガスはよう素の 2 倍の放出量とする。
主蒸気隔離弁閉止前の燃料棒からの追加放出割合	原子炉圧力の低下割合に比例するとし, 追加放出された放射性物質の約 1% が破断口から放出される。	同上	4.1.2(7)d) 主蒸気隔離弁閉止前の燃料棒からの放射性物質の追加放出割合は, 主蒸気隔離弁閉止前の原子炉圧力の低下割合に比例するとし, 追加放出された放射性物質の約 1% が破断口から放出する。
主蒸気隔離弁閉止後の燃料棒からの追加放出	主蒸気隔離弁閉止後の燃料棒からの核分裂生成物の追加放出は, 主蒸気隔離弁閉止直後に, これらすべての核分裂生成物が瞬時に原子炉冷却材中へ放出される。	同上	4.1.2(7)e) 主蒸気隔離弁閉止後の燃料棒からの放射性物質の追加放出は, 主蒸気隔離弁閉止直後に, これらすべての放射性物質が瞬時に原子炉冷却材中へ放出する。

第 1-2 表 大気中への放出量評価条件【主蒸気管破断】(3/4)

項目	評価条件	選定理由	被ばく評価手法（内規）での記載
よう素及び希ガスの気相部への移行割合	燃料棒から放出されたよう素 有機よう素：10% 無機よう素：90% 有機よう素は原子炉压力容器内で分解により 1/10 程度に減少するので、気相部へは 1%の有機よう素が瞬時に移行する。残りのよう素及びその他のハロゲン等が気相部にキャリーオーバーする割合は、2%とする。希ガスは、すべて瞬時に気相部に移行する。	同上	4.1.2(7)f) 燃料棒から放出されたよう素のうち、有機よう素は 10%とし、残りの 90%は無機よう素とする。有機よう素のうち 10%は瞬時に気相部に移行する。残りのよう素及びその他のハロゲンが気相部にキャリーオーバーされる割合は、2%とする。希ガスは、すべて瞬時に気相部に移行する。
主蒸気隔離弁閉止前及び閉止後の大気中への放出想定	隔離弁閉止前：放出された原子炉冷却材は、完全蒸発し、同時に放出された放射性物質を均一に含む蒸気雲になるとする。 隔離弁閉止後：放出された放射性物質は、大気中に地上放散する。	同上	4.1.2(7)g) 主蒸気隔離弁閉止前に放出された原子炉冷却材は、完全蒸発し、同時に放出された放射性物質を均一に含む蒸気雲になるとする。隔離弁閉止後に放出された放射性物質は、大気中に地上放散する。

第 1-2 表 大気中への放出量評価条件【主蒸気管破断】(4/4)

項目	評価条件	選定理由	被ばく評価手法（内規）での記載
主蒸気管からの漏えい率	120%/日 (主蒸気隔離弁は、1 個が閉止しないものとして、設計値に余裕を見込んだ値とし、漏えい率は一定とする。)	被ばく評価手法（内規）に示されたとおり設定	4.1.2(7)h) 主蒸気隔離弁は、1 個が閉止しないとする。閉止した隔離弁からは、蒸気が漏えいする。閉止した主蒸気隔離弁の漏えい率は設計値に余裕を見込んだ値とし、この漏えい率は一定とする。
事故の評価期間	30 日間	同上	解説 3.2 評価期間は、事故発生後 30 日間とする。

第 1-3 表 大気中への放出放射エネルギー評価結果 (30 日積算)

評価項目		評価結果(Bq)	
原子炉 冷却材喪失	希ガス (ガンマ線エネルギー 0.5MeV 換算)	約 2.8×10^{16}	
	よう素 (I-131 等価量 (成人実効線量係数換算))	約 2.5×10^{14}	
主蒸気管 破断	希ガス及びハロゲン等 (ガンマ線エネルギー 0.5MeV 換算)	隔離弁 閉止前	約 6.1×10^{13}
		隔離弁 閉止後	約 1.2×10^{14}
	よう素 (I-131 等価量 (成人実 効線量係数換算))	隔離弁 閉止前	約 1.4×10^{12}
		隔離弁 閉止後	約 2.5×10^{12}

第 1-4 表 大気拡散条件(1/6)

項目	評価条件	選定理由	被ばく評価手法（内規）での記載
大気拡散評価モデル	ガウスプルームモデル	被ばく評価手法（内規）に示されたとおり設定	5.1.1(1)a)1) 放射性物質の空气中濃度は、放出源高さ、風向、風速、大気安定度に応じて、空間濃度分布が水平方向、鉛直方向ともに正規分布になると仮定した次のガウスプルームモデルを適用して計算する。
気象資料	東海第二発電所における 1 年間の気象資料 (2005 年 4 月～2006 年 3 月)	<p>【原子炉冷却材喪失】 建屋影響を受けない大気拡散評価を行うため排気筒風（標高約 148m（地上高約 140m））の気象データを使用</p> <p>【主蒸気管破断】 建屋影響を受ける大気拡散評価を行うため保守的に地上風（標高約 18m(地上高約 10m)）の気象データを使用。</p> <p>被ばく評価手法（内規）に示されたとおり発電所において観測された 1 年間の気象資料を使用（補足説明資料 1-2 参照）</p>	<p>【原子炉冷却材喪失】 5.1.1(1)c) 風向、風速、大気安定度等の観測項目を、現地において少なくとも 1 年間観測して得られた気象資料を拡散式に用いる。放出源の高さにおける気象データが得られている場合にはそれを活用してよい。</p> <p>【主蒸気管破断】 5.1.1(1) 風向、風速、大気安定度等の観測項目を、現地において少なくとも 1 年間観測して得られた気象資料を拡散式に用いる。</p> <p>5.1.1(2) 建屋影響は、放出源高さから地上高さに渡る気象条件の影響を受けるため、地上高さに相当する比較的低風速の気象データ（地上 10m 高さで測定）を採用するのは保守的かつ適切である。</p>

第 1-4 表 大気拡散条件 (2/6)

項目	評価条件	選定理由	被ばく評価手法（内規）での記載
実効放出継続時間	<p>【原子炉冷却材喪失】</p> <p>希ガス : 24 時間</p> <p>よう素 : 24 時間</p> <p>【主蒸気管破断】</p> <p>希ガス等 : 1 時間</p> <p>よう素 : 20 時間</p>	<p>被ばく評価手法（内規）に示されたとおり設定。</p> <p>ただし, 24 時間を超えた場合は保守的に 24 時間とする。</p>	<p>解説 5.13 (3) 実効放出継続時間(T)は, 想定事故の種類によって放出率に変化があるので, 放出モードを考慮して適切に定めなければならないが, 事故期間中の放射性物質の全放出量を 1 時間当たりの最大放出量で除した値を用いることも一つの方法である。</p>
放出源及び放出源高さ	<p>【原子炉冷却材喪失】</p> <p>排気筒 : 95m (有効高さ)</p> <p>【主蒸気管破断】</p> <p>地上 : 0m</p>	<p>【原子炉冷却材喪失】</p> <p>排気筒放出を想定した風洞実験結果から保守的に最小の有効高さを設定。</p> <p>【主蒸気管破断】</p> <p>地上放出と想定して設定。</p>	<p>【原子炉冷却材喪失】</p> <p>4.1.1(2) i) 原子炉格納容器から原子炉建屋内に漏えいした放射性物質は, 原子炉建屋内非常用ガス処理系で処理された後, 排気筒を経由して環境に放出されるとする。</p> <p>【主蒸気管破断】</p> <p>4.1.2(7) g) 主蒸気隔離弁閉止前に放出された原子炉冷却材は, 完全蒸発し, 同時に放出された放射性物質を均一に含む蒸気雲になるとする。隔離弁閉止後に放出された放射性物質は大気中に地上放散する。</p>

第 1-4 表 大気拡散条件 (3/6)

項目	評価条件	選定理由	被ばく評価手法（内規）での記載
累積出現頻度	小さい方から 97%	被ばく評価手法（内規）に示されたとおり設定。	5.2.1(2) 評価点の相対濃度は、毎時刻の相対濃度を年間について小さい方から累積した場合、その累積出現頻度が 97%に当たる相対濃度とする。
建屋の影響	<p>【原子炉冷却材喪失】 考慮しない。</p> <p>【主蒸気管破断】 考慮する。</p>	<p>【原子炉冷却材喪失】 排気筒放出を想定し、建屋の影響を受けない大気拡散評価を行うため考慮しない。</p> <p>【主蒸気管破断】 地上放出を想定し、建屋の影響を受ける大気拡散評価を行うため、放出点から近距離の建屋（原子炉建屋）による巻き込み現象を考慮する。</p>	5.1.2(1) 中央制御室のように、事故時の放射性物質の放出点から比較的近距離の場所では、建屋の風下側における風の巻き込みによる影響が顕著となると考えられる。そのため、放出点と巻き込みを生じる建屋及び評価点との位置関係によっては、建屋の影響を考慮して大気拡散の計算をする必要がある。

第 1-4 表 大気拡散条件 (4/6)

項目	評価条件	選定理由	被ばく評価手法（内規）での記載									
巻き込みを生じる代表建屋	<p>【原子炉冷却材喪失】 考慮しない。</p> <p>【主蒸気管破断】 原子炉建屋</p>	<p>【原子炉冷却材喪失】 排気筒放出を想定し、建屋の影響を受けない大気拡散評価を行うため考慮しない。</p> <p>【主蒸気管破断】 放出源から最も近く、巻き込みの影響が最も大きい建屋として、被ばく評価手法（内規）に示された選定例に基づき選定</p>	<p>5.1.2(3)3) 巻き込みを生じる代表的な建屋として、表 5.1 に示す建屋を選定することは適切である。</p> <p>表 5.1 放射性物質の巻き込みの対象とする代表建屋の選定例</p> <table border="1" data-bbox="1339 579 1937 794"> <thead> <tr> <th data-bbox="1339 579 1491 603">原子炉施設</th> <th data-bbox="1491 579 1644 603">想定事故</th> <th data-bbox="1644 579 1937 603">建屋の種類</th> </tr> </thead> <tbody> <tr> <td data-bbox="1339 603 1491 667">BWR 型原子炉施設</td> <td data-bbox="1491 603 1644 667">原子炉冷却材喪失 主蒸気管破断</td> <td data-bbox="1644 603 1937 667">原子炉建屋(建屋影響がある場合) 原子炉建屋又はタービン建屋(結果が厳しい方で代表)</td> </tr> <tr> <td data-bbox="1339 667 1491 794">PWR 型原子炉施設</td> <td data-bbox="1491 667 1644 794">原子炉冷却材喪失 蒸気発生器伝熱管破損</td> <td data-bbox="1644 667 1937 794">原子炉格納容器(原子炉格納施設)、 原子炉建屋 原子炉格納容器(原子炉格納施設)及び 原子炉建屋</td> </tr> </tbody> </table>	原子炉施設	想定事故	建屋の種類	BWR 型原子炉施設	原子炉冷却材喪失 主蒸気管破断	原子炉建屋(建屋影響がある場合) 原子炉建屋又はタービン建屋(結果が厳しい方で代表)	PWR 型原子炉施設	原子炉冷却材喪失 蒸気発生器伝熱管破損	原子炉格納容器(原子炉格納施設)、 原子炉建屋 原子炉格納容器(原子炉格納施設)及び 原子炉建屋
原子炉施設	想定事故	建屋の種類										
BWR 型原子炉施設	原子炉冷却材喪失 主蒸気管破断	原子炉建屋(建屋影響がある場合) 原子炉建屋又はタービン建屋(結果が厳しい方で代表)										
PWR 型原子炉施設	原子炉冷却材喪失 蒸気発生器伝熱管破損	原子炉格納容器(原子炉格納施設)、 原子炉建屋 原子炉格納容器(原子炉格納施設)及び 原子炉建屋										

第 1-4 表 大気拡散条件 (5/6)

項 目	評価条件	選定理由	被ばく評価手法（内規）での記載
放射性物質 濃度の評価 点	<p>【中央制御室内】 中央制御室中心</p> <p>【入退域時】 建屋入口</p>	<p>【中央制御室内】 被ばく評価手法（内規）に示されたとおり設定</p> <p>【入退域時】 被ばく評価手法（内規）に示された方法に基づき設定</p>	<p>【中央制御室内】</p> <p>5.1.2(3)b)1) 中央制御室内には，中央制御室が属する建屋（以下，「当該建屋」）の表面から，事故時に外気取入を行う場合は主に給気口を介して，また事故時に外気の入りを遮断する場合には流入によって，放射性物質が侵入するとする。</p> <p>5.1.2(3)b)3) 建屋の巻き込みの影響を受ける場合には，中央制御室の属する建屋表面での濃度は風下距離の依存性は小さくほぼ一様と考えられるので，評価点は厳密に定める必要はない。屋上面を代表とする場合，例えば中央制御室の中心点を評価点とするのは妥当である。</p> <p>【入退域時】</p> <p>7.5.1(5)a) 管理建屋の入口を代表評価とし，入退域ごとに評価点に，15 分間滞在するとする。</p>

第 1-4 表 大気拡散条件 (6/6)

項 目	評価条件	選定理由	被ばく評価手法（内規）での記載
着目方位	<p>【原子炉冷却材喪失】 中央制御室内：1 方位 入退域時：1 方位</p> <p>【主蒸気管破断】 中央制御室内：9 方位 入退域時：9 方位</p>	被ばく評価手法（内規）に示された評価方法に基づき設定	5.1.2(3) 中央制御室の被ばく評価の計算では、代表建屋の風下後流側での広範囲に及ぶ乱流混合域が顕著であることから、放射性物質濃度を計算する当該着目方位としては、放出源と評価点とを結ぶラインが含まれる 1 方位のみを対象とするのではなく、図 5.4 に示すように、代表建屋の後流側の拡がりの影響が評価点に及ぶ可能性のある複数の方位を対象とする。
建屋投影面積	$3.0 \times 10^3 \text{m}^2$	原子炉建屋の投影断面積	5.1.2(3) 風向に垂直な代表建屋の投影面積を求め、放射性物質の濃度を求めるために大気拡散式の入力とする。
形状係数	1/2	被ばく評価手法（内規）に示されたとおり設定	5.1.1(2) 形状係数の値は、特に根拠が示されるもののほかは原則として 1/2 を用いる。

第 1-5 表 相対濃度及び相対線量【原子炉冷却材喪失】

評価対象	評価点	相対濃度 χ / Q (s/m ³)	相対線量 D / Q (Gy/Bq)
室内作業時	中央制御室 中心	1.2×10^{-6}	4.9×10^{-20}
入退域時	建屋入口	1.2×10^{-6}	5.0×10^{-20}

第 1-6 表 相対濃度及び相対線量【主蒸気管破断】

評価対象	評価点	相対濃度 χ / Q (s/m ³)	相対線量 D / Q (Gy/Bq)
室内作業時	中央制御室 中心	8.3×10^{-4} (希ガス)	2.9×10^{-18}
		4.9×10^{-4} (よう素)	
入退域時	建屋入口	8.2×10^{-4} (希ガス)	2.9×10^{-18}
		4.9×10^{-4} (よう素)	

第 1-7 表 直接ガンマ線及びスカイシャインガンマ線の評価条件【原子炉冷却材喪失】(1/2)

項 目		評価条件	選定理由	被ばく評価手法（内規）での記載
線 源 条 件	原子炉格納容器 に放出される核 分裂生成物	希ガス：100% よう素：50%	被ばく評価手法（内規）に示 されたとおり設定	6.1(1)g) 希ガス及びよう素の原子炉格納容 器内に放出される放射性物質の量の炉心内 蓄積量に対する割合は、希ガス 100%、よう 素 50%とする。
	原子炉建屋内線 源強度分布	格納容器から原子炉 建屋原子炉棟内に漏 えいした核分裂生成 物が均一に分布	同上	6.1(3)b) 事故時に炉心から原子炉格納容 器内に放出された放射性物質は、原子炉格納容 器からの漏えいによって原子炉建屋(二次格 納施設)に放出される。この二次格納施設内 の放射性物質をスカイシャインガンマ線及 び直接ガンマ線の線源とする。 6.1(3)c) 二次格納施設内の放射性物質は自 由空間容積に均一に分布するものとする。
	事故の評価期間	30 日	同上	解説 3.2 評価期間は、事故発生後 30 日間 とする。

第 1-7 表 直接ガンマ線及びスカイシャインガンマ線の評価条件【原子炉冷却材喪失】(2/2)

項 目		評価条件	選定理由	被ばく評価手法（内規）での記載
計 算 モ デ ル 条 件	原子炉建屋のモデル	原子炉建屋の幾何形状をモデル化	建屋外壁を遮蔽体として考慮	6.2(1) 原子炉施設の建屋内に放出された放射性物質に起因するスカイシャインガンマ線による全身に対する線量は、施設の位置、建屋の配置、形状及び地形条件から計算する。
	中央制御室のモデル化	中央制御室の幾何形状をモデル化	床、天井、壁を遮蔽体として考慮	7.1.2(1)c) 線源から中央制御室に至るまでの遮へい効果を、構造物の配置、形状及び組成から計算する。建屋等の構造壁又は天井に対して、配置、形状及び組成を明らかにして、遮へい効果を見込んでよい。
	直接線・スカイシャイン線評価コード	直接線評価： QAD-CGGP2R スカイシャイン線評価： ANISN G33-GP2R	許認可等で使用実績があるコードを使用している	計算コードについて、記載なし。

第 1-8 表 直接ガンマ線及びスカイシャインガンマ線の評価条件【主蒸気管破断】(1/2)

項目	評価条件	選定理由	被ばく評価手法（内規）での記載
線源条件	タービン建屋に放出される核分裂生成物	被ばく評価手法（内規）に示されたとおり設定	6.1(2)d) 計算対象とする核種は希ガス及びハロゲン等とし、核分裂収率が小さく半減期の極めて短いもの及びエネルギーの小さいものは、計算対象としない。 6.1(2)e) 計算対象とする核種及びタービン建屋内への放出量の計算条件は、タービン建屋からの漏えいを無視する以外は、大気中への放出量の計算条件と同じとする。
	タービン建屋内線源強度分布	同上	6.1(2)b) 事故時に主蒸気管破断口からタービン建屋内に放出された放射性物質は、全量がタービン建屋から漏えいすることなく、タービン建屋の自由空間容積に均一に分布するものとする。このタービン建屋内の放射性物質を直接ガンマ線及びスカイシャインガンマ線の線源とする。
	事故の評価期間	30 日	同上

第 1-8 表 直接ガンマ線及びスカイシャインガンマ線の評価条件【主蒸気管破断】(2/2)

項 目		評価条件	選定理由	被ばく評価手法（内規）での記載
計 算 モ デ ル 条 件	タービン建屋のモデル	タービン建屋の幾何形状をモデル化	建屋外壁を遮蔽体として考慮	6.2(1) 原子炉施設の建屋内に放出された放射性物質に起因するスカイシャインガンマ線による全身に対する線量は、施設の位置、建屋の配置、形状及び地形条件から計算する。
	中央制御室のモデル化	中央制御室の幾何形状をモデル化	床、天井、壁を遮蔽体として考慮	7.1.2(1)c) 線源から中央制御室に至るまでの遮へい効果を、建造物の配置、形状及び組成から計算する。建屋等の構造壁又は天井に対して、配置、形状及び組成を明らかにして、遮へい効果を見込んでよい。
	直接線・スカイシャイン線評価コード	直接線評価： QAD-CGGP2R スカイシャイン線評価： ANISN G33-GP2R	許認可等で使用実績があるコードを使用している	計算コードについて、記載なし。

第1-9表 直接ガンマ線及びスカイシャインガンマ線の評価に用いる
原子炉建屋内の積算線源強度（30日積算）

代表エネルギー (MeV/dis)	エネルギー範囲 (MeV/dis)	ガンマ線積算線源強度 (Photons)	
		原子炉冷却材喪失	主蒸気管破断
0.01	0.01 < E ≤ 0.01	1.2×10 ¹⁷	9.0×10 ¹⁴
0.02	0.01 < E ≤ 0.02	2.3×10 ¹⁵	8.0×10 ¹³
0.03	0.02 < E ≤ 0.03	7.2×10 ¹⁷	3.6×10 ¹⁵
0.045	0.03 < E ≤ 0.045	1.0×10 ¹⁵	7.7×10 ¹⁶
0.06	0.045 < E ≤ 0.06	0	0
0.07	0.06 < E ≤ 0.07	0	0
0.075	0.07 < E ≤ 0.075	0	0
0.10	0.075 < E ≤ 0.10	6.2×10 ²¹	5.6×10 ¹⁸
0.15	0.10 < E ≤ 0.15	4.6×10 ¹⁷	6.3×10 ¹⁶
0.20	0.15 < E ≤ 0.20	4.8×10 ¹⁹	1.3×10 ¹⁸
0.30	0.20 < E ≤ 0.30	4.9×10 ²⁰	1.1×10 ¹⁸
0.40	0.30 < E ≤ 0.40	1.5×10 ²⁰	2.0×10 ¹⁸
0.45	0.40 < E ≤ 0.45	7.7×10 ¹⁸	4.6×10 ¹⁶
0.51	0.45 < E ≤ 0.51	7.8×10 ¹⁸	1.2×10 ¹⁶
0.512	0.51 < E ≤ 0.512	7.0×10 ¹⁷	5.4×10 ¹⁵
0.60	0.512 < E ≤ 0.60	6.2×10 ¹⁹	3.1×10 ¹⁷
0.70	0.60 < E ≤ 0.70	1.8×10 ²⁰	2.4×10 ¹⁷
0.80	0.70 < E ≤ 0.80	1.1×10 ²⁰	2.5×10 ¹⁷
1.0	0.8 < E ≤ 1.0	4.5×10 ¹⁹	9.5×10 ¹⁶
1.33	1.0 < E ≤ 1.33	2.2×10 ¹⁹	9.3×10 ¹⁶
1.34	1.33 < E ≤ 1.34	4.8×10 ¹⁶	4.8×10 ¹⁴
1.5	1.34 < E ≤ 1.5	1.5×10 ¹⁹	1.8×10 ¹⁶
1.66	1.5 < E ≤ 1.66	5.5×10 ¹⁸	3.0×10 ¹⁶
2.0	1.66 < E ≤ 2.0	4.5×10 ¹⁸	2.8×10 ¹⁶
2.5	2.0 < E ≤ 2.5	2.6×10 ¹⁹	1.2×10 ¹⁷
3.0	2.5 < E ≤ 3.0	1.1×10 ¹⁸	8.9×10 ¹⁵
3.5	3.0 < E ≤ 3.5	2.9×10 ¹⁵	3.7×10 ¹⁴
4.0	3.5 < E ≤ 4.0	0	8.2×10 ¹³
4.5	4.0 < E ≤ 4.5	0	3.1×10 ¹²
5.0	4.5 < E ≤ 5.0	0	0
5.5	5.0 < E ≤ 5.5	0	0
6.0	5.5 < E ≤ 6.0	0	0
6.5	6.0 < E ≤ 6.5	0	0
7.0	6.5 < E ≤ 7.0	0	0
7.5	7.0 < E ≤ 7.5	0	0
8.0	7.5 < E ≤ 8.0	0	0
10.0	8.0 < E ≤ 10.0	0	0
12.0	10.0 < E ≤ 12.0	0	0
14.0	12.0 < E ≤ 14.0	0	0
20.0	14.0 < E ≤ 20.0	0	0
30.0	20.0 < E ≤ 30.0	0	0
50.0	30.0 < E ≤ 50.0	0	0

第 1-10 表 中央制御室換気設備条件(1/2)

項 目	評価条件	選定理由	被ばく評価手法（内規）での記載
事故時における 外気取り込み	外気間欠取込循環運 転（循環運転と外気 取入を交互に行う。） 閉回路循環運転 ：27 時間 外気取入循環運転 ：3 時間	閉回路循環運転時に保守的 にインリークがないと想定 した場合の室内の二酸化炭 素濃度を考慮し設定	7.3.2 (1) 建屋の表面空気中から，次の a) 及び b) の経路で放射性物質が外気から取り込まれること を想定する。 a) 中央制御室の非常用換気空調によって室内に取 入れること b) 中央制御室内に直接，流入すること
中央制御室換気 設備処理空間容 積	$2.8 \times 10^3 \text{m}^3$	設計値	7.3.2 (7) a) 中央制御室内への取り込み空気放射 能濃度に基づき，空調システムの設計に従って中 央制御室内の放射能濃度を求める。
外部 γ 線による 全身に対する線 量評価時の自由 体積	$2.8 \times 10^3 \text{m}^3$	同上	7.3.4 (3) ガンマ線による被ばく計算では，中央 制御室と異なる階層部分のエンベロープについ て，階層間の天井等による遮へいがあるので，中 央制御室の容積から除外してもよい。
中央制御室換気 設備フィルタ流 量	通常時： $0 \text{m}^3/\text{h}$ 事故時： $5,100 \text{m}^3/\text{h}$	同上	7.3.2 (7) a) 中央制御室内への取り込み空気放射 能濃度に基づき，空調システムの設計に従って中 央制御室内の放射能濃度を求める。

第 1-10 表 中央制御室換気設備条件(2/2)

項目	評価条件	選定理由	被ばく評価手法（内規）での記載
中央制御室非常用循環設備よう素フィルタによる除去効率	90%	設計値（除去効率 97%）に余裕を考慮した値（設計上は 97%以上）	4.2.1(2) フィルタのよう素除去効率は設計値に余裕を見込んだ値とする。
事故時運転モードへの切替時間	15 分	手動での隔離に要する時間と運転員が事故を検知し操作を開始するまでの値	7.3.2(6) 中央制御室の自動隔離を期待する場合には、その起動信号を明確にするとともに隔離に要する時間を見込む。また、隔離のために手動操作が必要な場合には、隔離に要する時間に加えて運転員が事故を検知してから操作を開始するまで 10 分以上の時間的余裕を見込んで計算する。
空気流入率	1 回/h	空気流入率測定試験結果（0.45 回/h）を基に余裕を見込んだ値として設定（補足説明資料 1-3 参照）	7.3(1) なお、中央制御室の空気流入率については、「原子力発電所の中央制御室の空気流入率測定試験手法」に従うこと。

第 1-11 表 運転員交替考慮条件

項目	評価条件	選定理由	被ばく評価手法（内規）での記載
中央制御室滞在期間	196 時間	運転員の勤務体系として 5 直 2 交替を考慮し，30 日間で滞在時間が最大となる運転直を想定し設定	7.1.1(1) 中央制御室内の滞在期間を，運転員の勤務状態に即して計算し，30 日間の積算線量を滞在期間の割合で配分する。
入退域回数	32 回 (15 分/回)	運転員の勤務体系として 5 直 2 交替を考慮し，30 日間で滞在時間が最大となる運転班を想定し設定	7.4.1(1) 入退域での所要時間を，運転員の勤務状態に即して計算し，30 日間の積算線量を所要時間の割合で配分する。 7.5.1(5)a) 管理建屋の入口を代表評価とし，入退域ごとに評価点に，15 分間滞在するとする。

第 1-12 表 線量換算係数及び呼吸率の条件

項目	評価条件	選定理由	被ばく評価手法（内規）での記載
線量換算係数	<p>よう素の吸入摂取に対して、成人実効線量換算係数を使用</p> <p>I-131 : 2.0×10^{-8} Sv/Bq I-132 : 3.1×10^{-10} Sv/Bq I-133 : 4.0×10^{-9} Sv/Bq I-134 : 1.5×10^{-10} Sv/Bq I-135 : 9.2×10^{-10} Sv/Bq</p>	ICRP Publication 71 に基づく	線量換算係数について、記載なし。
呼吸率	1.2m ³ /h	成人活動時の呼吸率を設定（ICRP Publication 71 に基づく）	<p>7.3.3(4) 吸入摂取による運転員の内部被ばく線量は、次のとおり計算する。</p> $H_1 = \int_0^T RH_{\infty} C_1(t) dt$ <p>R : 呼吸率（成人活動時） H_∞ : よう素(I-131)吸入摂取時の成人の実効線量への換算係数(Sv/Bq) C₁(t) : 時刻 t における中央制御室内の放射能濃度(I-131 等価量) (Bq/m³) T : 計算期間(30 日間)</p>

2 居住性評価に用いた気象資料の代表性について

1. はじめに

新規規制基準適合性に係る設置変更許可申請に当たっては、東海第二発電所敷地内で 2005 年度に観測された風向、風速等を用いて線量評価を行っている。本補足資料では、2005 年度の気象データを用いて線量評価することの妥当性について説明する。

2. 設置変更許可申請において 2005 年度の気象データを用いた理由

線量評価には「発電用原子炉施設の安全解析に関する気象指針」（以下、気象指針という。）に基づき統計処理された気象データを用いる。また、気象データのほかに放射性物質の放出量、排気筒高さ等のプラントデータ、評価点までの距離、排気筒有効高さ（風洞実験結果）等のデータが必要となる。

設置変更許可申請における線量評価については、敷地の気象の代表性が確認された 2005 年度の気象データを用いた風洞実験結果*を用いている。

※：風洞実験は平常時、事故時の放出源高さで平地実験、模型実験を行い排気筒の有効高さを求めている。平常時の放出源高さの設定に当たっては、吹上げ高さを考慮しており、吹上げ高さの計算に 2005 年度の気象データ（風向別風速逆数の平均）を用いている。

3. 2005 年度の気象データを用いて線量評価することの妥当性

線量評価に用いる気象データについては、気象指針に従い統計処理された 1 年間の気象データを使用している。気象指針（参考参照）では、その年の気象がとくに異常であるか否かを最寄の気象官署の気象資料を用いて調査することが望ましいとしている。

以上のことから、2005年度の気象データを用いることの妥当性を最新の気象データと比較し、以下の(1)(2)について確認する。

- (1) 想定事故時の線量計算に用いる相対濃度
- (2) 異常年検定

4. 想定事故時の線量計算に用いる相対濃度と異常年検定の評価結果

(1) 想定事故時の線量計算に用いる相対濃度の最新の気象との比較

想定事故時の線量計算に用いる相対濃度について、線量評価に用いる気象（2005年度）と最新の気象（2015年度）との比較を行った。その結果、2005年度気象での相対濃度※は $2.01 \times 10^{-6} \text{ s/m}^3$ 、2015年度気象では $2.04 \times 10^{-6} \text{ s/m}^3$ である。2005年度に対し2015年度の相対濃度は約1%の増加（気象指針に記載の相対濃度の年変動の範囲30%以内）であり、2005年度の気象データに特異性はない。

※：排気筒放出における各方位の1時間毎の気象データを用いた年間の相対濃度を小さい方から累積し、その累積頻度が97%に当たる相対濃度を算出し、各方位の最大値を比較

(2) 異常年検定

a. 検定に用いた観測記録

検定に用いた観測記録は第2-1表のとおりである。

なお、参考として、最寄の気象官署（水戸地方気象台、小名浜特別地域気象観測所）の観測記録についても使用した。

第 2-1 表 検定に用いた観測記録

検定年	統計年 ^{※1}	観測地点 ^{※2}
2005 年度： 2005 年 4 月 ～ 2006 年 3 月	① 2001 年 4 月～2013 年 3 月 (申請時最新 10 年の気象データ)	・敷地内観測地点 (地上高 10m, 81m, 140m)
	② 2004 年 4 月～2016 年 3 月 (最新 10 年の気象データ)	・敷地内観測地点 (地上高 10m, 81m, 140m) <参考> ・水戸地方気象台 ・小名浜特別地域気象 観測所

※1：2006 年度は気象データの欠測率が高いため統計年から除外

※2:敷地内観測地点地上 81m は東海発電所の排気筒付近のデータであるが、
気象の特異性を確認するため評価

b. 検定方法

不良標本の棄却検定に関する F 分布検定の手順により異常年検定を行った。

c. 検定結果 (①～⑯ 棄却検定表参照)

検定結果は第 2-2 表のとおりであり、最新の気象データ (2004 年 4 月～2016 年 3 月) を用いた場合でも、有意水準 (危険率) 5%での棄却数は少なく、有意な増加はない。また、最寄の気象官署の気象データにおいても、有意水準 (危険率) 5%での棄却数は少なく、2005 年度の気象データは異常年とは判断されない。

第 2-2 表 検定結果

検定年	統計年 ^{※1}	棄却数				
		敷地内観測地点			参 考	
		地上高 10m	地上高 81m ^{※2}	地上高 140m	水戸地方 気象台	小名浜特 別地域気 象観測所
2005 年度	①	1 個	0 個	3 個	—	—
	②	3 個	1 個	4 個	1 個	3 個

※1：①：2001 年 4 月～2013 年 3 月（申請時最新 10 年の気象データ）

②：2004 年 4 月～2016 年 3 月（最新 10 年の気象データ）

2006 年度は気象データの欠測率が高いため統計年から除外

※2:敷地内観測地点地上 81m は東海発電所の排気筒付近のデータであるが、
気象の特異性を確認するため評価

5. 異常年検定による棄却項目の線量評価に与える影響

異常年検定については、風向別出現頻度 17 項目、風速階級別出現頻度 10 項目についてそれぞれ検定を行っている。

線量評価に用いる気象(2005 年度)を最新の気象データ(2004 年 4 月～2016 年 3 月)にて検定した結果、最大の棄却数は地上高 140m の観測地点で 27 項目中 4 個であった。棄却された項目について着目すると、棄却された項目は全て風向別出現頻度であり、その方位は E N E, E, E S E, S S W である。

ここで、最新の気象データを用いた場合の線量評価への影響を確認するため、棄却された各風向の相対濃度について、2005 年度と 2015 年度を第 2-3 表のとおり比較した。

E N E, E, E S Eについては2005年度に対し2015年度は0.5~0.9倍程度の相対濃度となり、2005年度での評価は保守的な評価となっており、線量評価結果への影響を与えない。なお、S S Wについては2005年度に対し2015年度は約1.1倍の相対濃度とほぼ同等であり、また、S S Wは頻度が比較的 low 相対濃度の最大方位とはならないため線量評価への影響はない。

第2-3表 棄却された各風向の相対濃度の比較結果

風向	相対濃度* (s/m ³) (2005年度) : A	相対濃度* (s/m ³) (2015年度) : B	比 (B/A)
E N E	1.456×10^{-6}	1.258×10^{-6}	0.864
E	1.982×10^{-6}	1.010×10^{-6}	0.510
E S E	1.810×10^{-6}	1.062×10^{-6}	0.587
S S W	1.265×10^{-6}	1.421×10^{-6}	1.123

※：燃料集合体落下事故を想定した排気筒放出における、各方位の1時間毎の気象データを用いた年間の相対濃度を小さい方から累積し、その累積頻度が97%に当たる相対濃度を算出

6. 結 論

2005年度の気象データを用いることの妥当性を最新の気象データとの比較により評価した結果は以下のとおり。

- (1) 想定事故時の線量計算に用いる相対濃度について、線量評価に用いる気象(2005年度)と最新の気象(2015年度)での計算結果について比較を行った結果、気象指針に記載されている相対濃度の年変動(30%以内)の範囲に収まり、2005年度の気象データに特異性はない。
- (2) 2005年度の気象データについて申請時の最新気象データ(2001年4月~

2013年3月)及び最新気象データ(2004年4月～2016年3月)で異常年検定を行った結果、棄却数は少なく、有意な増加はない。また、気象指針にて調査することが推奨されている最寄の気象官署の気象データにおいても、2005年度の気象データは棄却数は少なく、異常年とは判断されない。

(3) 異常年検定にて棄却された風向の相対濃度については、最新気象データと比べて保守的、あるいは、ほぼ同等となっており、線量評価結果への影響を与えない。

以上より、2005年度の気象データを線量評価に用いることは妥当である。

① 棄却検定表（風向）（標高148m）

観測場所：敷地内A地点（標高148m，地上高140m）（%）

統計年 風向	2001	2002	2003	2004	2007	2008	2009	2010	2011	2012	平均値	検定年 2005	棄却限界(5%)		判定 ○採択 ×棄却
	上限		下限												
N	3.96	5.85	3.78	3.40	5.01	4.27	4.11	4.62	4.43	4.50	4.39	3.52	6.02	2.77	○
NNE	8.89	8.15	6.91	6.22	11.41	13.51	18.30	14.74	15.31	14.20	11.76	6.67	21.42	2.11	○
NE	19.71	24.49	23.29	18.45	18.06	20.80	16.75	14.99	14.71	13.60	18.49	18.41	27.13	9.84	○
ENE	8.31	8.38	10.04	8.97	7.09	6.97	5.51	5.25	5.40	4.10	7.00	9.80	11.55	2.46	○
E	4.39	3.76	4.56	4.42	4.59	4.14	3.49	3.17	3.13	1.70	3.74	5.55	5.88	1.59	○
ESE	2.79	2.86	2.93	2.99	2.32	2.85	2.26	2.26	2.22	2.20	2.57	3.66	3.37	1.76	×
SE	2.90	2.61	2.95	2.66	2.15	2.85	2.59	2.74	2.82	3.00	2.73	3.09	3.31	2.14	○
SSE	3.35	3.34	3.74	3.54	3.69	3.73	4.18	4.89	4.68	5.50	4.06	3.32	5.80	2.33	○
S	5.00	4.13	5.02	6.63	6.33	5.38	5.19	6.03	5.83	7.00	5.65	4.99	7.72	3.59	○
SSW	3.79	3.56	4.35	5.02	4.54	4.55	4.43	5.35	4.76	5.70	4.61	3.13	6.15	3.06	○
SW	4.32	4.90	4.93	5.16	3.92	3.40	4.53	5.16	5.76	5.40	4.75	3.67	6.44	3.06	○
WSW	4.38	4.09	3.53	4.31	4.66	3.29	4.11	4.67	4.07	4.70	4.18	4.25	5.31	3.05	○
W	5.44	4.16	4.23	4.65	3.89	3.81	4.47	5.55	4.26	4.40	4.49	5.13	5.88	3.09	○
WNW	5.95	5.05	6.19	6.71	5.87	6.13	6.26	6.05	6.37	6.30	6.09	7.65	7.12	5.06	×
NW	7.95	7.42	7.60	9.12	9.02	8.06	7.95	7.99	8.94	10.10	8.42	9.54	10.41	6.42	○
NNW	7.63	6.60	5.19	6.97	7.03	5.86	4.90	5.27	5.98	6.60	6.20	6.53	8.35	4.05	○
CALM	1.24	0.65	0.75	0.76	0.42	0.39	0.98	1.26	1.32	1.2	0.90	1.10	1.73	0.06	○

注1) 1996年9月までは超音波風向風速計，1996年10月からはドップラーソーダの観測値である。

注2) 2006年度は標高148mのデータにノイズの影響があったため除外し，2001年度を追加した。

② 棄却検定表（風速）（標高148m）

観測場所：敷地内A地点（標高148m，地上高140m）（%）

統計年 風速(m/s)	2001	2002	2003	2004	2007	2008	2009	2010	2011	2012	平均値	検定年 2005	棄却限界(5%)		判定 ○採択 ×棄却
	上限		下限												
0.0~0.4	1.24	0.65	0.75	0.76	0.42	0.39	0.98	1.26	1.32	1.20	0.90	1.10	1.73	0.06	○
0.5~1.4	6.70	5.19	5.56	6.43	5.00	4.91	6.14	6.91	6.97	7.40	6.12	6.99	8.26	3.98	○
1.5~2.4	10.58	8.92	9.61	11.42	8.63	9.44	10.82	11.16	10.43	11.00	10.20	11.28	12.53	7.87	○
2.5~3.4	12.17	11.15	12.55	13.72	11.36	12.24	11.61	12.66	12.49	12.40	12.24	14.10	13.99	10.48	×
3.5~4.4	12.57	12.25	12.80	13.58	12.63	13.41	13.26	12.52	12.24	12.10	12.74	13.85	13.97	11.51	○
4.5~5.4	11.54	10.97	11.30	12.07	13.08	12.09	12.67	13.40	12.60	11.00	12.07	12.03	14.11	10.03	○
5.5~6.4	10.66	9.62	10.10	9.68	11.98	10.33	10.78	10.64	10.24	10.00	10.40	9.92	12.02	8.79	○
6.5~7.4	7.67	8.18	8.82	7.95	8.74	8.28	8.19	8.89	8.08	8.60	8.34	7.40	9.30	7.38	○
7.5~8.4	6.17	7.68	7.35	5.34	6.97	7.05	5.91	6.39	6.28	7.30	6.64	5.51	8.40	4.89	○
8.5~9.4	5.14	6.84	6.01	5.03	5.60	4.77	5.03	4.82	5.52	6.00	5.48	4.82	7.03	3.92	○
9.5以上	15.56	18.54	15.15	14.02	15.61	17.08	14.61	11.35	13.84	13.00	14.88	13.00	19.70	10.05	○

注1) 1996年9月までは超音波風向風速計，1996年10月からはドップラーソーダの観測値である。

注2) 2006年度は標高148mのデータにノイズの影響があったため除外し，2001年度を追加した。

③ 棄却検定表（風向）（標高89m）

観測場所：敷地内A地点（標高 89m，地上高 81m）（%）

統計年 風向	2001	2002	2003	2004	2007	2008	2009	2010	2011	2012	平均値	検定年 2005	棄却限界（5%）		判定 ○採択 ×棄却
													上限	下限	
N	4.09	4.59	3.42	3.25	4.84	4.64	4.84	5.88	5.68	5.5	4.67	3.79	6.79	2.56	○
NNE	8.41	7.81	7.03	6.03	10.15	12.15	17.45	14.51	16.54	14.50	11.46	6.60	21.28	1.64	○
NE	17.97	21.91	21.50	17.51	16.08	19.04	16.64	13.25	12.20	11.40	16.75	17.88	25.36	8.14	○
ENE	7.76	8.22	9.86	7.84	6.78	7.22	5.33	4.72	3.74	3.30	6.48	8.95	11.52	1.44	○
E	3.34	3.80	4.30	4.02	4.35	4.18	3.00	2.48	2.26	1.80	3.35	4.32	5.55	1.16	○
ESE	2.40	2.79	2.47	2.75	2.29	2.79	2.30	2.05	1.83	1.70	2.34	2.77	3.26	1.42	○
SE	2.74	2.86	2.96	2.80	2.21	2.96	2.89	2.53	2.99	3.20	2.81	2.75	3.47	2.16	○
SSE	3.78	3.48	3.96	3.77	3.74	3.90	4.83	5.80	4.88	6.10	4.42	4.16	6.63	2.22	○
S	4.77	3.66	4.43	6.82	5.76	4.74	4.64	5.94	5.42	5.70	5.19	4.88	7.35	3.03	○
SSW	2.86	2.56	3.20	3.86	3.40	3.06	3.59	4.46	4.16	4.30	3.55	2.43	5.07	2.02	○
SW	3.26	3.62	3.42	3.63	3.07	2.30	2.96	3.33	4.04	4.10	3.37	2.64	4.63	2.11	○
WSW	3.32	3.33	3.11	3.09	3.28	2.75	3.08	3.37	3.10	3.80	3.22	3.08	3.87	2.58	○
W	4.53	4.08	4.57	4.17	4.04	3.59	4.13	5.19	4.29	4.40	4.30	4.58	5.30	3.30	○
WNW	8.29	7.52	8.02	9.03	7.66	7.81	8.17	8.29	8.59	8.70	8.21	9.14	9.34	7.08	○
NW	15.13	13.32	12.41	15.17	15.33	12.82	10.66	11.34	13.08	14.10	13.34	15.31	17.17	9.50	○
NNW	6.67	5.88	4.76	5.67	6.32	5.42	4.60	5.65	6.05	6.30	5.73	6.03	7.32	4.15	○
CALM	0.65	0.58	0.59	0.61	0.68	0.65	0.90	1.21	1.14	1.10	0.81	0.69	1.41	0.21	○

注1) 1996年9月までは超音波風向風速計，1996年10月からはドップラーソーダの観測値である。

注2) 2006年度は標高148mのデータにノイズの影響があったため除外し，2001年度を追加した。

④ 棄却検定表（風速）（標高89m）

観測場所：敷地内A地点（標高 89m，地上高 81m）（%）

統計年 風速(m/s)	2001	2002	2003	2004	2007	2008	2009	2010	2011	2012	平均値	検定年 2005	棄却限界（5%）		判定 ○採択 ×棄却
													上限	下限	
0.0～0.4	0.65	0.58	0.59	0.61	0.68	0.65	0.90	1.21	1.14	1.10	0.81	0.69	1.41	0.21	○
0.5～1.4	4.92	4.95	5.23	5.62	4.89	5.08	6.94	7.56	7.82	7.80	6.08	5.79	9.13	3.03	○
1.5～2.4	10.06	10.15	10.09	11.31	9.38	10.83	12.09	12.36	12.35	12.90	11.15	10.58	14.05	8.25	○
2.5～3.4	13.91	14.28	14.41	14.52	13.35	14.11	14.46	16.20	14.86	14.10	14.42	15.24	16.19	12.65	○
3.5～4.4	15.55	14.93	14.78	16.34	14.98	15.93	15.47	15.05	15.26	14.60	15.29	16.48	16.57	14.01	○
4.5～5.4	13.97	12.98	12.75	13.85	14.76	13.52	13.42	13.75	12.61	12.80	13.44	13.66	15.04	11.84	○
5.5～6.4	11.36	10.40	11.85	10.73	11.54	10.67	10.40	10.51	9.52	10.40	10.74	11.14	12.35	9.13	○
6.5～7.4	8.16	8.38	8.75	7.90	8.66	7.72	7.14	7.22	7.49	8.10	7.95	8.04	9.29	6.62	○
7.5～8.4	6.41	6.50	6.98	5.44	6.25	5.74	5.23	5.40	6.17	6.10	6.02	5.64	7.35	4.70	○
8.5～9.4	4.97	5.31	4.65	4.10	4.85	4.30	4.12	3.20	4.43	4.40	4.43	4.02	5.81	3.06	○
9.5以上	10.04	11.52	9.92	9.58	10.65	11.45	9.84	7.54	8.37	7.80	9.67	8.74	12.98	6.36	○

注1) 1996年9月までは超音波風向風速計，1996年10月からはドップラーソーダの観測値である。

注2) 2006年度は標高148mのデータにノイズの影響があったため除外し，2001年度を追加した。

⑤ 棄却検定表（風向）（標高18m）

観測場所：敷地内A地点（標高 18m，地上高 10m）（%）

統計年 風向	2001	2002	2003	2004	2007	2008	2009	2010	2011	2012	平均値	検定年 2005	棄却限界(5%)		判定 ○採択 ×棄却
													上限	下限	
N	3.29	3.24	2.85	2.50	2.57	2.17	2.52	2.81	2.62	2.40	2.70	2.15	3.54	1.85	○
NNE	12.39	12.29	12.11	10.30	7.29	9.57	11.21	9.18	11.62	8.50	10.45	9.93	14.64	6.26	○
NE	12.70	15.12	17.57	13.28	15.17	17.51	16.15	12.25	12.18	11.60	14.35	15.15	19.68	9.02	○
ENE	3.27	3.57	3.90	3.74	5.42	6.41	5.52	5.07	4.14	6.40	4.74	4.49	7.52	1.97	○
E	2.51	2.86	2.84	2.62	3.05	2.44	2.85	2.19	1.78	1.80	2.49	2.60	3.55	1.43	○
ESE	3.04	3.68	3.30	3.81	3.44	3.44	3.98	3.36	3.25	2.30	3.36	3.49	4.46	2.26	○
SE	5.14	5.79	5.80	5.63	4.29	4.37	4.59	5.21	4.53	4.60	5.00	5.73	6.40	3.59	○
SSE	4.00	3.66	3.99	5.62	5.03	4.47	4.63	6.32	5.73	6.00	4.95	4.59	7.16	2.73	○
S	2.41	2.22	2.63	3.85	3.68	3.79	3.25	4.55	3.54	4.20	3.41	2.31	5.25	1.57	○
SSW	3.52	3.26	3.07	3.20	3.19	2.35	3.28	3.64	3.38	3.40	3.23	2.36	4.06	2.40	×
SW	1.37	0.79	1.35	1.08	1.53	1.09	1.06	1.00	1.12	1.30	1.17	1.22	1.68	0.66	○
WSW	2.94	2.70	2.48	2.15	1.44	1.25	2.47	2.66	2.34	1.90	2.23	2.40	3.54	0.92	○
W	12.93	11.05	10.01	11.71	4.73	4.55	6.91	6.99	7.88	6.30	8.31	10.13	15.30	1.31	○
WNW	19.82	18.95	18.46	19.53	24.91	22.81	21.72	22.62	22.60	22.90	21.43	21.68	26.45	16.42	○
NW	6.86	6.86	6.03	6.52	9.65	8.87	6.09	7.67	8.35	10.90	7.78	7.42	11.65	3.91	○
NNW	2.97	2.92	2.33	2.61	3.51	3.10	2.43	2.87	3.04	3.50	2.93	2.65	3.87	1.99	○
CALM	0.82	1.03	1.29	1.85	1.11	1.82	1.35	1.6	1.9	2.00	1.48	1.69	2.46	0.49	○

注1) 2006年度は標高148mのデータにノイズの影響があったため除外し、2001年度を追加した。

⑥ 棄却検定表（風速）（標高18m）

観測場所：敷地内A地点（標高 18m，地上高 10m）（%）

統計年 風速(m/s)	2001	2002	2003	2004	2007	2008	2009	2010	2011	2012	平均値	検定年 2005	棄却限界(5%)		判定 ○採択 ×棄却
													上限	下限	
0.0~0.4	0.82	1.03	1.29	1.85	1.11	1.82	1.35	1.60	1.90	2.00	1.48	1.69	2.46	0.49	○
0.5~1.4	12.24	12.79	13.24	14.96	14.40	15.93	13.88	15.83	15.92	16.70	14.59	15.14	18.20	10.98	○
1.5~2.4	30.43	30.39	28.56	31.22	32.03	33.39	32.69	32.91	33.15	31.40	31.62	32.77	35.24	28.00	○
2.5~3.4	22.23	21.48	21.80	22.97	21.70	21.95	23.48	23.08	23.60	21.90	22.42	20.88	24.29	20.55	○
3.5~4.4	10.85	10.91	11.31	9.77	10.95	10.88	10.69	11.19	10.19	10.70	10.74	10.16	11.83	9.66	○
4.5~5.4	7.69	8.16	9.27	6.25	6.89	6.66	7.22	6.75	6.01	7.10	7.20	7.09	9.49	4.91	○
5.5~6.4	5.21	6.40	6.23	4.34	4.69	4.15	3.91	3.58	4.17	4.50	4.72	4.79	6.97	2.46	○
6.5~7.4	4.20	4.07	3.92	3.30	3.31	2.25	2.60	2.02	2.44	2.60	3.07	3.01	4.96	1.18	○
7.5~8.4	2.84	2.51	2.18	2.34	2.24	1.20	1.70	1.39	1.25	1.60	1.93	2.29	3.28	0.57	○
8.5~9.4	1.77	1.12	1.07	1.33	1.24	0.86	1.20	0.72	0.60	0.70	1.06	1.09	1.90	0.22	○
9.5以上	1.70	1.13	1.13	1.67	1.45	0.90	1.30	0.94	0.75	0.80	1.18	1.10	1.99	0.36	○

注1) 2006年度は標高148mのデータにノイズの影響があったため除外し、2001年度を追加した。

⑦ 棄却検定表（風向）（標高148m）

観測場所：敷地内A地点（標高148m，地上高140m）（%）

統計年 風向	2004	2007	2008	2009	2010	2011	2012	2013	2014	2015	平均値	検定年 2005	棄却限界(5%)		判定 ○採択 ×棄却
													上限	下限	
N	3.40	5.01	4.27	4.11	4.62	4.43	4.50	4.48	4.38	5.20	4.44	3.52	5.60	3.28	○
NNE	6.22	11.41	13.51	18.30	14.74	15.31	14.10	11.42	14.59	20.56	14.02	6.67	23.32	4.72	○
NE	18.45	18.06	20.80	16.75	14.99	14.71	13.66	15.68	13.11	13.60	15.98	18.41	21.91	10.05	○
ENE	8.97	7.09	6.97	5.51	5.25	5.40	4.16	5.74	5.59	4.95	5.96	9.80	9.21	2.72	×
E	4.42	4.59	4.14	3.49	3.17	3.13	1.65	3.02	3.06	3.04	3.37	5.55	5.40	1.34	×
ESE	2.99	2.32	2.85	2.26	2.26	2.22	2.17	2.00	2.36	2.20	2.36	3.66	3.10	1.62	×
SE	2.66	2.15	2.85	2.59	2.74	2.82	2.98	2.99	2.79	2.26	2.69	3.09	3.36	2.01	○
SSE	3.54	3.69	3.73	4.18	4.89	4.68	5.52	4.76	5.29	5.12	4.54	3.32	6.23	2.85	○
S	6.63	6.33	5.38	5.19	6.03	5.83	6.96	6.48	5.87	5.76	6.04	4.99	7.36	4.73	○
SSW	5.02	4.54	4.55	4.43	5.35	4.76	5.68	6.07	4.89	5.45	5.08	3.13	6.37	3.78	×
SW	5.16	3.92	3.40	4.53	5.16	5.76	5.38	4.94	4.64	5.05	4.79	3.67	6.46	3.13	○
WSW	4.31	4.66	3.29	4.11	4.67	4.07	4.63	4.81	5.16	4.10	4.38	4.25	5.62	3.14	○
W	4.65	3.89	3.81	4.47	5.55	4.26	4.40	4.64	5.07	4.24	4.50	5.13	5.74	3.26	○
WNW	6.71	5.87	6.13	6.26	6.05	6.37	6.29	6.75	7.56	5.62	6.36	7.65	7.65	5.07	○
NW	9.12	9.02	8.06	7.95	7.99	8.94	10.14	8.95	9.69	6.99	8.68	9.54	10.90	6.47	○
NNW	6.97	7.03	5.86	4.90	5.27	5.98	6.57	6.52	5.08	4.81	5.90	6.53	7.92	3.88	○
CALM	0.76	0.42	0.39	0.98	1.26	1.32	1.21	0.75	0.88	1.04	0.90	1.10	1.68	0.12	○

注1) 2006年度は標高148mのデータにノイズの影響があったため除外し，2004年度を追加した。

⑧ 棄却検定表（風速）（標高148m）

観測場所：敷地内A地点（標高148m，地上高140m）（%）

統計年 風速(m/s)	2004	2007	2008	2009	2010	2011	2012	2013	2014	2015	平均値	検定年 2005	棄却限界(5%)		判定 ○採択 ×棄却
													上限	下限	
0.0~0.4	0.76	0.42	0.39	0.98	1.26	1.32	1.21	0.75	0.88	1.04	0.90	1.10	1.68	0.12	○
0.5~1.4	6.43	5.00	4.91	6.14	6.91	6.97	7.32	5.92	6.20	6.78	6.26	6.99	8.18	4.33	○
1.5~2.4	11.42	8.63	9.44	10.82	11.16	10.43	10.94	10.58	9.76	10.98	10.42	11.28	12.50	8.33	○
2.5~3.4	13.72	11.36	12.24	11.61	12.66	12.49	12.38	12.89	12.13	13.45	12.49	14.10	14.24	10.75	○
3.5~4.4	13.58	12.63	13.41	13.26	12.52	12.24	12.12	14.22	13.05	13.51	13.05	13.85	14.64	11.47	○
4.5~5.4	12.07	13.08	12.09	12.67	13.40	12.60	11.01	12.52	12.25	11.78	12.35	12.03	13.95	10.75	○
5.5~6.4	9.68	11.98	10.33	10.78	10.64	10.24	10.01	10.35	11.29	9.51	10.48	9.92	12.23	8.73	○
6.5~7.4	7.95	8.74	8.28	8.19	8.89	8.08	8.62	8.57	9.22	7.47	8.40	7.40	9.61	7.19	○
7.5~8.4	5.34	6.97	7.05	5.91	6.39	6.28	7.32	7.01	6.63	5.89	6.48	5.51	7.98	4.98	○
8.5~9.4	5.03	5.60	4.77	5.03	4.82	5.52	6.08	5.01	5.14	4.97	5.20	4.82	6.17	4.22	○
9.5以上	14.02	15.61	17.08	14.61	11.35	13.84	12.98	12.18	13.45	14.63	13.97	13.00	17.90	10.05	○

注1) 2006年度は標高148mのデータにノイズの影響があったため除外し，2004年度を追加した。

⑨ 棄却検定表（風向）（標高89m）

観測場所：敷地内A地点（標高 89m，地上高 81m）（%）

統計年 風向	2004	2007	2008	2009	2010	2011	2012	2013	2014	2015	平均値	検定年 2005	棄却限界(5%)		判定 ○採択 ×棄却
													上限	下限	
N	3.25	4.84	4.64	4.84	5.88	5.68	5.50	5.04	5.05	6.22	5.09	3.79	7.05	3.14	○
NNE	6.03	10.15	12.15	17.45	14.51	16.54	14.50	11.55	14.10	19.46	13.64	6.60	22.84	4.45	○
NE	17.51	16.08	19.04	16.64	13.25	12.20	11.40	14.95	13.31	12.28	14.67	17.88	20.77	8.56	○
ENE	7.84	6.78	7.22	5.33	4.72	3.74	3.30	5.73	4.21	4.52	5.34	8.95	8.97	1.71	○
E	4.02	4.35	4.18	3.00	2.48	2.26	1.80	2.89	2.33	2.47	2.98	4.32	5.11	0.85	○
ESE	2.75	2.29	2.79	2.30	2.05	1.83	1.70	2.17	2.07	1.91	2.19	2.77	3.04	1.33	○
SE	2.80	2.21	2.96	2.89	2.53	2.99	3.20	2.56	3.40	2.60	2.81	2.75	3.64	1.98	○
SSE	3.77	3.74	3.90	4.83	5.80	4.88	6.10	4.79	5.78	5.58	4.92	4.16	7.03	2.81	○
S	6.82	5.76	4.74	4.64	5.94	5.42	5.70	5.01	4.67	4.87	5.36	4.88	7.03	3.68	○
SSW	3.86	3.40	3.06	3.59	4.46	4.16	4.30	4.07	3.53	4.25	3.87	2.43	4.95	2.79	×
SW	3.63	3.07	2.30	2.96	3.33	4.04	4.10	3.45	3.38	3.56	3.38	2.64	4.63	2.13	○
WSW	3.09	3.28	2.75	3.08	3.37	3.10	3.80	3.50	4.06	3.23	3.33	3.08	4.23	2.42	○
W	4.17	4.04	3.59	4.13	5.19	4.29	4.40	4.66	4.76	4.26	4.35	4.58	5.39	3.31	○
WNW	9.03	7.66	7.81	8.17	8.29	8.59	8.70	9.54	10.05	7.43	8.53	9.14	10.51	6.54	○
NW	15.17	15.33	12.82	10.66	11.34	13.08	14.10	13.28	12.90	10.98	12.97	15.31	16.82	9.11	○
NNW	5.67	6.32	5.42	4.60	5.65	6.05	6.30	5.80	5.54	5.08	5.64	6.03	6.90	4.38	○
CALM	0.61	0.68	0.65	0.90	1.21	1.14	1.10	1.01	0.86	1.29	0.95	0.69	1.53	0.37	○

注1) 2006年度は標高148mのデータにノイズの影響があったため除外し，2004年度を追加した。

⑩ 棄却検定表（風速）（標高89m）

観測場所：敷地内A地点（標高 89m，地上高 81m）（%）

統計年 風速(m/s)	2004	2007	2008	2009	2010	2011	2012	2013	2014	2015	平均値	検定年 2005	棄却限界(5%)		判定 ○採択 ×棄却
													上限	下限	
0.0~0.4	0.61	0.68	0.65	0.90	1.21	1.14	1.10	1.01	0.86	1.29	0.95	0.69	1.53	0.37	○
0.5~1.4	5.62	4.89	5.08	6.94	7.56	7.82	7.80	7.41	6.47	7.60	6.72	5.79	9.42	4.01	○
1.5~2.4	11.31	9.38	10.83	12.09	12.36	12.35	12.90	12.41	11.84	13.06	11.85	10.58	14.46	9.24	○
2.5~3.4	14.52	13.35	14.11	14.46	16.20	14.86	14.10	15.47	15.34	15.31	14.77	15.24	16.74	12.80	○
3.5~4.4	16.34	14.98	15.93	15.47	15.05	15.26	14.60	15.94	15.26	14.65	15.35	16.48	16.71	13.98	○
4.5~5.4	13.85	14.76	13.52	13.42	13.75	12.61	12.80	12.85	13.64	12.56	13.38	13.66	15.00	11.75	○
5.5~6.4	10.73	11.54	10.67	10.40	10.51	9.52	10.40	10.94	10.49	9.78	10.50	11.14	11.84	9.16	○
6.5~7.4	7.90	8.66	7.72	7.14	7.22	7.49	8.10	7.38	8.49	7.34	7.74	8.04	9.01	6.48	○
7.5~8.4	5.44	6.25	5.74	5.23	5.40	6.17	6.10	4.94	5.67	5.51	5.64	5.64	6.66	4.63	○
8.5~9.4	4.10	4.85	4.30	4.12	3.20	4.43	4.40	4.20	3.89	4.42	4.19	4.02	5.22	3.16	○
9.5以上	9.58	10.65	11.45	9.84	7.54	8.37	7.80	7.44	8.05	8.47	8.92	8.74	12.21	5.63	○

注1) 2006年度は標高148mのデータにノイズの影響があったため除外し，2004年度を追加した。

⑪ 棄却検定表（風向）（標高18m）

観測場所：敷地内A地点（標高 18m，地上高 10m）（%）

統計年 風向	2004	2007	2008	2009	2010	2011	2012	2013	2014	2015	平均値	検定年 2005	棄却限界(5%)		判定 ○採択 ×棄却
													上限	下限	
N	2.50	2.57	2.17	2.52	2.81	2.62	2.39	2.26	2.16	2.70	2.47	2.15	2.99	1.95	○
NNE	10.30	7.29	9.57	11.21	9.18	11.62	8.49	8.24	8.84	11.06	9.58	9.93	12.98	6.18	○
NE	13.28	15.17	17.51	16.15	12.25	12.18	11.58	12.60	12.33	13.45	13.65	15.15	18.32	8.98	○
ENE	3.74	5.42	6.41	5.52	5.07	4.14	6.39	7.34	6.61	7.12	5.78	4.49	8.65	2.90	○
E	2.62	3.05	2.44	2.85	2.19	1.78	1.78	2.84	2.14	3.40	2.51	2.60	3.79	1.23	○
ESE	3.81	3.44	3.44	3.98	3.36	3.25	2.38	3.01	3.47	2.82	3.30	3.49	4.40	2.19	○
SE	5.63	4.29	4.37	4.59	5.21	4.53	4.58	4.04	4.56	4.03	4.58	5.73	5.76	3.40	○
SSE	5.62	5.03	4.47	4.63	6.32	5.73	6.01	4.96	4.74	5.63	5.31	4.59	6.81	3.82	○
S	3.85	3.68	3.79	3.25	4.55	3.54	4.20	3.69	3.42	3.50	3.75	2.31	4.66	2.84	×
SSW	3.20	3.19	2.35	3.28	3.64	3.38	3.39	3.47	3.14	3.32	3.23	2.36	4.05	2.42	×
SW	1.08	1.53	1.09	1.06	1.00	1.12	1.27	1.47	1.34	1.78	1.27	1.22	1.88	0.67	○
WSW	2.15	1.44	1.25	2.47	2.66	2.34	1.91	1.97	2.52	1.97	2.07	2.40	3.16	0.97	○
W	11.71	4.73	4.55	6.91	6.99	7.88	6.34	5.87	6.41	5.74	6.71	10.13	11.52	1.91	○
WNW	19.53	24.91	22.81	21.72	22.62	22.60	22.88	22.63	24.11	20.77	22.46	21.68	26.09	18.83	○
NW	6.52	9.65	8.87	6.09	7.67	8.35	10.93	9.78	9.37	7.93	8.51	7.42	12.10	4.93	○
NNW	2.61	3.51	3.10	2.43	2.87	3.04	3.49	4.17	3.20	3.09	3.15	2.65	4.32	1.98	○
CALM	1.85	1.11	1.82	1.35	1.60	1.90	2.00	1.68	1.64	1.70	1.66	1.69	2.30	1.03	○

注1) 2006年度は標高148mのデータにノイズの影響があったため除外し、2004年度を追加した。

⑫ 棄却検定表（風速）（標高18m）

観測場所：敷地内A地点（標高 18m，地上高 10m）（%）

統計年 風速(m/s)	2004	2007	2008	2009	2010	2011	2012	2013	2014	2015	平均値	検定年 2005	棄却限界(5%)		判定 ○採択 ×棄却
													上限	下限	
0.0~0.4	1.85	1.11	1.82	1.35	1.60	1.90	2.00	1.68	1.64	1.70	1.66	1.69	2.30	1.03	○
0.5~1.4	14.96	14.40	15.93	13.88	15.83	15.92	16.73	15.60	15.63	16.08	15.50	15.14	17.51	13.48	○
1.5~2.4	31.22	32.03	33.39	32.69	32.91	33.15	31.38	32.64	33.04	31.24	32.37	32.77	34.35	30.39	○
2.5~3.4	22.97	21.70	21.95	23.48	23.08	23.60	21.94	22.79	24.23	23.94	22.97	20.88	25.05	20.88	×
3.5~4.4	9.77	10.95	10.88	10.69	11.19	10.19	10.67	11.34	11.65	11.54	10.89	10.16	12.28	9.49	○
4.5~5.4	6.25	6.89	6.66	7.22	6.75	6.01	7.06	7.04	6.89	7.48	6.83	7.09	7.87	5.79	○
5.5~6.4	4.34	4.69	4.15	3.91	3.58	4.17	4.48	3.78	3.36	4.17	4.06	4.79	5.04	3.09	○
6.5~7.4	3.30	3.31	2.25	2.60	2.02	2.44	2.63	2.19	1.59	1.93	2.43	3.01	3.75	1.10	○
7.5~8.4	2.34	2.24	1.20	1.70	1.39	1.25	1.55	1.37	0.94	1.05	1.50	2.29	2.62	0.39	○
8.5~9.4	1.33	1.24	0.86	1.20	0.72	0.60	0.72	0.71	0.47	0.49	0.83	1.09	1.58	0.09	○
9.5以上	1.67	1.45	0.90	1.30	0.94	0.75	0.84	0.86	0.56	0.37	0.96	1.10	1.91	0.01	○

注1) 2006年度は標高148mのデータにノイズの影響があったため除外し、2004年度を追加した。

⑬ 棄却検定表（風向）（水戸地方気象台）

観測場所：水戸地方気象台(%)

統計年 風向	2004	2007	2008	2009	2010	2011	2012	2013	2014	2015	平均値	検定年 2005	棄却限界(5%)		判定 ○採択 ×棄却
													上限	下限	
N	15.34	17.09	18.48	14.84	16.36	17.58	14.82	13.31	12.53	11.75	15.21	13.38	20.47	9.95	○
NNE	6.78	6.87	8.19	7.57	7.63	7.52	7.05	7.07	6.68	7.83	7.32	6.68	8.51	6.13	○
NE	6.22	6.14	8.14	9.37	6.51	7.25	6.82	6.01	6.65	8.23	7.13	7.36	9.76	4.51	○
ENE	8.70	8.79	9.94	10.20	7.40	7.33	7.71	9.20	8.31	8.81	8.64	9.50	10.97	6.30	○
E	9.92	9.38	10.94	9.26	8.55	7.28	6.49	9.98	8.95	8.87	8.96	10.92	12.05	5.87	○
ESE	4.37	3.22	5.08	3.38	4.19	3.72	4.02	3.43	3.79	3.81	3.90	4.41	5.21	2.60	○
SE	3.11	3.02	3.38	3.05	2.99	3.05	3.74	2.82	2.95	3.07	3.12	2.91	3.74	2.50	○
SSE	1.30	1.50	1.12	1.15	1.29	1.47	1.36	1.10	1.28	1.17	1.27	1.43	1.61	0.94	○
S	2.99	2.43	1.56	2.49	2.82	2.74	2.98	2.96	2.17	2.47	2.56	1.96	3.62	1.50	○
SSW	5.32	5.83	4.64	5.28	6.78	6.32	6.22	5.78	5.79	6.40	5.84	4.24	7.34	4.33	×
SW	5.47	4.84	3.40	3.77	4.86	5.08	4.00	4.01	3.92	3.97	4.33	4.20	5.93	2.73	○
WSW	2.97	3.28	2.61	2.74	3.62	2.91	3.41	3.21	3.66	3.56	3.20	3.26	4.09	2.31	○
W	3.18	2.86	2.83	2.84	3.49	3.07	3.70	3.27	4.34	2.82	3.24	3.81	4.40	2.08	○
WNW	2.75	2.57	2.17	1.72	1.84	2.24	2.89	2.56	2.54	1.59	2.29	3.17	3.35	1.22	○
NW	6.63	5.69	3.15	4.59	4.86	4.11	6.10	6.47	7.06	5.48	5.41	7.67	8.34	2.49	○
NNW	13.20	14.77	12.63	16.29	15.44	16.86	17.84	17.99	18.01	19.29	16.23	13.36	21.45	11.01	○
CALM	1.75	1.73	1.74	1.45	1.36	1.47	0.83	0.85	1.38	0.87	1.34	1.74	2.22	0.46	○

注1) 2006年度は標高148mのデータにノイズの影響があったため除外し、2004年度を追加した。

⑭ 棄却検定表（風速）（水戸地方気象台）

観測場所：水戸地方気象台(%)

統計年 風速(m/s)	2004	2007	2008	2009	2010	2011	2012	2013	2014	2015	平均値	検定年 2005	棄却限界(5%)		判定 ○採択 ×棄却
													上限	下限	
0.0~0.4	1.75	1.73	1.74	1.45	1.36	1.47	0.83	0.85	1.38	0.87	1.34	1.74	2.22	0.46	○
0.5~1.4	33.41	35.08	36.96	37.22	32.05	33.83	31.50	32.61	32.82	26.35	33.18	35.02	40.51	25.85	○
1.5~2.4	29.63	29.88	30.31	28.20	30.41	29.79	31.92	31.80	30.66	35.10	30.77	29.14	35.18	26.36	○
2.5~3.4	16.75	17.72	16.28	15.96	17.80	16.66	16.03	16.83	16.86	17.36	16.83	16.52	18.36	15.29	○
3.5~4.4	9.81	9.42	8.08	8.85	9.43	9.50	9.63	9.81	10.24	11.26	9.60	10.01	11.57	7.63	○
4.5~5.4	4.93	3.73	3.76	4.08	4.11	4.18	5.29	4.44	4.23	4.93	4.37	4.93	5.61	3.13	○
5.5~6.4	2.05	1.30	1.53	2.14	2.59	2.17	2.47	1.80	1.97	2.78	2.08	1.84	3.18	0.98	○
6.5~7.4	0.96	0.63	0.51	1.14	1.19	1.13	1.25	0.82	1.14	0.98	0.98	0.46	1.57	0.38	○
7.5~8.4	0.41	0.26	0.31	0.46	0.53	0.56	0.67	0.39	0.43	0.20	0.42	0.19	0.76	0.08	○
8.5~9.4	0.18	0.15	0.18	0.21	0.29	0.37	0.24	0.21	0.18	0.08	0.21	0.09	0.40	0.02	○
9.5以上	0.11	0.11	0.34	0.30	0.25	0.34	0.16	0.43	0.08	0.09	0.22	0.06	0.52	0.00	○

注1) 2006年度は標高148mのデータにノイズの影響があったため除外し、2004年度を追加した。

⑮ 棄却検定表（風向）（小名浜気象観測所）

観測場所：小名浜気象観測所(%)

統計年 風向	2004	2007	2008	2009	2010	2011	2012	2013	2014	2015	平均値	検定年 2005	棄却限界(5%)		判定 ○採択 ×棄却
													上限	下限	
N	15.61	18.08	19.49	16.90	17.05	16.58	16.86	16.92	16.52	18.76	17.28	14.97	20.03	14.53	○
NNE	9.51	9.46	11.94	13.36	9.44	11.36	9.70	10.37	9.91	12.46	10.75	9.71	14.14	7.36	○
NE	5.07	5.21	5.40	6.15	5.19	4.83	5.89	5.79	5.13	5.70	5.44	4.45	6.44	4.43	○
ENE	1.70	2.19	2.22	2.20	2.22	1.88	2.00	2.43	2.69	2.79	2.23	1.89	3.03	1.43	○
E	2.15	2.92	2.36	2.48	2.38	2.37	1.90	2.42	2.68	2.52	2.42	2.17	3.07	1.76	○
ESE	1.32	1.95	2.02	1.75	1.78	1.60	1.68	2.15	2.14	1.88	1.83	1.77	2.44	1.22	○
SE	2.96	2.68	2.94	2.19	2.64	2.86	2.81	2.98	2.96	2.60	2.76	3.36	3.35	2.18	×
SSE	5.80	4.93	4.51	4.91	5.09	5.79	5.05	4.80	4.77	4.66	5.03	6.02	6.07	3.99	○
S	11.32	9.73	8.58	9.45	11.91	10.63	10.26	8.92	9.93	12.47	10.32	10.33	13.33	7.31	○
SSW	7.56	5.71	5.88	6.43	7.42	6.79	7.04	7.74	6.28	7.56	6.84	4.77	8.59	5.09	×
SW	2.13	1.79	1.58	2.68	2.70	2.29	2.70	2.79	3.04	1.79	2.35	1.69	3.55	1.15	○
WSW	0.95	0.82	1.05	1.13	0.97	0.97	1.18	1.11	1.07	1.15	1.04	0.95	1.30	0.78	○
W	1.80	1.70	1.58	1.70	1.44	1.71	1.50	1.42	1.75	1.46	1.61	1.89	1.94	1.27	○
WNW	4.70	4.69	3.84	3.98	3.98	4.36	4.28	4.43	4.94	2.88	4.21	6.05	5.60	2.82	×
NW	9.27	8.70	7.85	7.77	7.62	8.06	10.22	9.14	9.83	6.42	8.49	10.63	11.23	5.75	○
NNW	15.51	17.31	16.04	14.80	15.83	15.60	16.16	16.05	15.40	13.91	15.66	16.88	17.78	13.54	○
CALM	2.64	2.15	2.73	2.11	2.33	2.34	0.80	0.56	0.94	1.00	1.76	2.47	3.74	0.00	○

注1) 2006年度は標高148mのデータにノイズの影響があったため除外し、2004年度を追加した。

⑯ 棄却検定表（風速）（小名浜気象観測所）

観測場所：小名浜気象観測所(%)

統計年 風速(m/s)	2004	2007	2008	2009	2010	2011	2012	2013	2014	2015	平均値	検定年 2005	棄却限界(5%)		判定 ○採択 ×棄却
													上限	下限	
0.0~0.4	2.64	2.15	2.73	2.11	2.33	2.34	0.80	0.56	0.94	1.00	1.76	2.47	3.74	0.00	○
0.5~1.4	21.92	21.13	22.45	22.79	22.30	22.11	16.85	18.40	18.83	18.49	20.53	20.97	25.64	15.41	○
1.5~2.4	28.61	30.72	31.17	29.65	30.58	28.79	30.61	29.38	32.17	31.56	30.32	30.33	33.13	27.52	○
2.5~3.4	17.92	18.99	17.19	18.04	20.06	19.71	21.00	20.11	20.21	20.27	19.35	18.36	22.32	16.38	○
3.5~4.4	11.69	11.62	10.66	12.27	11.79	12.18	12.28	13.73	12.06	12.35	12.06	10.84	13.89	10.23	○
4.5~5.4	7.47	7.33	6.90	7.80	7.11	6.84	7.96	7.82	7.11	7.86	7.42	7.32	8.42	6.42	○
5.5~6.4	5.06	3.87	4.62	3.81	3.73	3.96	5.41	5.02	3.85	4.28	4.36	4.91	5.83	2.89	○
6.5~7.4	2.45	2.43	2.27	1.93	1.32	2.23	2.79	2.55	2.47	2.17	2.26	2.56	3.22	1.30	○
7.5~8.4	1.11	1.08	0.99	0.96	0.48	1.03	1.21	1.45	1.37	1.05	1.07	1.14	1.70	0.45	○
8.5~9.4	0.75	0.34	0.70	0.43	0.15	0.50	0.59	0.45	0.63	0.60	0.51	0.72	0.94	0.09	○
9.5以上	0.39	0.34	0.32	0.21	0.15	0.31	0.50	0.54	0.37	0.36	0.35	0.39	0.63	0.07	○

注1) 2006年度は標高148mのデータにノイズの影響があったため除外し、2004年度を追加した。

「発電用原子炉施設の安全解析に関する気象指針」の解説 X. での記載

1. 気象現象の年変動

気象現象は、ほぼ1年周期でくり返されているが、年による変動も存在する。このため、想定事故時の線量計算に用いる相対濃度についてその年変動を比較的長期にわたって調査してみると、相対濃度の平均値に対する各年の相対濃度の偏差の比は、30%以内であった。

このことから、1年間の気象資料にもとづく解析結果は、気象現象の年変動に伴って変動するものの、その程度はさほど大きくないので、まず、1年間の気象資料を用いて解析することとした。

その場合には、その年がとくに異常な年であるか否かを最寄の気象官署の気象資料を用いて調査することが望ましい。また、2年以上の気象資料が存在する場合には、これを有効に利用することが望ましい。

気象資料及び評価距離の変更に伴う線量評価の変更について

新規制基準適合性に係る設置変更許可申請に係る線量評価においては、東海第二発電所敷地内で観測された1981年度の気象観測データから代表性が確認された2005年度の気象観測データへ変更している。また、周辺監視区域境界の一部を変更している。

上記の変更に伴う「平常運転時における一般公衆の受ける線量評価（補足1参照）」及び「設計基準事故時の線量評価（補足2参照）」の変更について確認した。主な線量評価結果の変更の状況をまとめて第1表及び第2表に示す。

第1表 平常運転時における一般公衆の受ける線量評価について

	($\mu\text{Sv}/\text{y}$)	
	1981年度 (現行設置許可)	2005年度 (新規制基準に係る 変更申請)
希ガス	3.3	2.8
よう素	5.2	5.2
液体廃棄物	0.4	0.4
合 計	9.0	8.4

第2表 設計基準事故時の線量評価について

	(mSv)	
	1981年度 (現行設置許可)	2005年度 (新規制基準に係る 変更申請)
放射性気体廃棄物処理施設の破損	6.7×10^{-2}	5.3×10^{-2}
主蒸気管破断	1.8×10^{-1}	1.8×10^{-1}
燃料集合体の落下	2.1×10^{-2}	1.8×10^{-2}
原子炉冷却材喪失	2.7×10^{-4}	2.7×10^{-4}
制御棒落下	4.0×10^{-3}	3.2×10^{-3}

気象資料の変更等に伴う

平常運転時における一般公衆の受ける線量評価の変更について

1. 概要

東海第二発電所の平常運転時における環境への放射性物質の放出に伴う一般公衆の受ける線量が、「発電用軽水型原子炉施設周辺の線量目標に関する指針」に定める線量目標値 ($50 \mu\text{Sv}/\text{y}$) を満足することを確認するために、線量評価を行った。

今回の申請における主な変更点は、気象資料の変更及び周辺監視区域境界の一部変更に伴う線量評価の変更である。

放射性物質の環境への放出量及び一般公衆の受ける線量の計算は、「発電用軽水型原子炉施設周辺の線量目標値に対する評価指針」（以下、「線量評価指針」という。）及び「発電用原子炉施設の安全解析に関する気象指針」に従って行った。なお、今回の申請に伴う放出量の変更ない。

2. 気体廃棄物の年間放出量

(1) 放出量の計算方法

気体廃棄物の年間放出量は、原子炉施設の稼働率を 80%、炉心燃料から冷却材への全希ガス漏えい率(以下、「全希ガス漏えい率」という。) f について、年間平均を想定した 30 分減衰換算値で $1.11 \times 10^{10} \text{Bq}/\text{s}$ とし、放出経路ごとに「線量評価指針」に従い以下により計算している。(以下の計算では、全希ガス漏えい率を無次元の値として用いる。)

- a. 蒸気式空気抽出器排ガス中の希ガス及びよう素
- (a) 復水器から蒸気式空気抽出器排ガス(以下、「空気抽出器」という。)に移行する希ガス及びよう素の割合はそれぞれ 100%及び 1%とする。
- (b) 空気抽出器排ガスの減衰に用いられる 30 分減衰配管の希ガス滞留時間は 30 分、活性炭式希ガスホールドアップ装置の希ガス保持時間は、キセノン 27 日間、クリプトン 40 時間とする。
- (c) 空気抽出器排ガス中に含まれるよう素は、活性炭式希ガスホールドアップ装置により十分減衰されるので無視する。
- b. 真空ポンプの運転による排ガス中の希ガス及びよう素
- (a) 真空ポンプの運転による排ガス中の希ガスの年間放出量は、 $1.25 \times 10^4 \text{Bq}$ に全希ガス漏えい率 (1.11×10^{-10}) を乗じた値とし、放出回数は年間 5 回の間欠放出とする。この場合、放出希ガスの実効エネルギーは、減衰時間を 12 時間として計算した希ガスの核種組成から求める。
- (b) 真空ポンプの運転による排ガス中の I-131 及び I-133 の年間放出量は、 0.4Bq に全希ガス漏えい率 (1.11×10^{-10}) を乗じた値とし、放出回数は年間 5 回の間欠放出とする。
- c. 換気系から放出される希ガス及びよう素
- (a) 希ガスの放出量は、第 1 表の係数に炉心燃料からの希ガス各核種の漏えい率 (Bq/s) を乗じて計算する。この場合、放出希ガスの実効エネルギーは、減衰時間を 30 分として計算した希ガスの核種組成から求める。
- (b) よう素の放出量は、第 1 表の数値に冷却材中の I-131 及び I-133 の濃度 (Bq/g) を乗じた値としている。
- d. 定期検査時に放出される I-131
- 定期検査時の I-131 の放出量は、 2Bq に全希ガス漏えい率 (1.11×10^{-10}) を乗じた値としている。

(2) 希ガス及びよう素の放出量

a. 希ガスの放出量

希ガスの放出量及び実効エネルギーの計算結果を第 2 表に示す。

b. よう素の放出量

よう素の放出量の計算結果を第 3 表に示す。

3. 液体廃棄物の年間放出量

液体廃棄物の主なものは、各建屋の機器からのドレン、各建屋の床ドレン、再生廃液等の化学廃液及び洗濯廃液である。

液体廃棄物中の放射性物質による線量の評価を行う際には、液体廃棄物処理系の運用の変動を考慮して液体廃棄物の年間放出量は、トリチウムを除き 3.7×10^{11} Bq、トリチウムは 3.7×10^{12} Bq とする。

なお、トリチウムの環境放出量については、先行炉の実績等を考慮すると年間 3.7×10^{12} Bq と推定される。

4. 気象条件

気象条件は、現地における 2005 年 4 月～2006 年 3 月までの観測による気象資料を使用する。

線量の計算に使用する風向別大気安定度別風速逆数の総和及び風向別風速逆数の平均を第 4 表及び第 5 表に示す。

また、気象資料及び風洞実験から求めた放出源の有効高さ（東海第二発電所大気拡散風洞実験報告書（平成 25 年 12 月，三菱重工業株式会社））を第 6 表に示す。

5. 線量の計算

(1) 気体廃棄物中の希ガスの γ 線に起因する実効線量

気体廃棄物中の希ガスの γ 線に起因する実効線量の計算は、放射性雲からの γ 線による実効線量を対象に、希ガスの年間放出量、 γ 線実効エネルギー、気象資料等を用いて行った。

線量の計算は、周辺監視区域の北側及び西側境界の7方位並びに参考として、国立研究開発法人原子力研究開発機構原子力科学研究所（以下、「原子力科学研究所」という。）の周辺監視区域と接する南側及び南側及び海となっている東側の9方位について希ガスの γ 線による実効線量の計算を行う。線量計算地点を第1図に示す。

周辺監視区域境界外の希ガスの γ 線に起因する実効線量の計算結果を第7表に示す。これによれば、北側及び西側の周辺監視区域境界外で希ガスの γ 線による実効線量の最大値は、排気筒の西南西約640mの地点において、約 $3.2\mu\text{Sv}/\text{y}$ である。

また、将来の集落の形成を考慮し、排気筒を中心として16方位に分割したうちの11方位、北側については周辺監視区域境界、西側については国道245号線、南側については原子力科学研究所の南側周辺監視区域境界のそれぞれの外側において行い、希ガスの γ 線による実効線量が最大となる地点での線量を求める。線量計算地点を第2図に示す。

将来の集落の形成を考慮した地点の希ガスの γ 線に起因する実効線量の計算結果を第8表に示す。これによれば、将来の集落の形成を考慮した地点のうち希ガスの γ 線による実効線量が最大となるのは、排気筒の南西約1,280mの地点であり、その実効線量は約 $2.8\mu\text{Sv}/\text{y}$ である。

(2) 液体廃棄物中に含まれる放射性物質に起因する実効線量

液体廃棄物中に含まれる放射性物質（よう素を除く。）に起因する実効線量の

計算は、放射性物質が海産物を介して人体に摂取される場合の実効線量を対象に、放射性物質の年間放出量及び海水中における放射性物質の濃度を用いて行った。

なお、海水中における放射性物質の濃度は、液体廃棄物中の放射性物質の年間放出量及び第9表の核種組成から第10表の復水器冷却水放水口における放射性物質の年間平均濃度を求めて用いた。

液体廃棄物中に含まれる放射性物質（よう素を除く。）に起因する実効線量は約 $5.2 \mu\text{Sv}/\text{y}$ である。

(3) よう素に起因する実効線量

よう素に起因する実効線量の計算は、気体廃棄物中のよう素及び液体廃棄物中のよう素に着目し、これらが吸入、葉菜、牛乳及び海産物を介して、成人、幼児及び乳児にそれぞれ摂取される場合の実効線量を対象に行った。

a. 気体廃棄物中に含まれるよう素に起因する実効線量

よう素の年平均地上空気中濃度の計算は、気体廃棄物中のよう素の年間放出量、気象資料等を用いて行った。

なお、計算地点は、将来の集落の形成を考慮し、排気筒を中心として16方位に分割したうちの11方位、北側については周辺監視区域境界、西側については国道245号線、南側については原子力科学研究所の南側周辺監視区域境界のそれぞれの外側において気体廃棄物中に含まれるよう素の年平均地上空気中濃度が最大となる地点（排気筒から南西約4,400mの地点）とした。

吸入摂取、葉菜摂取及び牛乳摂取による実効線量の計算結果を第11表に示す。

これによれば、気体廃棄物中のよう素の吸入摂取、葉菜摂取及び牛乳摂取による実効線量は、成人で約 $0.06 \mu\text{Sv}/\text{y}$ 、幼児で約 $0.3 \mu\text{Sv}/\text{y}$ 、乳児で約 $0.3 \mu\text{Sv}/\text{y}$ である。

b. 液体廃棄物中に含まれるよう素に起因する実効線量

海水中のよう素濃度は、復水器冷却水放水口における濃度を用いた。

実効線量の計算結果を第 12 表に示す。これによれば、液体廃棄物中に含まれるよう素に起因する実効線量は、海藻類を摂取する場合、成人で約 $0.008 \mu\text{Sv}/\text{y}$ 、幼児で約 $0.03 \mu\text{Sv}/\text{y}$ 、乳児で約 $0.03 \mu\text{Sv}/\text{y}$ である。また、海藻類を摂取しない場合は、成人で約 $0.008 \mu\text{Sv}/\text{y}$ 、幼児で約 $0.02 \mu\text{Sv}/\text{y}$ 、乳児で約 $0.01 \mu\text{Sv}/\text{y}$ である。

c. 気体廃棄物中及び液体廃棄物中に含まれるよう素を同時に摂取する場合の実効線量

実効線量の計算結果を第 12 表に示す。これによれば、気体廃棄物中及び液体廃棄物中に含まれるよう素を同時に摂取する場合の実効線量は、海藻類を摂取する場合、成人で約 $0.01 \mu\text{Sv}/\text{y}$ 、幼児で約 $0.05 \mu\text{Sv}/\text{y}$ 、乳児で約 $0.07 \mu\text{Sv}/\text{y}$ である。また、海藻類を摂取しない場合は、成人で約 $0.07 \mu\text{Sv}/\text{y}$ 、幼児で約 $0.4 \mu\text{Sv}/\text{y}$ 、乳児で約 $0.3 \mu\text{Sv}/\text{y}$ である。

6. 線量の評価結果

将来の集落の形成を考慮し、気体廃棄物中の希ガスの γ 線による実効線量、液体廃棄物中の放射性物質（よう素を除く。）による実効線量並びに気体廃棄物中及び液体廃棄物中に含まれるよう素を同時に摂取する場合の実効線量を評価した結果は、それぞれ約 $2.8 \mu\text{Sv}/\text{y}$ 、約 $5.2 \mu\text{Sv}/\text{y}$ 及び約 $0.4 \mu\text{Sv}/\text{y}$ となり、合計約 $8.4 \mu\text{Sv}/\text{y}$ である。

この値は、「発電用軽水型原子炉施設周辺の線量目標値に関する指針」に示される線量目標値 $50 \mu\text{Sv}/\text{y}$ を下回る。

第1表 換気系における希ガス及びよう素の漏えい係数

核種		換気系		
		タービン建屋	原子炉建屋	廃棄物処理建屋
希ガス		1×10^{-3}	$1 \times 10^{-3} ※$	$1 \times 10^{-3} ※$
よう素	I-131	0.3 (g/s)	0.6 (g/s)	0.2 (g/s)
	I-133	0.2 (g/s)	0.2 (g/s)	0.03 (g/s)

※ Xe-133, Xe-135, Xe-135m 以外の核種は無視する。

第2表 希ガス放出量及び実効エネルギー

放出経路		γ 線実効エネルギー (MeV/dis)	希ガス放出率 (Bq/s)	希ガス放出量 (Bq/y)
空気抽出器		約 5.1×10^{-2}	約 3.2×10^7	約 8.0×10^{14}
真空ポンプ		約 2.5×10^{-1}	—	約 1.4×10^{14}
換気系	タービン建屋	約 8.2×10^{-1}	約 1.1×10^7	約 2.8×10^{14}
	原子炉建屋	約 2.2×10^{-1}	約 3.9×10^6	約 9.8×10^{13}
	廃棄物処理建屋	約 2.2×10^{-1}	約 3.9×10^6	約 9.8×10^{13}
合計		約 $2.5 \times 10^{-1} ※$	—	約 1.4×10^{15}

※ 連続放出分の γ 線平均エネルギー

第3表 よう素の放出量

放出経路		I-131		I-133	
		放出率 (Bq/s)	放出量 (Bq/y)	放出率 (Bq/s)	放出量 (Bq/y)
真空ポンプ		—	約 4.4×10^9	—	約 4.4×10^9
換気系	運転時	約 1.3×10^3	約 3.3×10^{10}	約 3.6×10^3	約 9.0×10^{10}
	定検時	—	約 2.2×10^{10}	—	—
合計		—	約 5.9×10^{10}	—	約 9.4×10^{10}

第4表 風向別大気安定度別風速逆数の総和

(s/m)

大気安定度 風下方位		A	B	C	D	E	F
風向							
N	S	0.87	16.25	4.55	37.61	9.89	63.80
NNE	SSW	2.24	13.49	4.38	83.07	16.23	68.03
NE	SW	6.03	18.32	21.78	185.23	22.49	82.60
ENE	WSW	6.89	32.36	19.96	120.26	13.65	69.80
E	W	9.87	54.23	17.38	65.00	9.12	40.76
ESE	WNW	13.27	38.83	7.53	46.44	8.42	39.56
SE	NW	8.02	35.03	9.96	48.24	5.29	29.15
SSE	NNW	4.56	36.70	10.48	28.84	1.30	25.12
S	N	8.98	41.78	11.59	38.41	5.18	30.20
SSW	NNE	5.17	24.93	3.75	29.47	6.74	41.18
SW	NE	1.93	28.05	2.98	31.49	3.90	45.45
WSW	ENE	5.73	21.45	3.37	35.03	6.34	65.97
W	E	2.08	34.83	5.36	31.55	4.29	69.43
WNW	ESE	6.30	44.31	9.85	44.87	11.69	84.81
NW	SE	1.46	37.02	11.28	68.80	10.15	98.42
NNW	SSE	1.30	17.25	5.37	45.79	15.30	84.99

大気安定度観測点：標高 18m

風向，風速観測点：標高 148m

第5表 風向別大気安定度別風速逆数の平均及び風向別風速逆数の平均

(s/m)

風向	大気安定度		A	B	C	D	E	F	全安定度
	風下方位								
N	S		0.69	0.60	0.38	0.41	0.29	0.43	0.42
NNE	SSW		1.74	0.64	0.31	0.25	0.27	0.43	0.32
NE	SW		0.82	0.45	0.18	0.15	0.28	0.46	0.21
ENE	WSW		0.51	0.40	0.23	0.23	0.29	0.59	0.30
E	W		0.60	0.42	0.24	0.34	0.36	0.68	0.40
ESE	WNW		0.54	0.41	0.25	0.40	0.39	0.93	0.47
SE	NW		0.65	0.46	0.29	0.45	0.47	0.82	0.49
SSE	NNW		0.49	0.33	0.24	0.34	0.42	0.62	0.36
S	N		0.52	0.28	0.18	0.29	0.46	0.45	0.31
SSW	NNE		0.63	0.47	0.27	0.33	0.42	0.42	0.40
SW	NE		0.46	0.44	0.17	0.36	0.23	0.33	0.35
WSW	ENE		0.43	0.37	0.24	0.40	0.30	0.36	0.36
W	E		0.49	0.35	0.19	0.33	0.20	0.35	0.33
WNW	ESE		0.61	0.34	0.18	0.25	0.25	0.33	0.30
NW	SE		0.63	0.36	0.16	0.25	0.19	0.30	0.27
NNW	SSE		0.58	0.49	0.22	0.30	0.22	0.29	0.29

大気安定度観測点：標高 18m

風向，風速観測点：標高 148m

第6表 放出源の有効高さ

(m)

方 位	有効高さ
N	190
N N E	200
N E	195
S E	170
S S E	185
S	210
S S W	180
S W	150
W S W	195
W	205
W N W	205
N W	220
N N W	200

(注1) 表中の方位以外の有効高さについては、上表の有効高さのうち最も低い値を使用する。

(注2) 方位S S Eは海を隔てて比較的近距離のところに陸地が存在するため、有効高さ进行评估した。

第7表 周辺監視区域境界における希ガスの γ 線に起因する実効線量

		東海第二発電所排気筒から 計算地点の方位及び距離 (m)		希ガスの γ 線に起因する 実効線量 ($\mu\text{Sv}/\text{y}$)
		方位	距離	
周辺監視区域境界		W S W	640	約 3.2×10^0
		W	530	約 2.4×10^0
		W N W	600	約 1.8×10^0
		N W	660	約 1.4×10^0
		N N W	890	約 1.1×10^0
		N	850	約 1.3×10^0
		N N E	600	約 1.5×10^0
参考 地点	海 側	N E	360	約 2.2×10^0
		E N E	270	約 3.4×10^0
		E	230	約 4.5×10^0
		E S E	250	約 4.8×10^0
		S E	290	約 4.6×10^0
	原子力科学 研究所側	S S E	350	約 3.0×10^0
		S	330	約 2.5×10^0
		S S W	350	約 4.3×10^0
		S W	430	約 5.5×10^0

※計算地点については、第1図に示す。

第8表 希ガスの γ 線に起因する実効線量

	計算地点の方位	排気筒からの距離 (m)	希ガスの γ 線に起因する実効線量 ($\mu\text{Sv}/\text{y}$)
将来の集落の形成を考慮した地点	NNE	600	約 1.5×10^0
	N	850	約 1.3×10^0
	NNW	890	約 1.1×10^0
	NW	660	約 1.4×10^0
	WNW	600	約 1.8×10^0
	W	660	約 2.1×10^0
	WSW	930	約 2.3×10^0
	SW	1,280	約 2.8×10^0 (最大値)
	SSW	1,690	約 1.0×10^0
	S	1,870	約 5.0×10^{-1}
	SSE	2,900	約 4.8×10^{-1}

※計算地点については、第2図に示す。

第9表 液体廃棄物中に含まれる放射性物質の核種組成

核種	組成 (%)	核種	組成 (%)
C r -51	2	S r -89	2
M n -54	40	S r -90	1
F e -59	7	I -131	2
C o -58	3	C s -134	5
C o -60	30	C s -137	8

第10表 復水器冷却水放水口における放射性物質の年間平均濃度

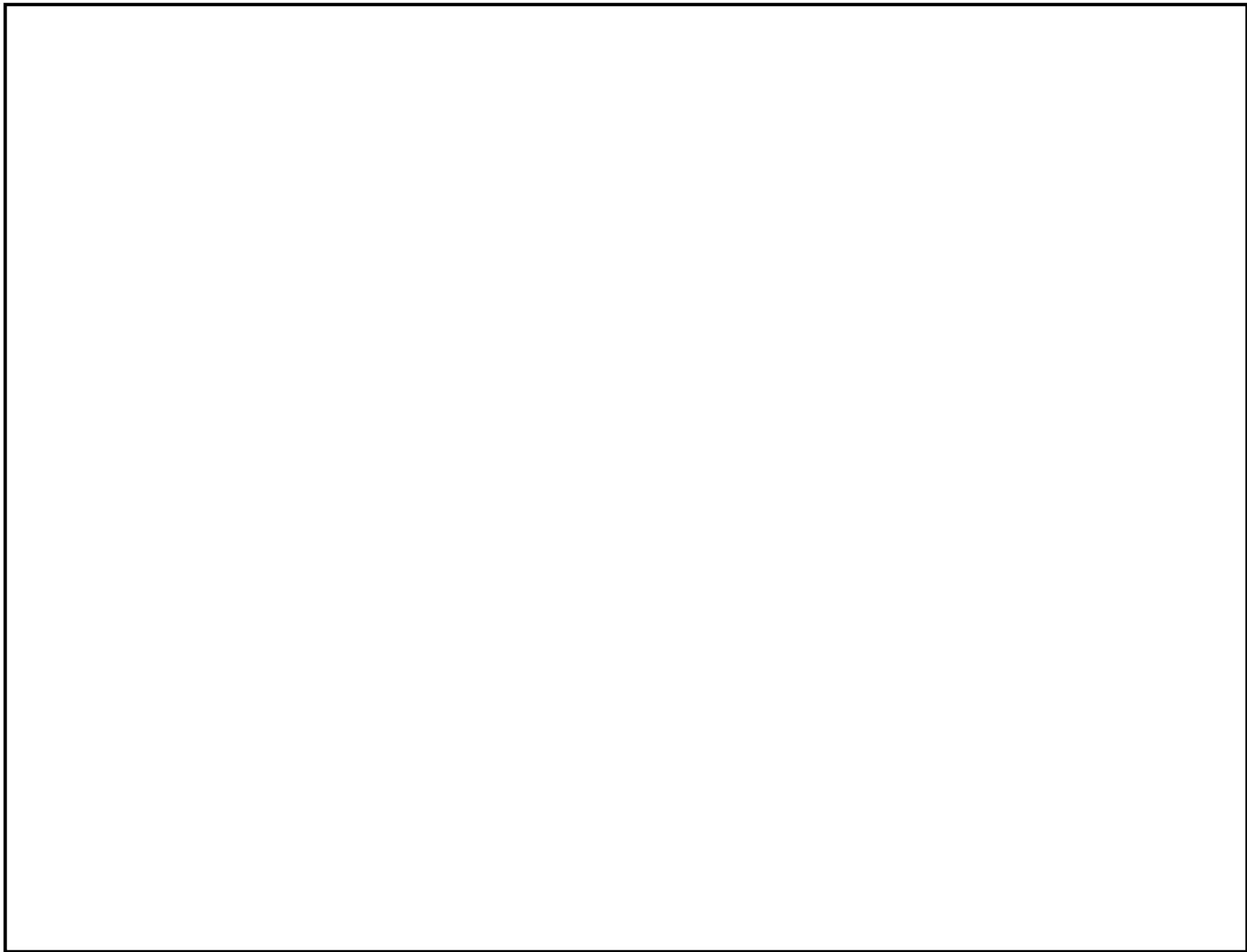
核種	年間平均濃度 (Bq/cm ³)
C r -51	約 4.7×10^{-7}
M n -54	約 9.5×10^{-6}
F e -59	約 1.7×10^{-6}
C o -58	約 7.1×10^{-7}
C o -60	約 7.1×10^{-6}
S r -89	約 4.7×10^{-7}
S r -90	約 2.4×10^{-7}
I -131	約 4.7×10^{-7}
C s -134	約 1.2×10^{-6}
C s -137	約 1.9×10^{-6}
H-3	約 2.4×10^{-3}

第 11 表 気体廃棄物中に含まれるよう素に起因する実効線量

年齢 グループ	摂取 経路	気体廃棄物中に含まれるよう素 に起因する実効線量 ($\mu\text{Sv}/\text{y}$)		
		I-131	I-133	合 計
成人	吸入	約 7.6×10^{-3}	約 2.3×10^{-3}	約 9.9×10^{-3}
	葉菜	約 2.4×10^{-2}	約 1.2×10^{-3}	約 2.5×10^{-2}
	牛乳	約 2.3×10^{-2}	約 5.1×10^{-4}	約 2.3×10^{-2}
	合計	約 5.4×10^{-2}	約 4.0×10^{-3}	約 5.8×10^{-2}
幼児	吸入	約 1.4×10^{-2}	約 5.0×10^{-3}	約 1.9×10^{-2}
	葉菜	約 5.5×10^{-2}	約 3.3×10^{-3}	約 5.9×10^{-2}
	牛乳	約 2.6×10^{-1}	約 7.0×10^{-3}	約 2.7×10^{-1}
	合計	約 3.3×10^{-1}	約 1.5×10^{-2}	約 3.5×10^{-1}
乳児	吸入	約 8.5×10^{-3}	約 3.6×10^{-3}	約 1.2×10^{-2}
	葉菜	約 4.1×10^{-2}	約 2.9×10^{-3}	約 4.4×10^{-2}
	牛乳	約 2.3×10^{-1}	約 8.6×10^{-4}	約 2.3×10^{-1}
	合計	約 2.8×10^{-1}	約 7.4×10^{-3}	約 2.9×10^{-1}

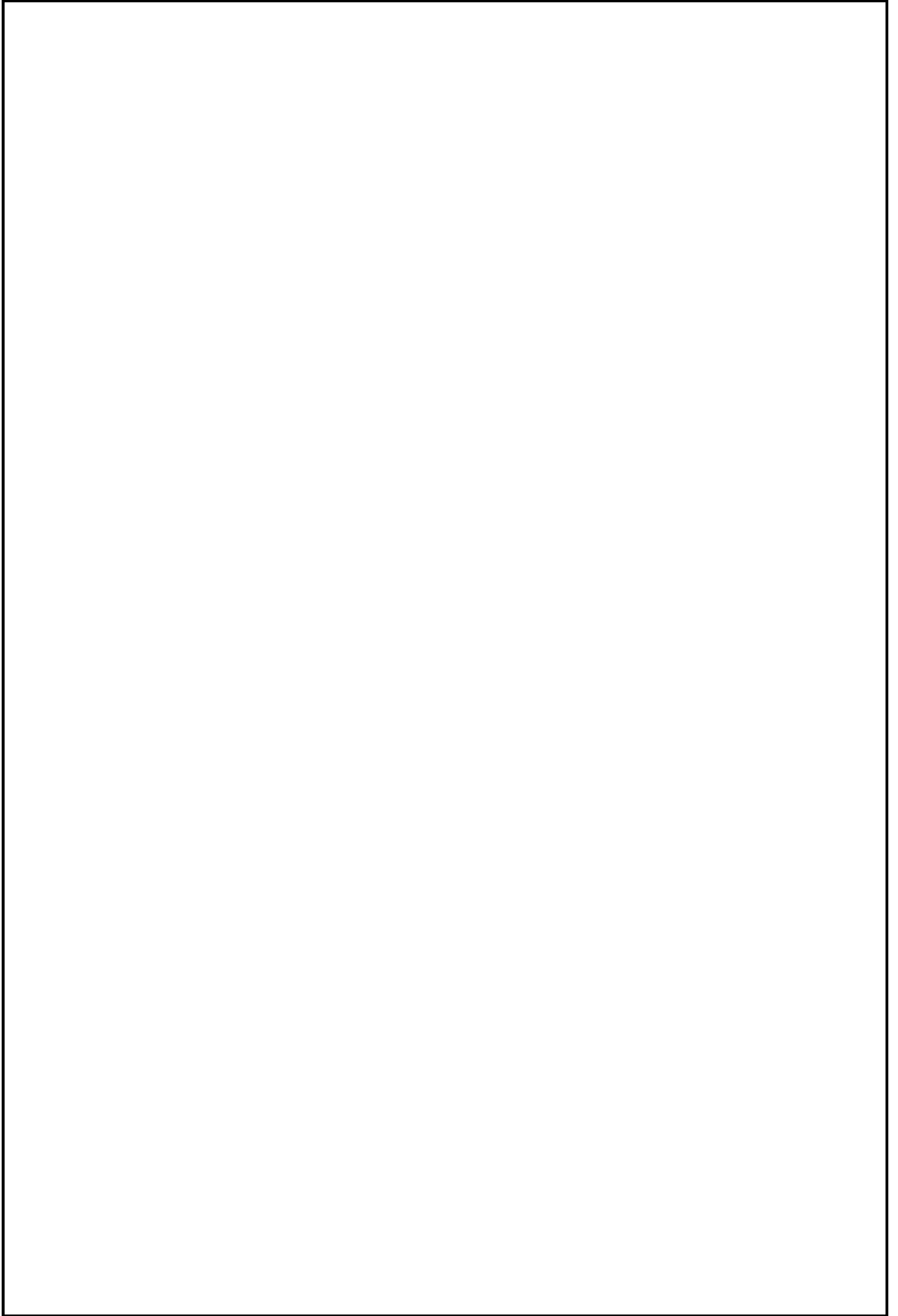
第 12 表 気体廃棄物中及び液体廃棄物中に含まれるよう素に起因する
実効線量

年齢 グループ	液体廃棄物中に含まれるよう素に 起因する実効線量 ($\mu\text{Sv}/\text{y}$)		気体廃棄物中及び液体廃棄物中に 含まれるよう素に起因する実効線 量 ($\mu\text{Sv}/\text{y}$)	
	海藻類を摂取す る場合	海藻類を摂取し ない場合	海藻類を摂取す る場合	海藻類を摂取し ない場合
成人	約 8.5×10^{-3}	約 8.3×10^{-3}	約 1.2×10^{-2}	約 6.6×10^{-2}
幼児	約 2.5×10^{-2}	約 1.9×10^{-2}	約 5.4×10^{-2}	約 3.7×10^{-1} (最大値)
乳児	約 3.2×10^{-2}	約 1.5×10^{-2}	約 7.1×10^{-2}	約 3.0×10^{-1}



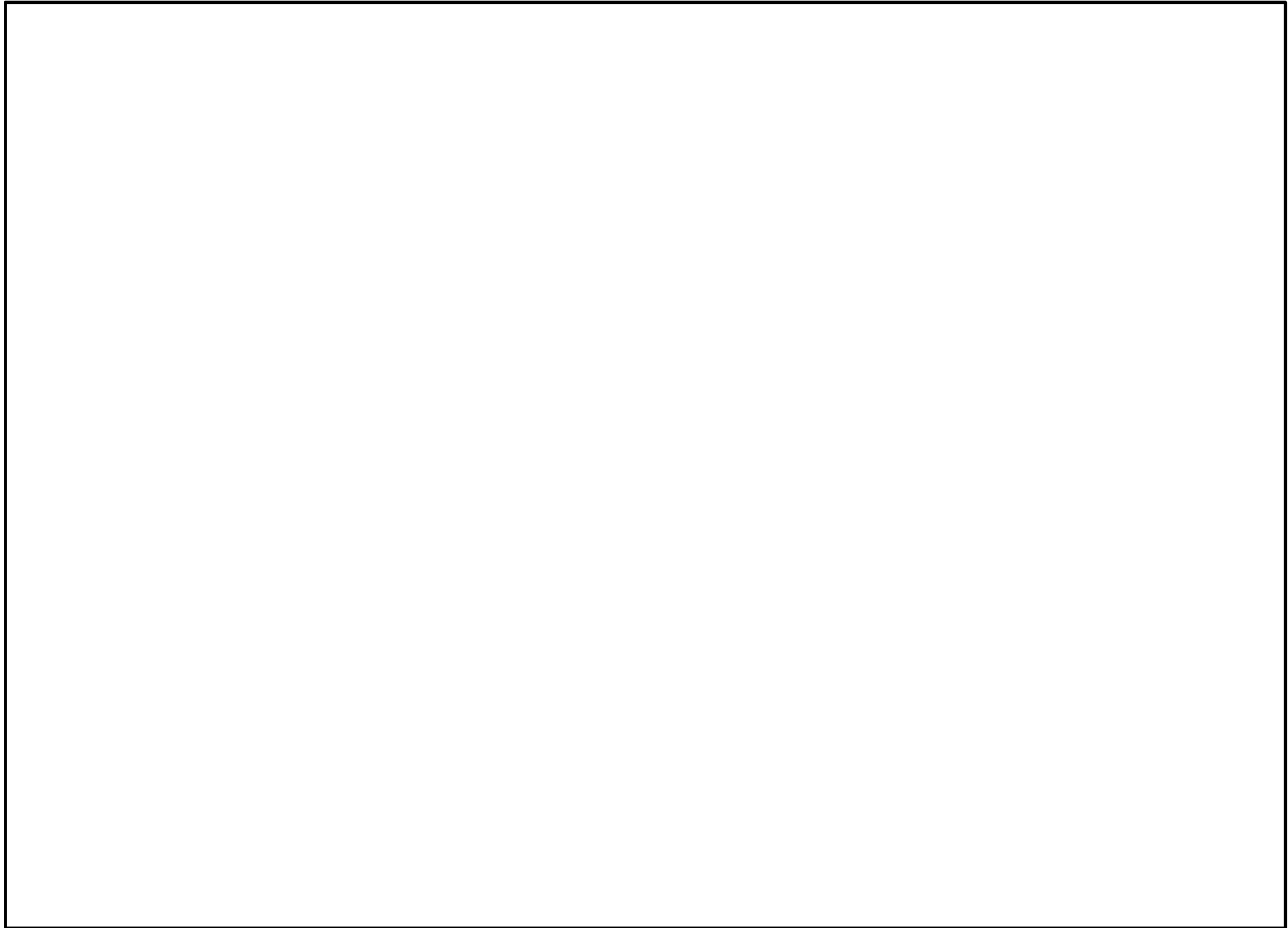
第1図 線量計算地点図（その1）

26 条-別添 2-添 2-32



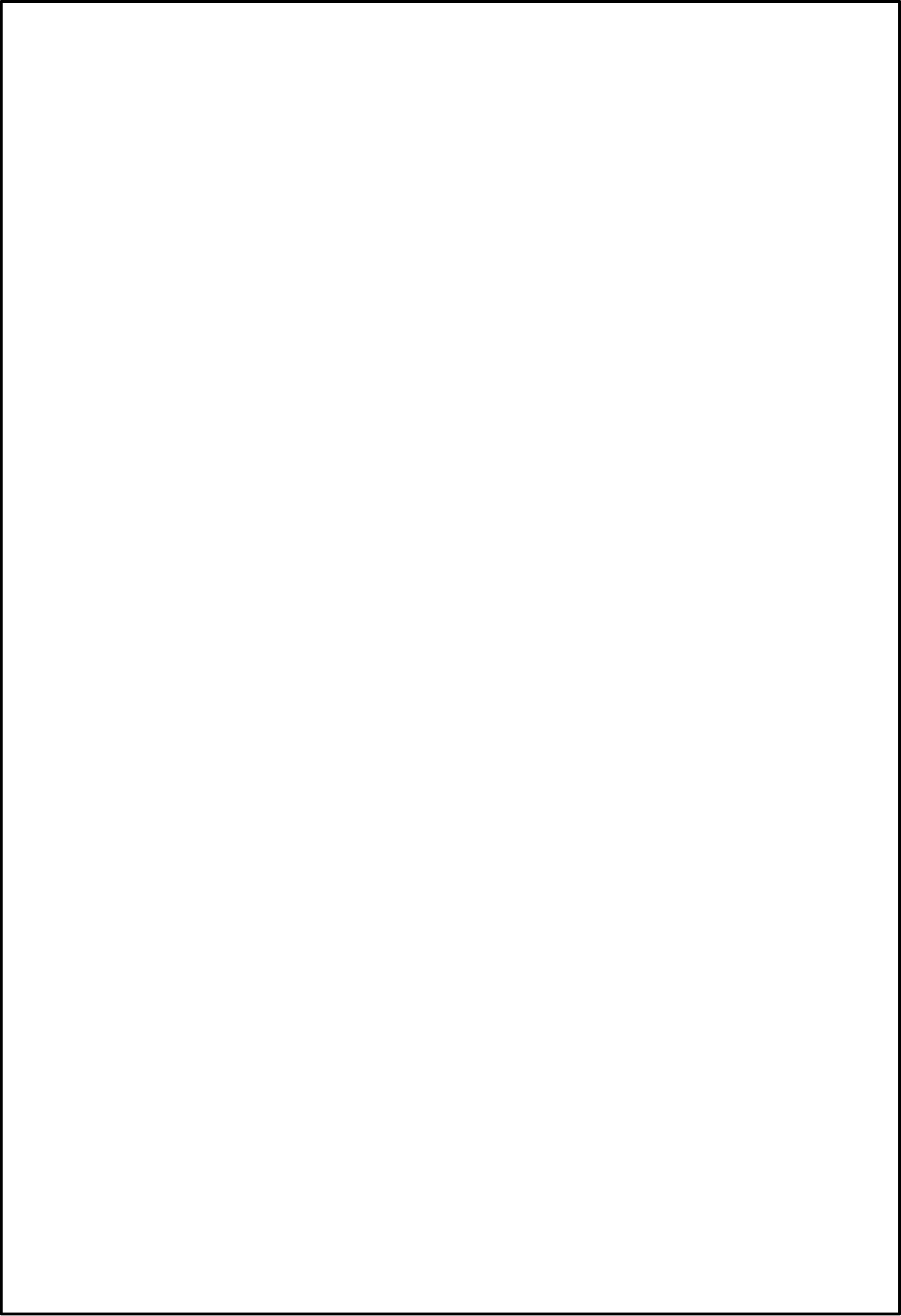
第2図 線量計算地点図 (その2)

26 条-別添 2-添 2-33



第5.1-1図 線量計算地点図 (その1)

26条-別添 2-添 2-34



第 5.1-2 図 線量計算地点図 (その 2)

26 条-別添 2-添 2-35

気象資料の変更等に伴う事故時の線量評価について

1. 概要

東海第二発電所の「事故」の解析に当たっては、「発電用軽水型原子炉施設の安全評価に関する審査指針」(以下「安全評価審査指針」という。)に基づき、原子炉施設から放出される放射性物質による敷地周辺への影響が大きくなる可能性のある事象について、これらの事象が発生した場合における工学的安全施設等の主として「異常影響緩和系」に属する構築物、系統、機器の設計の妥当性を確認する見地から、代表的な事象を選定し、評価を行った。

「事故」の解析のうち、「環境への放射性物質の異常な放出」については、以下の事象を選定し、核分裂生成物の放出量及び実効線量の評価を行った。

今回の申請における変更点は、気象資料の変更に伴う線量評価の変更である。

- (1) 放射性気体廃棄物処理施設の破損
- (2) 主蒸気管破断
- (3) 燃料集合体の落下
- (4) 原子炉冷却材喪失
- (5) 制御棒落下

2. 判断基準

想定された事象が発生した場合、放射性物質の放散に対する障壁の設計が妥当であることを確認する。このことを判断する基準は以下のとおりである。

周辺の公衆に対し、著しい放射線被ばくのリスクを与えないこと。

(実効線量：5mSv 以下)

3. 気象条件

気象条件は、現地における 2005 年 4 月～2006 年 3 月までの観測による気象資料を使用する。また、気象資料及び風洞実験（東海第二発電所大気拡散風洞実験報告書（平成 25 年 12 月，三菱重工業株式会社））から求めた放出源の有効高さを第 1 表に示す。

観測された気象データの風向，風速，大気安定度，実効放出継続時間及び放出源の有効高さ等に基づき，陸側方位における非居住区域境界以遠で最大の相対濃度（ χ/Q ）及び相対線量（ D/Q ）を求め，これらを用いて各種事故の線量評価を行う。

第 1 表 放出源の有効高さ

(m)

方 位	有効高さ
N	105
N N E	95
N E	海側
E N E	海側
E	海側
E S E	海側
S E	海側
S S E	115
S	105
S S W	100
S W	110
W S W	110
W	115
W N W	105
N W	105
N N W	105

4. 評価結果

各種事故（環境への放射性物質の異常な放出）における核分裂生成物の放出量，大気拡散条件，実効線量の評価結果等を第2表に示す。

第2表 各種事故時の放出量，大気拡散条件，実効線量の評価結果等について

		放射性気体 廃棄物処理 施設の破損	主蒸気管 破断	燃料集合体 の落下	原子炉 冷却材喪失	制御棒落下
核分裂生成物 放出量	希ガス [γ 線 0.5MeV 換算値] (Bq)	約 6.2×10^{14}	主蒸気隔離弁 閉止前 ^{※1} 約 9.9×10^{12}	約 3.1×10^{14}	約 4.0×10^{12}	約 2.1×10^{13}
			主蒸気隔離弁 閉止後 ^{※1} 約 3.4×10^{12}			
よう素 [I-131 等価量] (Bq)		—	主蒸気隔離弁 閉止前 約 1.8×10^{11}	約 6.1×10^{10}	約 4.8×10^9	約 1.8×10^{11}
			主蒸気隔離弁 閉止後 約 1.1×10^{10}			
大気拡散 条件	相対線量 D/Q (Gy/Bq)	約 8.5×10^{-20}	約 4.4×10^{-19}	約 5.1×10^{-20}	約 4.5×10^{-20}	約 5.1×10^{-20}
	相対濃度 χ /Q (s/m ³)	—	約 1.4×10^{-5}	約 2.0×10^{-6}	約 8.0×10^{-7}	約 8.5×10^{-7}
放出位置		排気筒	タービン 建屋	排気筒	排気筒	排気筒
実効放出 継続時間 (hr)	希ガス	1	1	15	24	12
	よう素	—	20	5	24	24
実効線量 (mSv)		約 5.3×10^{-2}	約 1.8×10^{-1}	約 1.8×10^{-2}	約 2.7×10^{-4}	約 3.2×10^{-3}
判断基準		周辺の公衆に対し，著しい放射線被ばくのリスクを与えないこと。 (実効線量 ≤ 5 mSv) ^{※2}				

※1：ハロゲン等を含む（よう素も含み，外部被ばくによる実効線量評価の観点から取り扱っている。）。

※2：「安全評価審査指針」解説中の値

5. 各事象の詳細説明

(1) 放射性気体廃棄物処理施設の破損

a. 原因

原子炉の出力運転中に、何らかの原因により放射性気体廃棄物処理施設が破損した場合には、破損箇所から放射性気体廃棄物が漏えいし、放射性物質が環境へ放出される可能性がある。

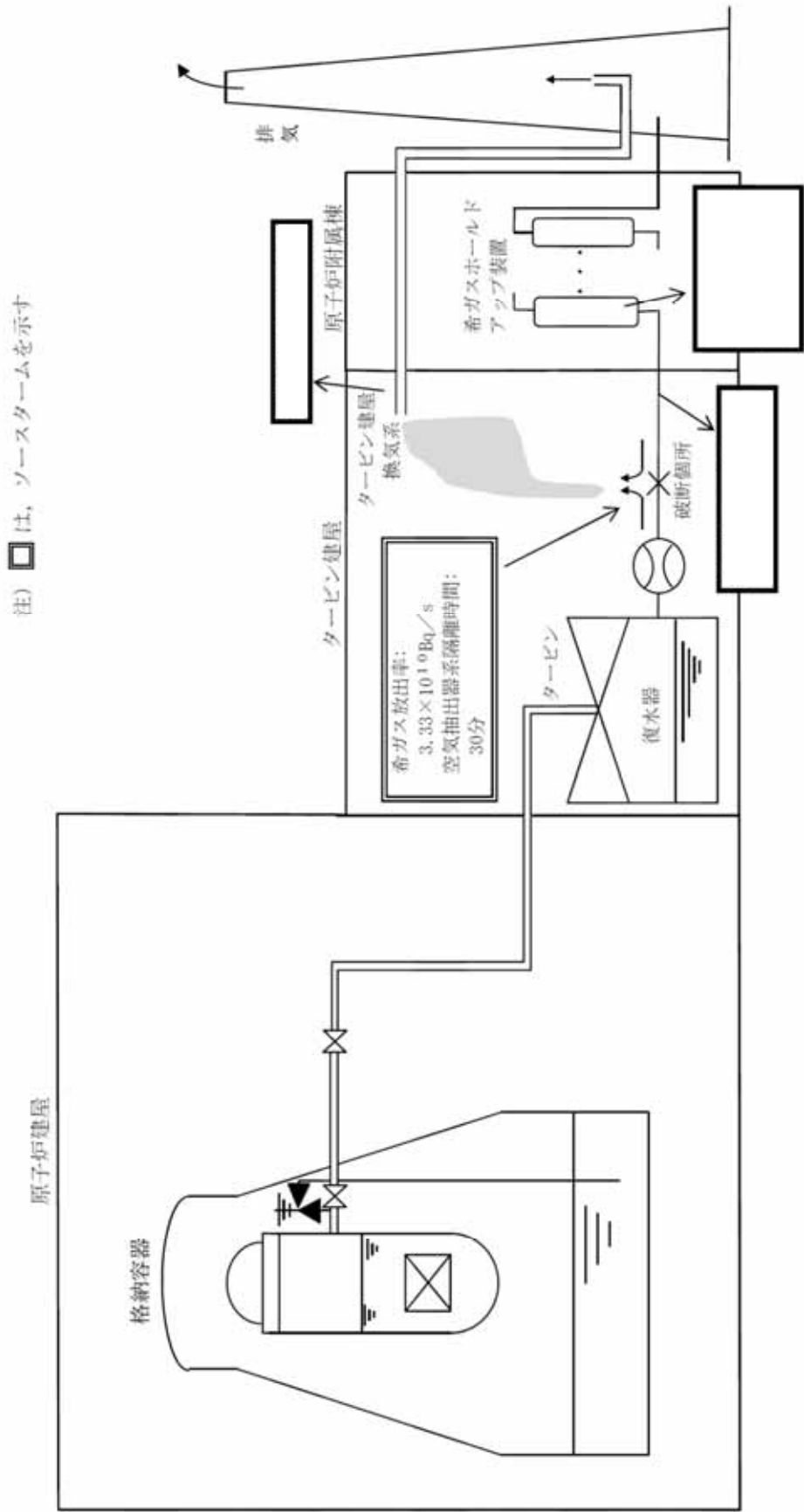
b. 評価条件及び評価結果

放射性気体廃棄物処理施設破損時の評価条件及び評価結果を第3表に示す。

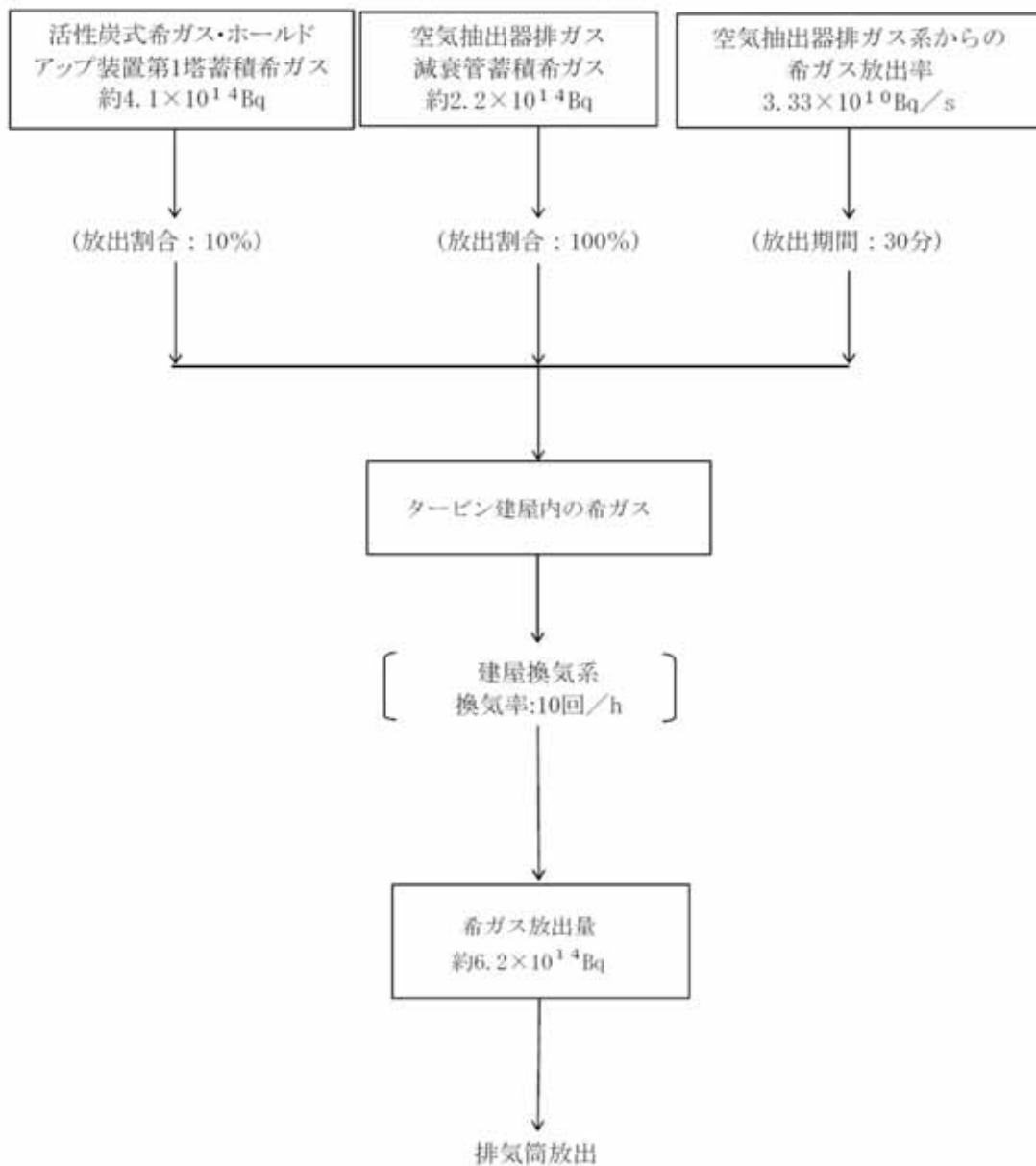
また、放射性気体廃棄物処理施設破損時の核分裂生成物の放出経路の概略を第1図に、希ガスが大気中に放出されるまでの過程を第2図に示す。

第3表 放射性廃棄物処理施設破損時の評価条件及び評価結果

解析件名 項目		放射性気体廃棄物処理施設の破損（事故）	
		評価値	選定理由
評価条件	①空気抽出器排ガス系の希ガス放出率	$3.33 \times 10^{10} \text{Bq/s}$	運転上の制限値であるI-131濃度から求まる値
	②空気抽出器排ガス減衰管 希ガスの放出割合	100%	安全側に100%とする。
	③ホールドアップ装置 第1塔内希ガスの放出割合	10%	安全側に10%とする。
	④空気抽出器排ガス系の隔離時間	30分	運転員が操作に要する時間に余裕を見た値
	⑤建屋換気率	10回/h	設計値に余裕を見た値
	⑥放出位置	排気筒	高所放出を仮定
	⑦単一故障	考慮しない	本事故に対して作動を要求される安全系がないため、考慮しない。
	⑧核分裂生成物の大気拡散	D/Q	$8.5 \times 10^{-20} \text{Gy/Bq}$
評価結果	項目	結果	判断基準への適合性
	希ガス放出量 (γ 線0.5MeV換算値)	約 $6.2 \times 10^{14} \text{Bq}$	周辺の公衆に対し、著しい放射線被ばく のリスクを与えることはなく、判断 基準を満足する。
	実効線量	約 $5.3 \times 10^{-2} \text{mSv}$	



第1図 放射性廃棄物処理施設破損時の核分裂生成物の放出経路



第2図 放射性廃棄物処理施設破損時の希ガスの大気放出過程
(ガンマ線 0.5MeV 換算値)

(2) 主蒸気管破断

a. 原因

原子炉の出力運転中に、何らかの原因により原子炉格納容器（以下「格納容器」という。）外で主蒸気管が破断した場合には、破断口から原子炉冷却材（以下「冷却材」という。）が流出し、放射性物質が環境へ放出される可能性がある。

b. 評価条件及び評価結果

主蒸気管破断時の評価条件及び評価結果を第4表に示す。

また、主蒸気管破断時の核分裂生成物の放出経路の概略を第3図に、希ガス及びハロゲン等が大気中に放出されるまでの過程を第4図及び第5図に示す。

第4表 主蒸気管破断時の評価条件及び評価結果 (1/2)

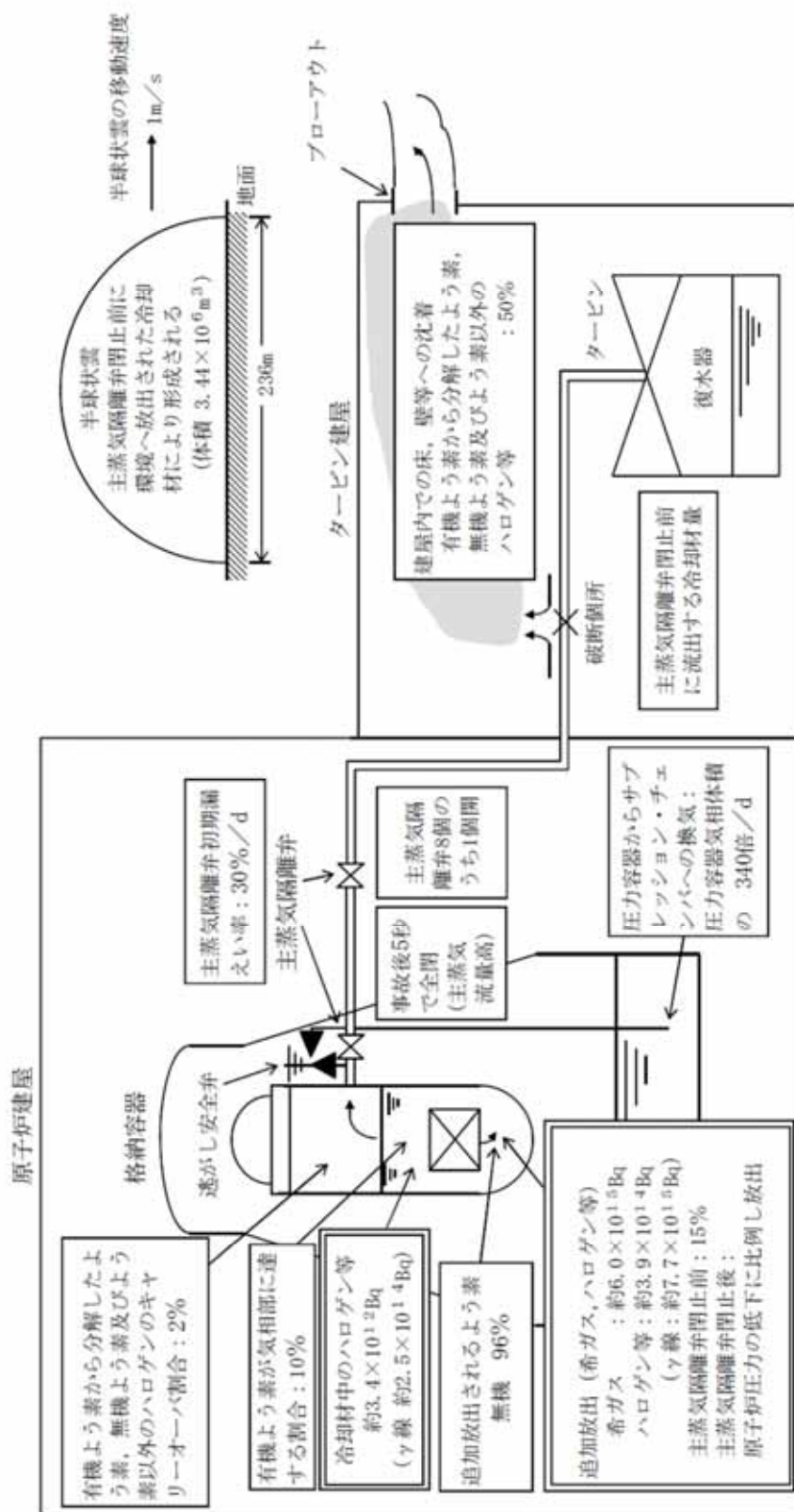
項目		解析件名		主蒸気管破断 (事故)	
				評価値	選定理由
評 価 条 件	①冷却材流出量		約35t		解析結果による
	②冷却材中のハロゲン等濃度		I-131を約 4.6×10^3 Bq/gとし、それに応じ他のハロゲン等の組成を拡散組成として考慮		運転上許容される最大値
	③燃料棒から追加放出される核分裂生成物の量		I-131を 2.22×10^4 Bqとし、それに応じ他の核分裂生成物の組成を平衡組成として考慮、希ガスについてはヨウ素の2倍とする		実測値の平均値に適切な余裕をみた値
	④主蒸気隔離弁閉止前に破断口より放出される追加放出核分裂生		0%		解析結果による
	⑤燃料棒から追加放出されるヨウ素のうち有機ヨウ素の割合		4%		指針による (注)指針とは「安全評価審査指針」を示す。以下同じ
	⑥有機ヨウ素が気相部に達する割合		10%		指針による
	⑦有機ヨウ素から分解したヨウ素、無機ヨウ素及びヨウ素以外のハロ		2%		指針による
	⑧主蒸気隔離弁漏えい率		30%/d (初期値、以後圧力・温度依存)		設計漏えい率10%/d (1弁当たり) に基づき、1弁開を仮定
	⑨主蒸気隔離弁からの漏えい期間		24時間		指針による
	⑩原子炉圧力容器 (以下「圧力容器」という。) からサブプレッション・チェンバへの換気率		圧力容器気相体積の340倍/d		崩壊熱相当の蒸気がサブプレッション・チェンバ内のプール水中に移行する割合を等価的に表した値
	⑪タービン建屋内で床、壁等に沈着する割合		有機ヨウ素から分解したヨウ素、無機ヨウ素及びヨウ素以外のハロゲン等：50% 希ガス及び有機ヨウ素：0%		指針による
	⑫放出位置		タービン建屋		地上放散を仮定
	⑬単一故障		主蒸気隔離弁 1弁		放射能閉じ込め機能の観点から単一故障を仮定
	⑭核分裂生成物の大気拡散	主蒸気隔離弁閉止前		半球状雲 直径236m 移動速度 風速1m/s	
主蒸気隔離弁閉止後		D/Q	4.4×10^{-19} Gy/Bq		気象指針に従って算出
		χ/Q	1.4×10^{-5} s/m ³		

第4表 主蒸気管破断時の評価条件及び評価結果 (2/2)

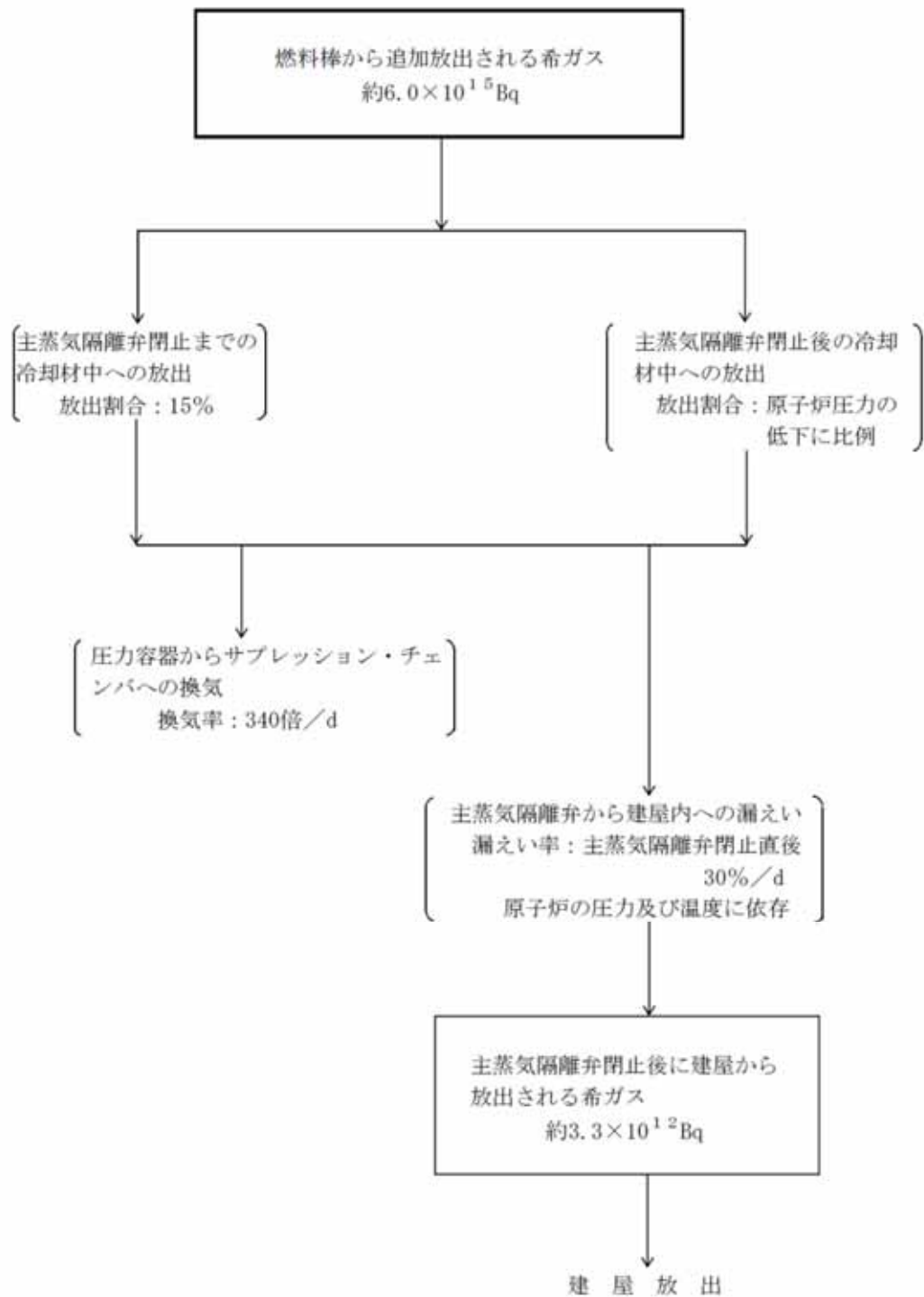
評価結果	項目	結果			判断基準への適合性
		主蒸気隔離弁閉止前	主蒸気隔離弁閉止後	計	
評価結果	希ガス及びハロゲン等* 放出量 (γ 線0.5MeV換算値)	約 9.9×10^{12} Bq	約 3.4×10^{12} Bq	約 1.3×10^{13} Bq	周辺の公衆に対し、著しい放射線被ばくのリスクを与えることはなく、判断基準を満足する。
	よう素放出量 (I-131等価量)	約 1.8×10^{11} Bq	約 1.1×10^{10} Bq	約 1.9×10^{11} Bq	
	実効線量	約 1.8×10^{-1} mSv	約 2.6×10^{-3} mSv	約 1.8×10^{-1} mSv	

*よう素も含み、外部被ばくによる実効線量評価の観点から取り扱っている。

注) □ は、ゾースタームを示す

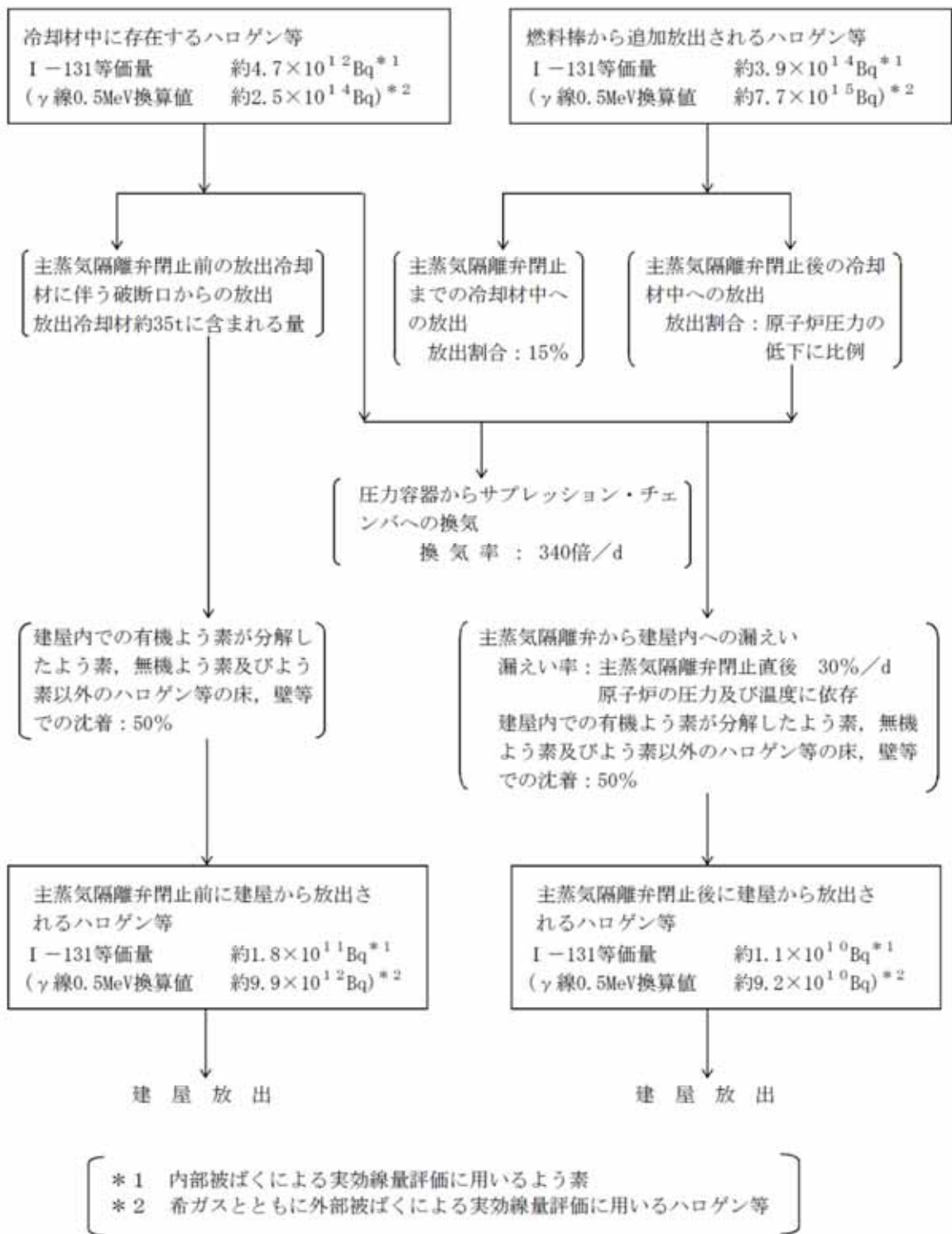


第3図 主蒸気管破断時の核分裂生成物の放出経路



第 4 図 主蒸気管破断時の希ガスの大気放出過程

(ガンマ線 0.5MeV 換算値)



第5図 主蒸気管破断時のハロゲン等の大気放出過程
(I-131 等価量)

(3) 燃料集合体の落下

a. 原因

原子炉の燃料交換時に、燃料取扱装置の故障、破損等により燃料集合体が落下して破損し、放射性物質が環境へ放出される可能性がある。

b. 評価条件及び評価結果

燃料集合体の落下時の評価条件及び評価結果を第5表に示す。

また、燃料集合体の落下時の核分裂生成物の放出経路の概略を第6図に、希ガス及びイオン素が大気中に放出されるまでの過程を第7図及び第8図に示す。

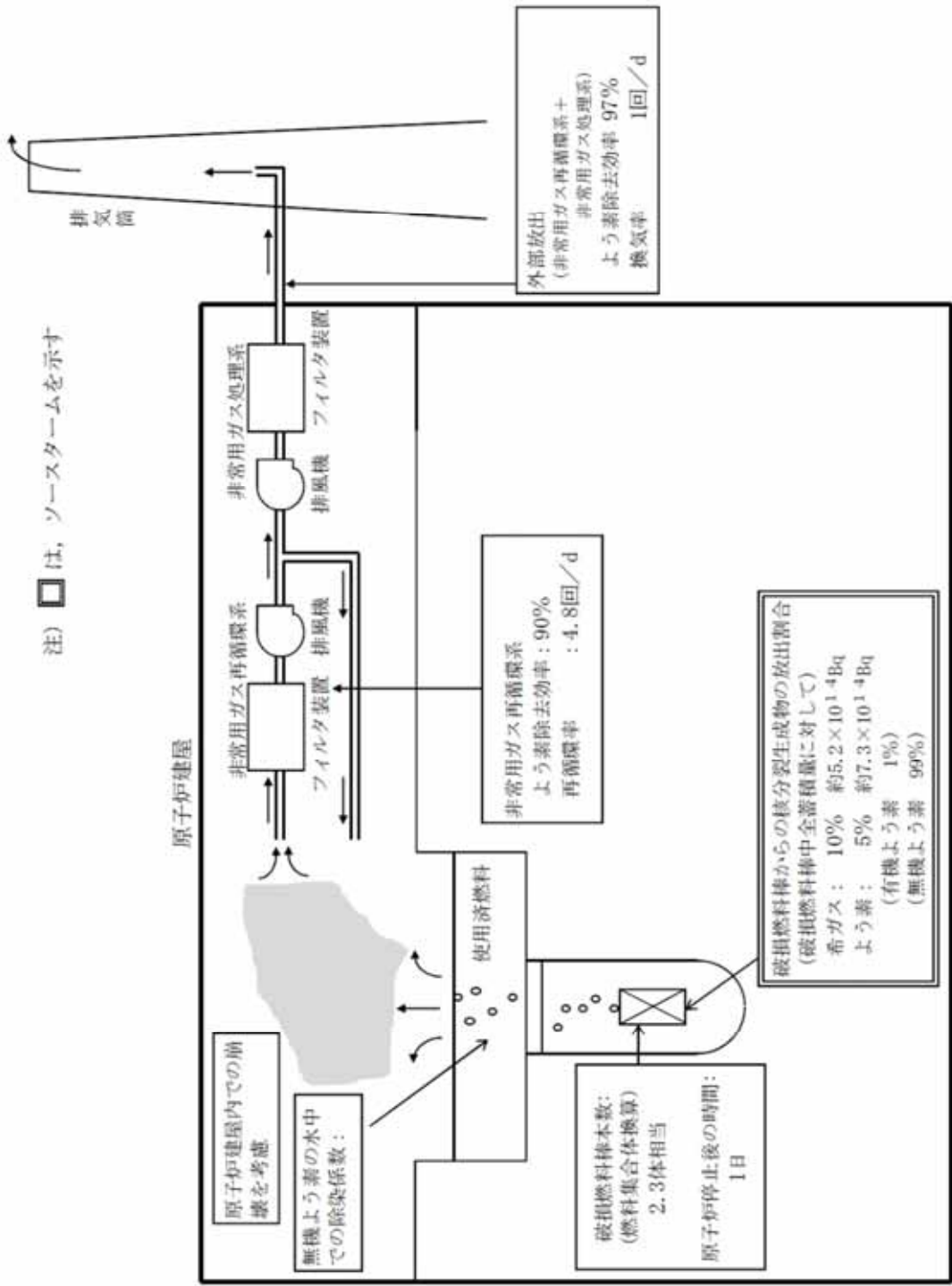
第5表 燃料集合体の落下時の評価条件及び評価結果 (1/2)

項目		解析件名	燃料集合体の落下	
			評価値	選定理由
評 価 条 件	①原子炉停止前までの原子炉熱出力		3,440MW	定格出力の約105%
	②原子炉運転時間		2,000日	燃料の平均炉内滞在日数に余裕をみた値
	③原子炉停止から事故発生までの時間		1日	通常は原子炉停止数日後に燃料交換作業を行うが保守的に1日を仮定
	④破損燃料棒本数		2.3体相当 (燃料集合体換算)	解析結果に余裕をみた値
	⑤破損燃料棒から放出される核分裂生成物の割合		希ガス 10% よう素 5%	燃料棒ギャップ中核分裂生成物の計算値に余裕をみた値
	⑥有機よう素の割合		1%	実験結果に基づいた保守的な値
	⑦無機よう素の水中での除染係数		500	指針による
	⑧非常用ガス再循環系		よう素除去効率 90% 再循環率 4.8回/d	設計値
	⑨非常用ガス処理系 (外部放出)		よう素除去効率 97% 換気率 1回/d	設計値
	⑩放出位置		排気筒	高所放出を仮定
	⑪単一故障		原子炉建屋ガス処理系1系統*	放射能閉じ込め機能の観点から単一故障を仮定
	⑫核分裂生成物の大気拡散	D/Q		$5.1 \times 10^{-20} \text{ Gy/Bq}$
χ/Q			$2.0 \times 10^{-6} \text{ s/m}^3$	

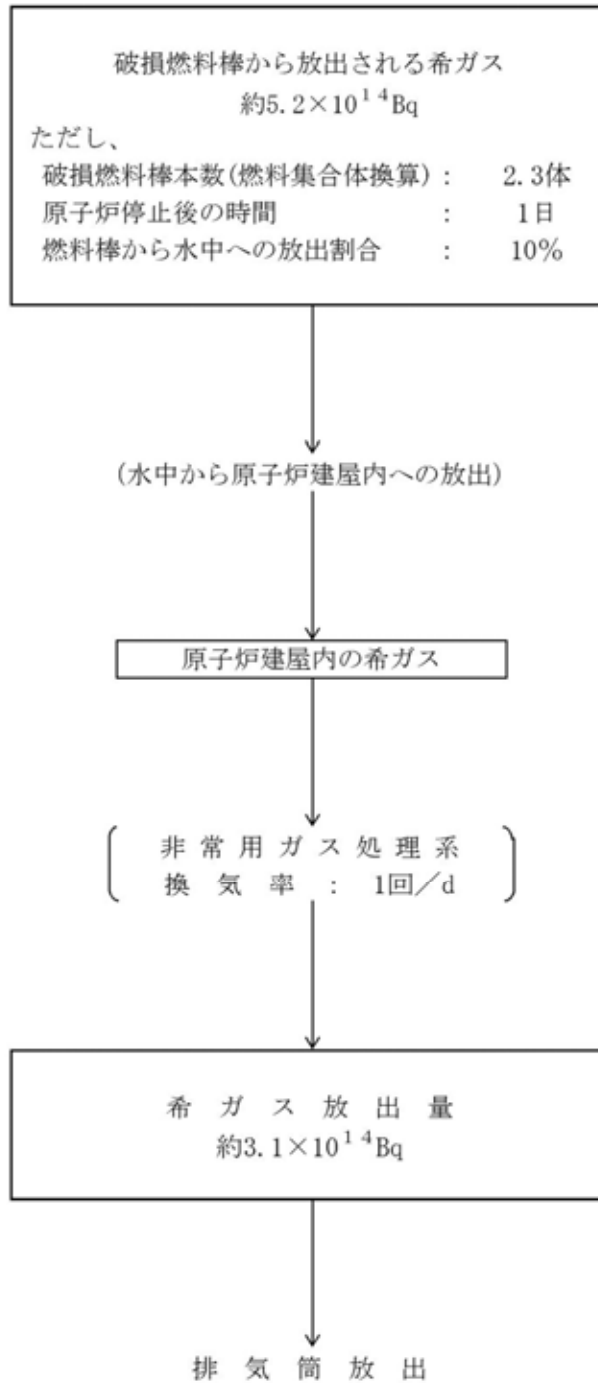
*非常用ガス再循環系及び非常用ガス処理系

第 5 表 燃料集合体の落下時の評価条件及び評価結果 (2/2)

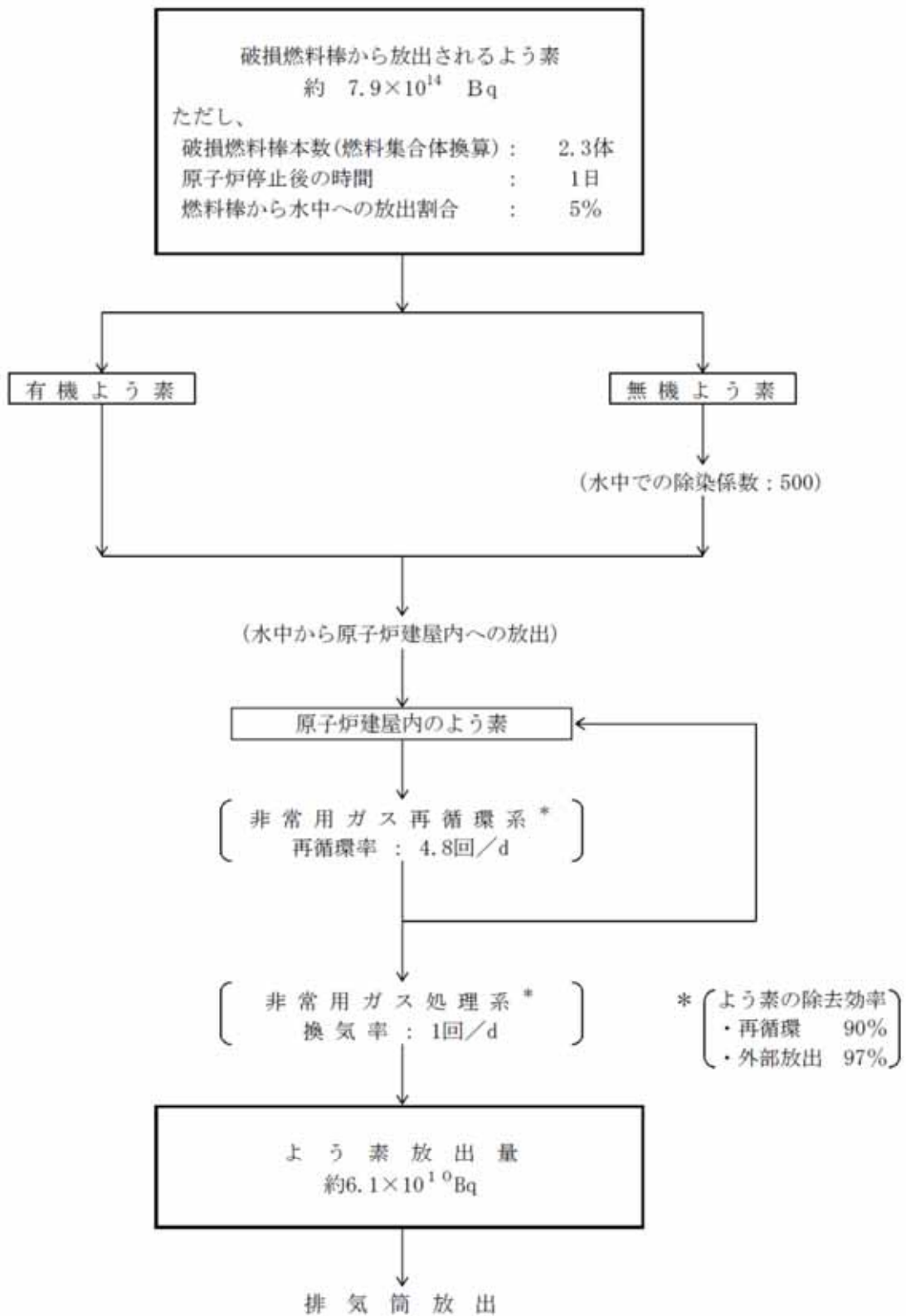
評価結果	項目	結果	判断基準への適合性
評価	希ガス放出量 (γ線0.5MeV換算値)	約 3.1×10^{14} Bq	周辺の公衆に対し、著しい放射線被ばくのリスクを与えることはなく、判断基準を満足する
結果	よう素放出量 (I-131等価量)	約 6.1×10^{10} Bq	
果	実効線量	約 1.8×10^{-2} mSv	



第6図 燃料集合体の落下時の核分裂生成物の放出経路



第7図 燃料集合体の落下時の希ガスの大気放出過程
(ガンマ線 0.5MeV 換算値)



第8図 燃料集合体の落下時のよう素の大気放出過程

(I-131 等価量)

(4) 原子炉冷却材喪失

a. 原因

原子炉の出力運転中に、何らかの原因により原子炉冷却材圧力バウンダリを構成する配管あるいはこれに付随する機器等の破損等により、原子炉冷却材が系外に流出し、放射性物質が環境へ放出される可能性がある。

b. 評価条件及び評価結果

原子炉冷却材喪失時の評価条件及び評価結果を第 6 表に示す。

また、原子炉冷却材喪失時の核分裂生成物の放出経路の概略を第 9 図に、希ガス及びヨウ素が大気中に放出されるまでの過程を第 10 図及び第 11 図に示す。

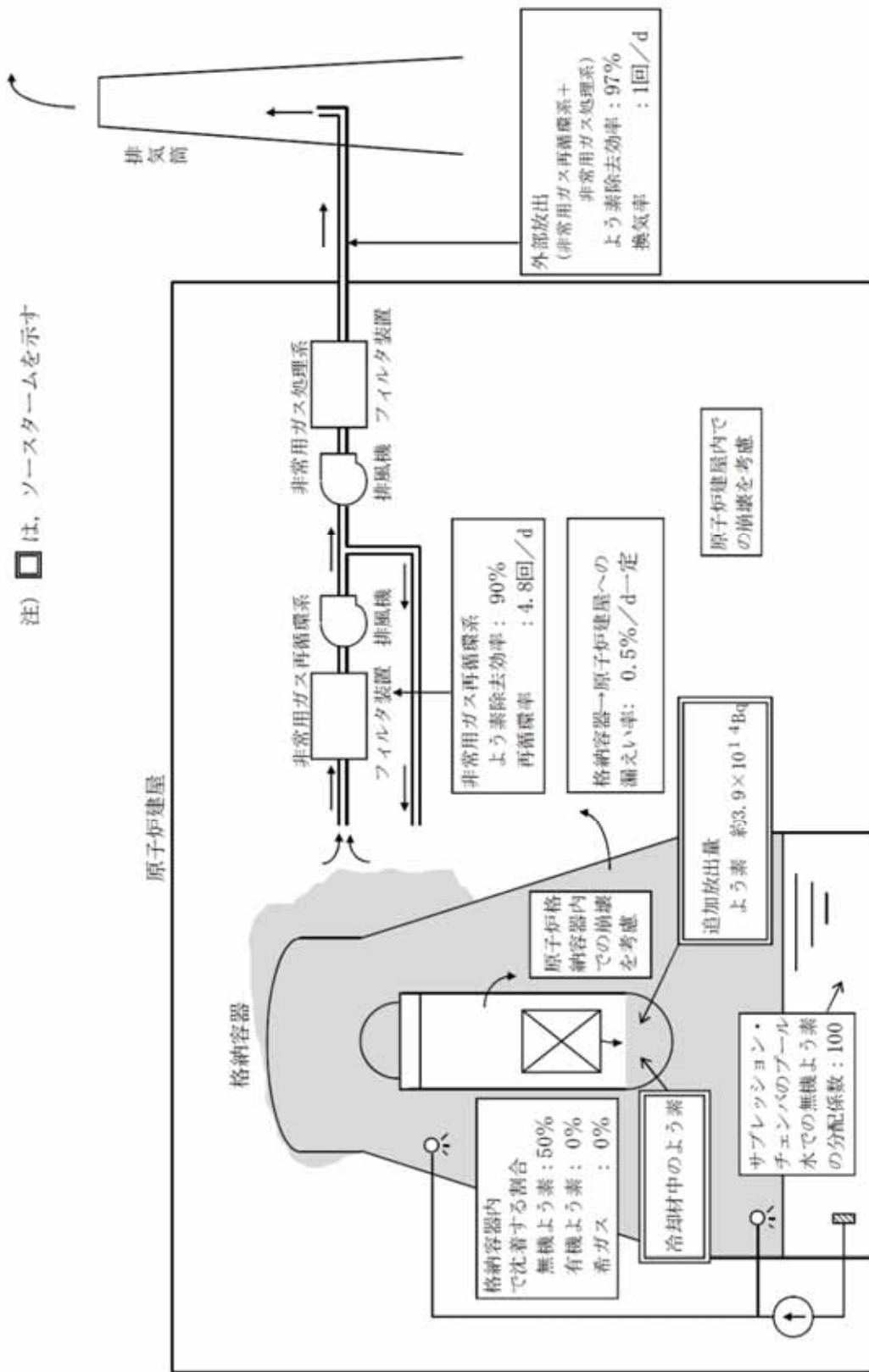
第6表 原子炉冷却材喪失の評価条件及び評価結果 (1/2)

項目		解析件名	原子炉冷却材喪失 (事故)	
			評価値	選定理由
評価条件	①事故直前の原子炉熱出力		3,440MW	定格出力の約105%
	②原子炉運転時間		2,000日	燃料の平均炉内滞在日数に余裕をみた値
	③冷却材中のよう素濃度		I-131を約 $4.6 \times 10^3 \text{Bq/g}$ とし、それに応じ他のよう素の組成を拡散組成として考慮	運転上許容される最大値
	④新たな燃料破損		なし	解析結果による
	⑤燃料棒から追加放出される核分裂生成物の量		I-131を $2.22 \times 10^{14} \text{Bq}$ とし、それに応じ他のよう素及び希ガスの組成を平衡組成として考慮、希ガスについてはよう素の2倍とする	実測値の平均値に適切な余裕をみた値
	⑥有機よう素の割合		4%	指針による
	⑦格納容器内での無機よう素の沈着する割合		50%	指針による
	⑧サプレッション・チェンバのプール水への分配係数		無機よう素 100 有機よう素 0 希ガス 0	実験結果による
	⑨格納容器漏えい率		0.5%/d一定	設計上定められた最大値で一定を仮定
	⑩格納容器内、原子炉建屋内での崩壊		考慮する	漏えいまでの崩壊を考慮
	⑪事故評価期間		無限期間	保守的に無限期間を仮定
	⑫非常用ガス再循環系		よう素除去効率 90% 再循環率 4.8回/d	設計値
	⑬非常用ガス処理系 (外部放出)		よう素除去効率 97% 換気率 1回/d	設計値
	⑭放出位置		排気筒	高所放出を仮定
	⑮単一故障		原子炉建屋ガス処理系1系統*	放射能閉じ込め機能の観点から単一故障を仮定
	⑯核分裂生成物の大気拡散	D/Q	$4.5 \times 10^{-20} \text{Gy/Bq}$	気象指針に従って算出
α/Q		$8.0 \times 10^{-7} \text{s/m}^3$		

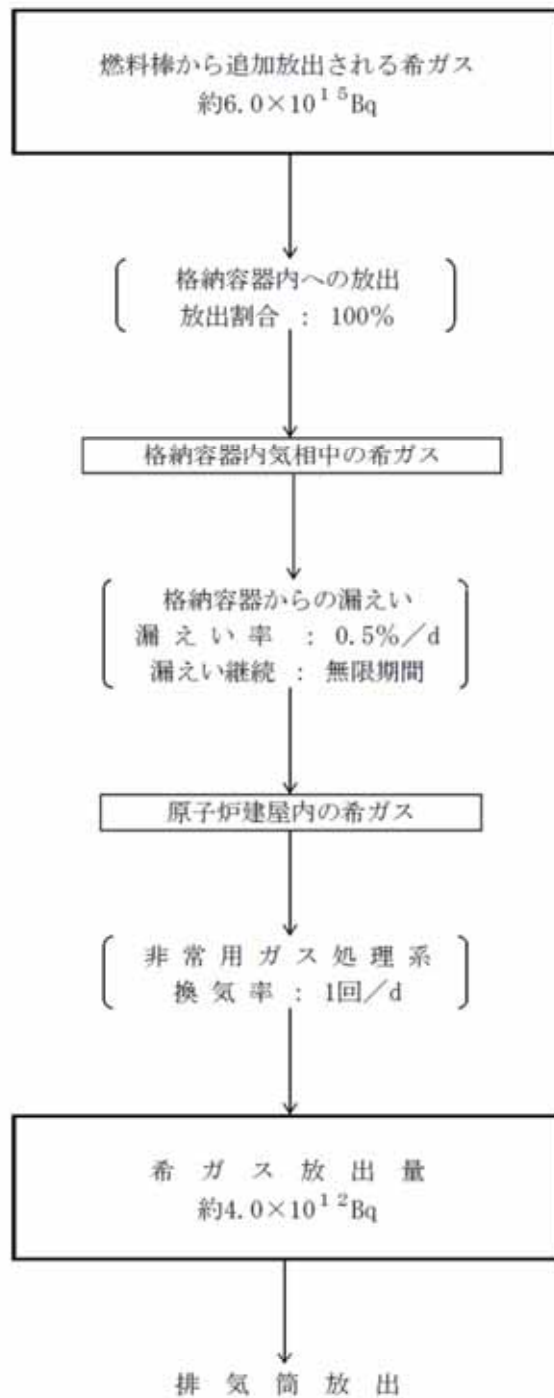
*非常用ガス再循環系及び非常用ガス処理系

第6表 原子炉冷却材喪失の評価条件及び評価結果 (2/2)

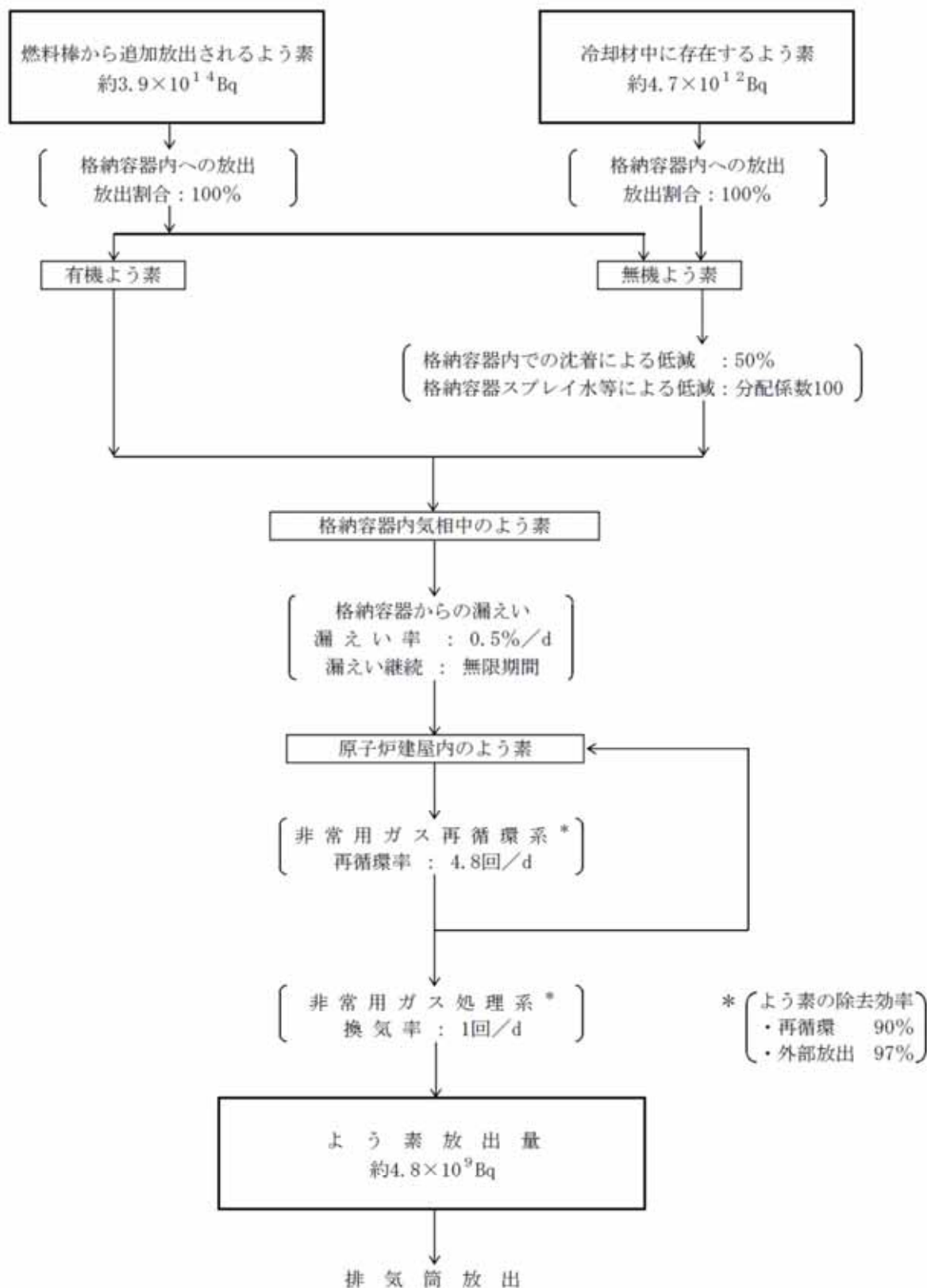
評 価 結 果	項 目	結 果	判断基準への適合性
希ガス放出量 (γ線0.5MeV換算値)		約 4.0×10^{12} Bq	周辺の公衆に対し、著しい放射線被ばく のリスクを与えることはなく、判断 基準を満足する。
よう素放出量 (I-131等価量)		約 4.8×10^9 Bq	
実効線量		約 2.7×10^{-4} mSv	



第9図 原子炉冷却材喪失時の核分裂生成物の放出経路



第 10 図 原子炉冷却喪失時の希ガスの大気放出過程
(ガンマ線 0.5MeV 換算値)



第 11 図 原子炉冷却材喪失時のよう素の大気放出過程
(I-131 等価量)

(5) 制御棒落下

a. 原因

原子炉が臨界又は臨界近傍にあるとき、制御棒駆動軸から分離した制御棒が炉心から落下し、急激な反応度投入と出力分布変化が生じ、燃料棒が破損し、放射性物質が環境へ放出される可能性がある。

b. 評価条件及び評価結果

制御棒落下時の評価条件及び評価結果を第 7 表に示す。

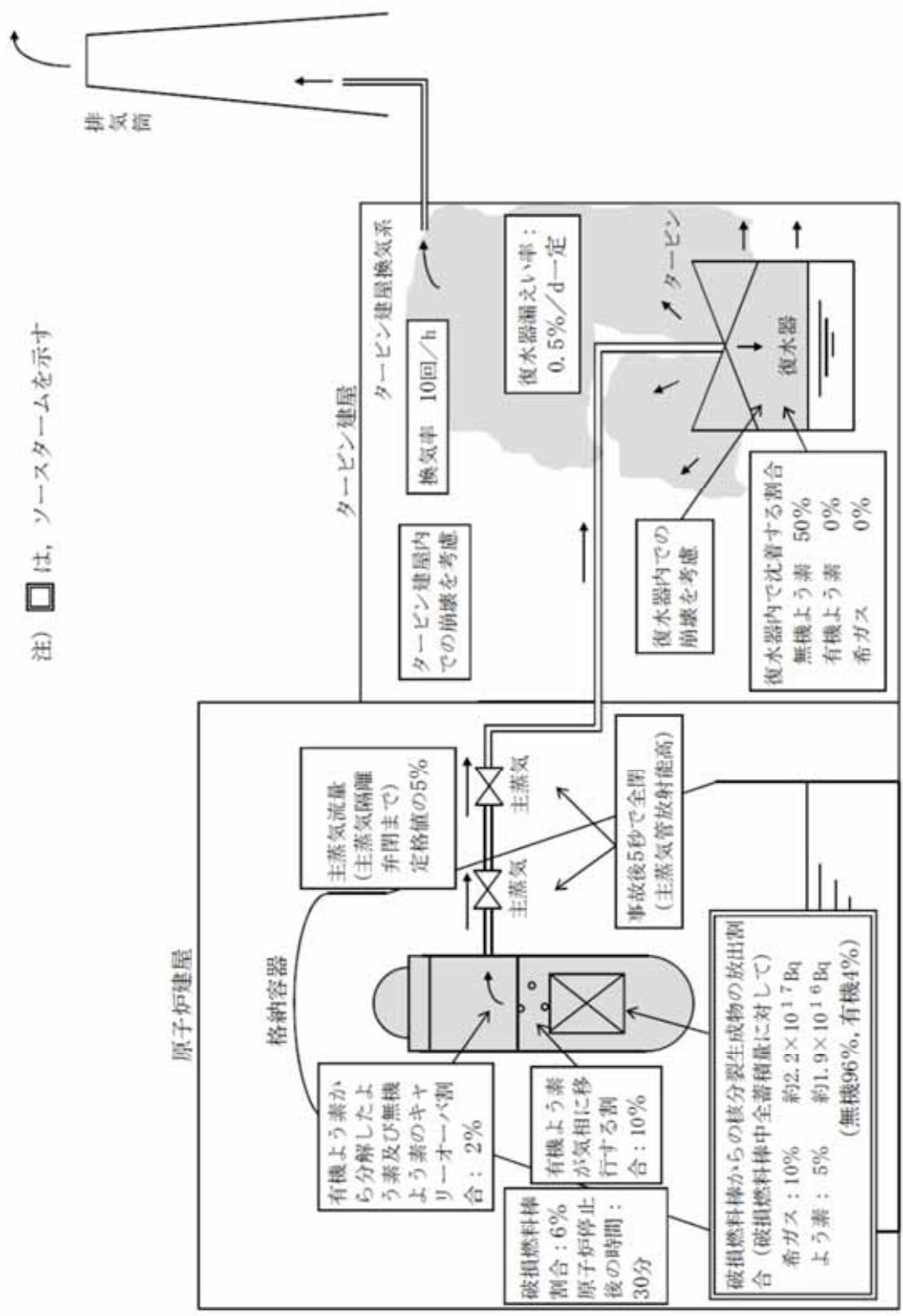
また、制御棒落下時の核分裂生成物の放出経路の概略を第 12 図に、希ガス及びイオン素が大気中に放出されるまでの過程を第 13 図及び第 14 図に示す。

第7表 制御棒落下時の評価条件及び評価結果 (1/2)

解析件名		制御棒落下	
		評価値	選定理由
評価条件	①原子炉停止前までの原子炉熱出力	3,440MW	定格出力の約105%
	②原子炉運転時間	2,000日	燃料の平均炉内滞在日数に余裕をみた値
	③原子炉停止から事故発生までの時間	30分	指針による
	④事故時主蒸気流量	定格の5%	核分裂生成物の移行量を保守的に大きく仮定
	⑤破損燃料棒割合	炉心の全燃料棒に対し6%	解析結果に余裕をみた値
	⑥破損燃料棒から放出される核分裂生成物の割合	希ガス 10% よう素 5%	燃料棒ギャップ中核分裂生成物の計算値に余裕をみた値
	⑦有機よう素の割合	4%	指針による
	⑧有機よう素が気相に移行する割合	10%	指針による
	⑨有機よう素から分解したよう素及び無機よう素のキャリーオーバー割合	2%	指針による
	⑩主蒸気隔離弁閉止時間	5秒	最大の設計閉止時間 (動作遅れ時間を含む)
	⑪無機よう素が復水器内で沈着する割合	50%	指針による
	⑫復水器の漏えい率	0.5%/d 一定	指針による
	⑬タービン建屋換気系の換気率	10回/h	設計値に余裕をみた値
	⑭放出位置	排気筒	高所放出を仮定
	⑮単一故障	主蒸気隔離弁 1弁	放射能閉じ込め機能の観点から単一故障を仮定
	⑯核分裂生成物の大気拡散	D/Q	$5.1 \times 10^{-20} \text{ Gy/Bq}$
x/Q		$8.5 \times 10^{-7} \text{ s/m}^3$	

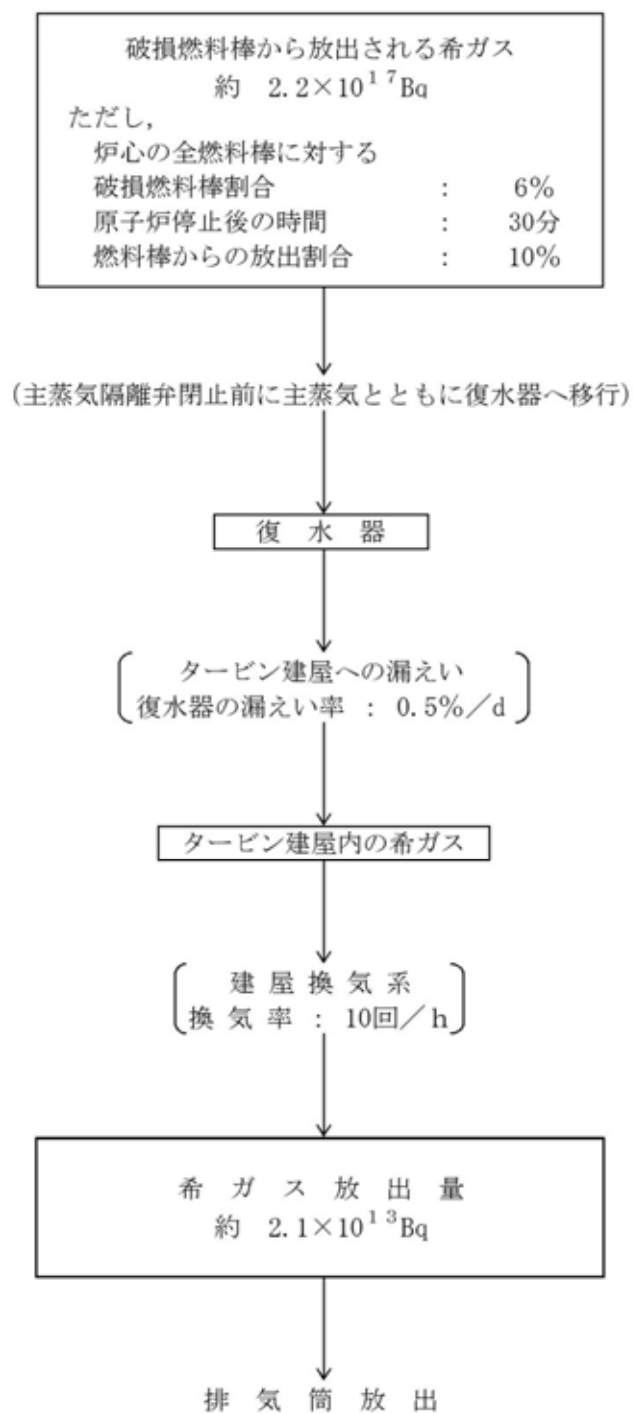
第7表 制御棒落下時の評価条件及び評価結果 (1/2)

評価結果	項目	結果	判断基準への適合性
評価	希ガス放出量 (γ線0.5MeV換算値)	約 2.1×10^{13} Bq	周辺の公衆に対し、著しい放射線被ばく のリスクを与えることはなく、判断 基準を満足する
結果	よう素放出量 (I-131等価量)	約 1.8×10^{11} Bq	
結果	実効線量	約 3.2×10^{-3} mSv	

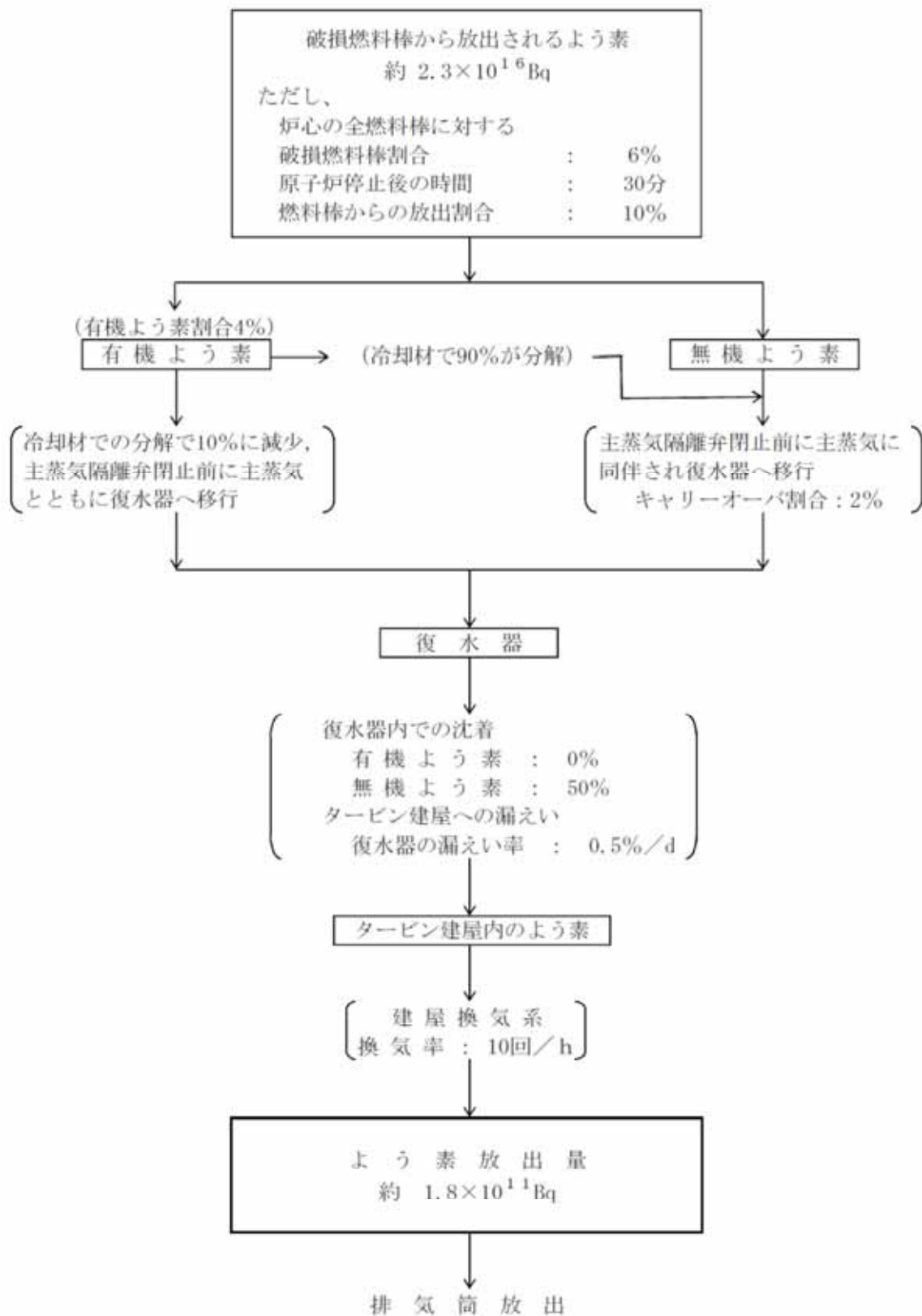


注) □ は、ソースタームを示す

第 12 図 制御棒落下時の核分裂生成物の放出経路



第 13 図 制御棒落下時の希ガスの大気放出過程
(ガンマ線 0.5MeV 換算値)



第 14 図 制御棒落下時のよう素の大気放出過程

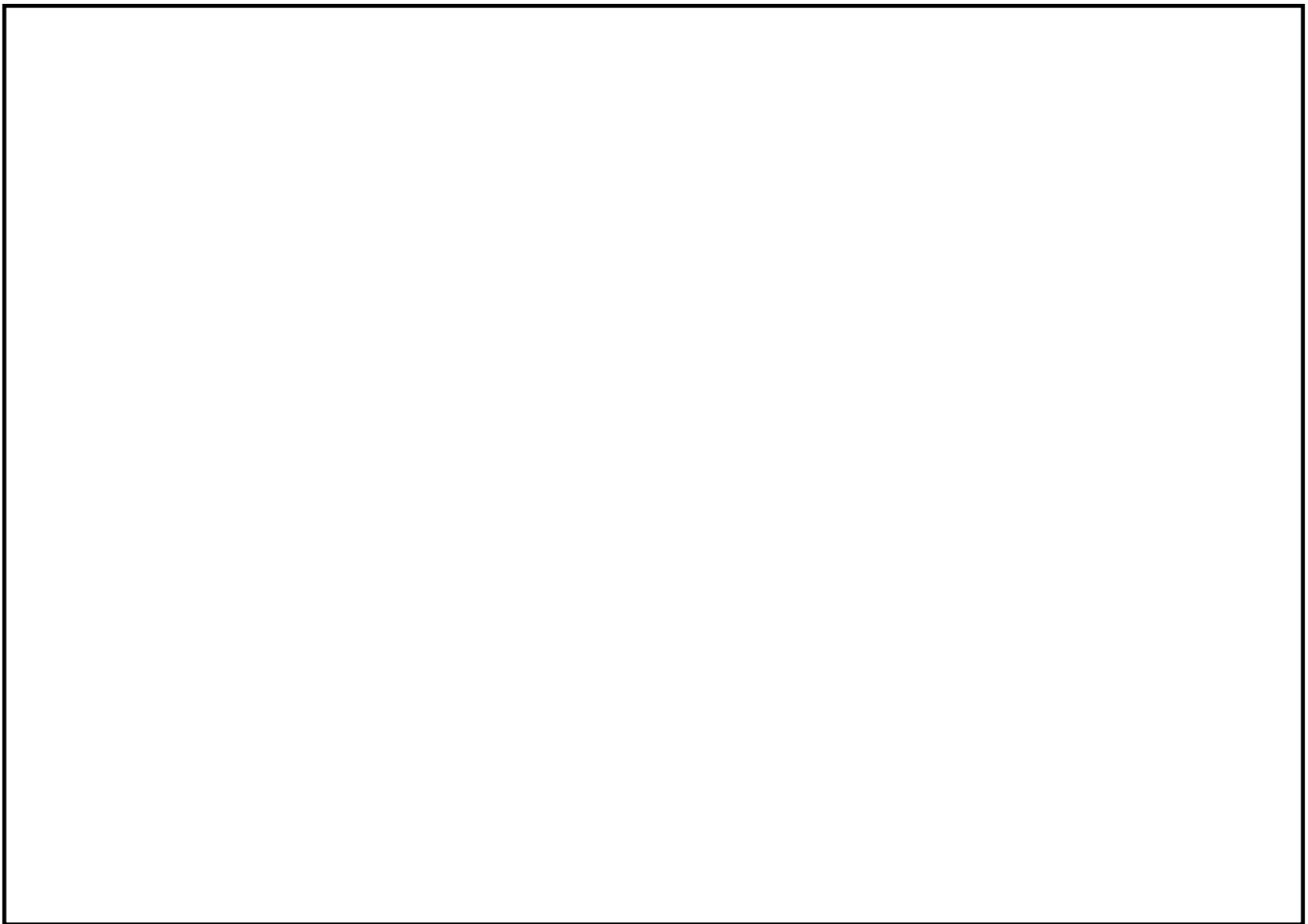
(I-131 等価量)

5. まとめ

評価結果に示すとおり、「事故」のうち「環境への放射性物質の異常な放出」について、「安全評価審査指針」に示される判断基準である「周辺公衆に対し、著しい放射線被ばくのリスクを与えないこと」を満足している。

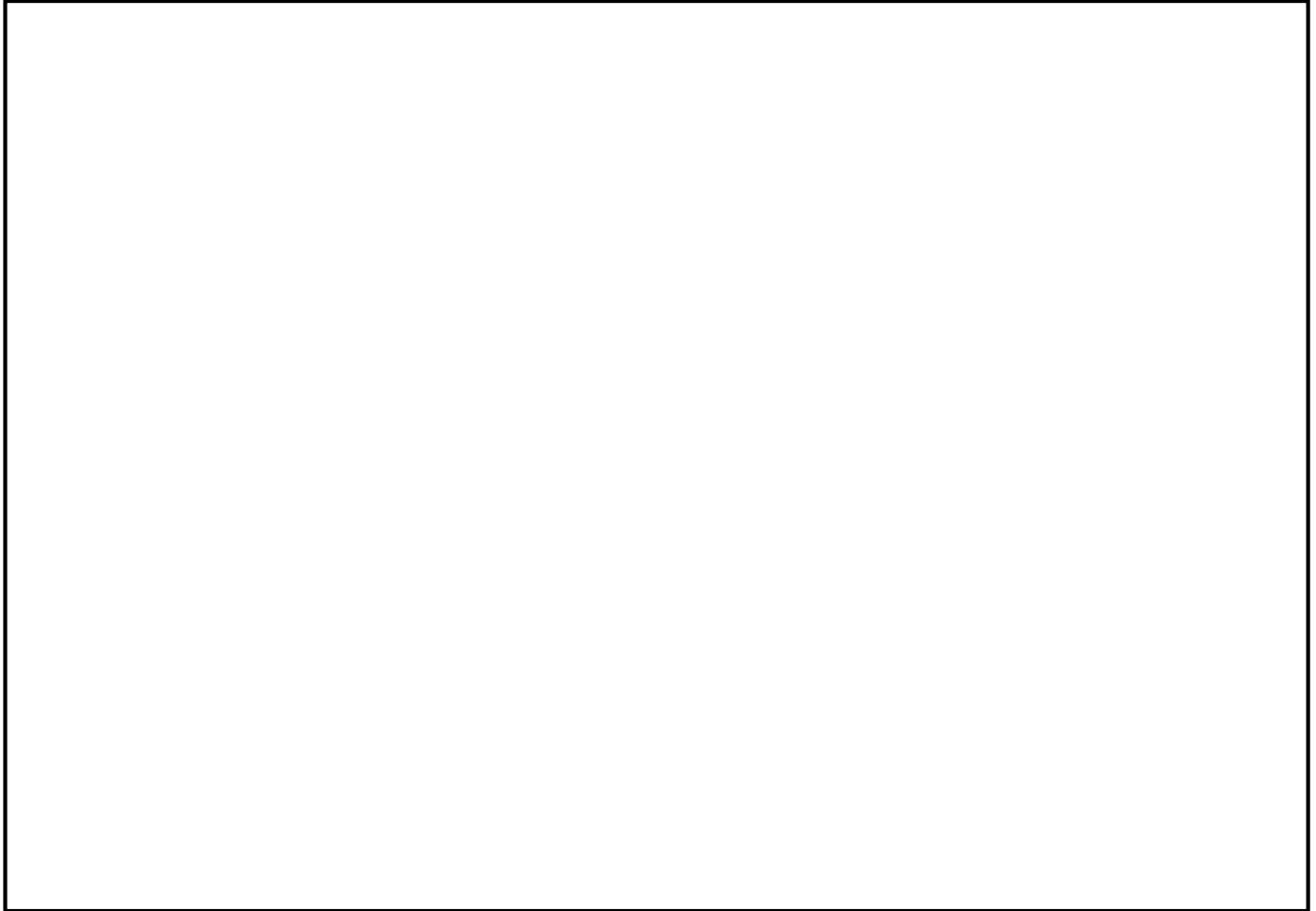
3 線量評価に用いる大気拡散の評価について

線量評価に用いる大気拡散の評価は、実効放出継続時間を基に計算した値を年間について小さい値から順番に並べて整理し、累積出現頻度 97%に当たる値としている。また、建屋放出時の着目方位は、第 3-1 図から第 3-2 図に示す通り、建屋による広がりの影響を考慮し、複数方位を対象としている。



第 3-1 図 主蒸気管破断時の評価対象方位の選定

(放出点：原子炉建屋ブローアウトパネル、評価点：中央制御室中心)



第 3-2 図 主蒸気管破断時の評価対象方位の選定

(放出点：原子炉建屋ブローアウトパネル、評価点：サービス建屋入口)

4 空気流入率試験結果について

「原子力発電所中央制御室の居住性に係る被ばく評価手法について（内規）（平成21・07・27 原院第1 号平成 21 年8 月12 日）」の別添資料「原子力発電所の中央制御室の空気流入率測定試験手法」に基づき、東海第二発電所中央制御室について平成27年2月に試験を実施した結果、空気流入率は最大で0.47 回/h（±0.012（95%信頼限界値））である。試験結果の詳細は次ページ以降に示す。

第4-1表 東海第二発電所中央制御室空気流入率測定試験結果

項目	内容		
試験日程	平成27年2月24日～平成27年2月26日 (試験時のプラント状態：停止中)		
空気流入率測定 試験における 均一化の程度	系統	トレーサガス濃度測定値の場所によるバラツキ ： ： (測定値－平均値) / 平均値 (%)	
	A系	－7.6～7.0%	
	B系	－5.7～8.1%	
試験手法	内規に定める空気流入率測定試験手法のうち 「基本的な試験手順」 / 「全サンプリング点による試験手順」にて 実施		
適用条件	内容	適用	備考
	トレーサガス濃度測定値のバラツキが平均値の±10%以内か。	○	
	決定係数R ² が0.90以上であること。	—	均一化の目安を満足している
	①中央制御室の空気流入率が、別区画に比べて小さいこと。	—	均一化の目安を満足している
	②特異点の除外が、1時点の全測定データ個数の10%以内であること。	—	特異点の除外はない
③中央制御室以外の空気流入率が大きい区画に、立入規制等の管理的措置を各種マニュアル等に明記し、運転員へ周知すること。	—	特定の区画を排除せず、全ての区画を包含するリーク率で評価している。	
試験結果	系統	空気流入率 (±以下は95%信頼限界値)	決定係数R ²
	A系	0.47 回/h (±0.012)	—
	B系	0.44 回/h (±0.012)	—
特記事項			

5 中央制御室の居住性評価（設計基準事故時）の直交替の考慮について

運転員の交代を考慮した中央制御室の居住性（設計基準）を評価するに当たり、平常時の直交替である5直2交代を考慮した。直交替サイクルを第5-1表に、評価期間30日間の直交替スケジュールを第5-2表に示す。

第5-1表 運転員の勤務形態

	中央制御室の滞在時間
1直	8:00～21:45（13時間45分）
2直	21:30～8:15（10時間45分）

第5-2表 直交替スケジュール

日	1	2	3	4	5	6	7	8	9	10	11	12	13	14	15	16	17	18	19	20	21	22	23	24	25	26	27	28	29	30	
1直 8:00～21:45	D	A	A	B	B	C	C	D	D	A	A	B	B	C	C	E	E	A	A	B	B	C	C	E	E	A	A	B	B	D	
2直 21:30～8:15	C	C	D	D	A	A	B	B	C	C	D	D	A	A	B	B	C	C	E	E	A	A	B	B	C	C	E	E	A	A	
指定休	A	B	B	C	C	D	D	A	A	B	B	C	C	D	E	A	A	B	B	C	C	E	E	A	A	B	B	C	D	E	
指定休	/	D	/	A	/	B	/	C	/	D	/	A	/	B	/	C	/	E	/	A	/	B	/	C	/	E	/	A	/	B	
研修直 8:30～17:00	E	E	E	E	E	E	E	E	E	E	E	E	E	E	E	D	D	D	D	D	D	D	D	D	D	D	D	D	D	C	C

30日間の中央制御室滞在時間及び入退域時間の最大値を評価すると、A班の

中央制御室滞在時間：196時間（1直8回＋2直8回）

入退域滞在時間：8時間（入退域32回，1回当たり15分）

が最大となる。

6 内規との適合性について

原子炉制御室の居住性に係る被ばく評価手法について（内規）	制御室居住性に係る被ばく評価の適合状況
<p>3. 評価項目（評価の手順，判断基準含む）</p> <p>3.1 想定事故</p> <p>(1) 想定事故の種類</p> <p>原子炉施設の構造，特性及び安全上の諸対策から，放射性物質の放出の拡大の可能性のある事故の態様として，原子炉格納容器内放出と原子炉格納容器外放出の2種類を考える【解説3.1】。</p> <p>a) BWR型原子炉施設の原子炉格納容器内放出は原子炉冷却材喪失，原子炉格納容器外放出は主蒸気管破断とする。</p> <p>b) PWR型原子炉施設の原子炉格納容器内放出は原子炉冷却材喪失，原子炉格納容器外放出は蒸気発生器伝熱管破損とする。</p> <p>c) 原子炉格納容器内放出及び原子炉格納容器外放出は，一方の事故で包含できる場合は，いずれかで代表してもよい。</p> <p>3.2 評価項目</p> <p>(1) 被ばく経路</p> <p>中央制御室内及び入退域時において，次の被ばく経路による被ばくを評価する（図3.1）。</p> <p>a) 中央制御室内での被ばく評価</p> <p>1) 建屋内の放射性物質からのガンマ線による被ばく</p> <p>建屋に存在する放射性物質から放射されるガンマ線による中央制御室内での被ばくを，次の二つの経路を対象にして計算する。</p> <ul style="list-style-type: none"> - 建屋内の放射性物質からのスカイシャインガンマ線による外部被ばく - 建屋内の放射性物質からの直接ガンマ線による外部被ばく <p>2) 大気中へ放出された放射性物質による被ばく</p> <p>大気中へ放出された放射性物質から放射されるガンマ線による被ばくを計算する。</p> <p>3) 外気から取り込まれた放射性物質による中央制御室内での被ばく</p> <p>中央制御室内へ取り込まれた放射性物質による被ばくを，次の二つの被ばく経路を対象にして計算する。</p> <ul style="list-style-type: none"> - 中央制御室内へ外気から取り込まれた放射性物質の吸入摂取による内部被ばく - 中央制御室内へ外気から取り込まれた放射性物質からのガンマ線による外部被ばく <p>b) 入退域時の被ばく評価</p> <p>4) 建屋内の放射性物質からのガンマ線による被ばく</p> <p>建屋に存在する放射性物質から放射されるガンマ線による入退域時の被ばくを，次の二つの経路を対象にして計算する。</p> <ul style="list-style-type: none"> - 建屋内の放射性物質からのスカイシャインガンマ線による外部被ばく - 建屋内の放射性物質からの直接ガンマ線による外部被ばく 	<p>3.1 (1)→内規のとおり。</p> <p>3.1(1)a)東海第二発電所はBWR型原子炉施設であり，原子炉格納容器内放出は原子炉冷却材喪失，原子炉格納容器外放出は主蒸気管破断として評価する。</p> <p>3.2→内規のとおり。</p> <p>3.2(1)a)1)建屋内の放射性物質からのスカイシャインガンマ線及び直接ガンマ線による中央制御室内での外部被ばく線量を評価している。</p> <p>3.2(1)a)2)大気中に放出された放射性物質からのガンマ線による中央制御室内で外部被ばくは，事故期間中の大気中への放射性物質の放出量を基に大気拡散効果と中央制御室の壁によるガンマ線の遮蔽効果を踏まえて評価している。</p> <p>3.2(1)a)3)事故期間中に大気中へ放出された放射性物質の一部は外気から中央制御室内に取り込まれる。中央制御室内に取り込まれた放射性物質の吸入摂取による内部被ばく及びガンマ線による外部被ばくの和として実効線量を評価している。</p> <p>3.2(1)b)4)建屋内の放射性物質からのスカイシャインガンマ線及び直接ガンマ線による入退域時の外部被ばく線量を評価している。</p>

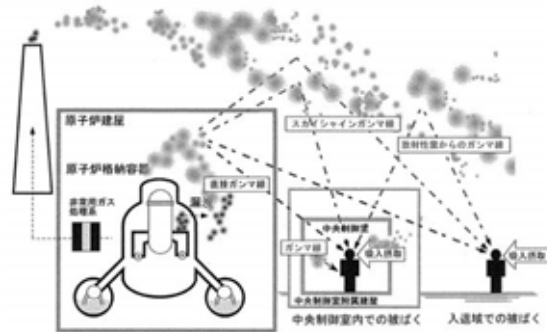
原子炉制御室の居住性に係る被ばく評価手法について（内規）	制御室居住性に係る被ばく評価の適合状況
<p>5) 大気中へ放出された放射性物質による被ばく 大気中へ放出された放射性物質による入退域時の被ばくを、次の二つの被ばく経路を対象にして計算する。</p> <ul style="list-style-type: none"> - 大気中へ放出された放射性物質の吸入摂取による内部被ばく - 大気中へ放出された放射性物質からのガンマ線による外部被ばく <p>(2) 評価の手順 評価の手順を図3.2に示す。</p> <p>a) 大気中への放出量の計算及び放射性物質の施設内分布 想定事故に対して、大気中への放射性物質放出量を計算する。また、放射性物質の施設内の存在量分布を計算する。（「4.大気中への放出量の評価」）</p> <p>b) 原子炉施設周辺の気象データを用いて、大気拡散を計算して相対濃度及び相対線量を計算する。（「5.大気拡散の評価」）</p> <p>c) 放射性物質の施設内の存在量分布から建屋内の線源強度を計算する。（「6.建屋からのスカイシャインガンマ線及び直接ガンマ線の評価」）</p> <p>d) 中央制御室内での運転員の被ばくを計算する。</p> <ol style="list-style-type: none"> 1) 前項c)の結果を用いて、建屋内の放射性物質からのガンマ線（スカイシャインガンマ線、直接ガンマ線）による被ばくを計算する。（「7.1建屋内の放射性物質からのガンマ線による中央制御室内での被ばく」） 2) 前項a)及びb)の結果を用いて、大気中へ放出された放射性物質による被ばくを計算する。（「7.2大気中へ放出された放射性物質のガンマ線による中央制御室内での被ばく」） 3) 前項a)及びb)の結果を用いて、中央制御室内に外気から取り込まれた放射性物質による被ばく（ガンマ線及び吸入摂取）を計算する。（「7.3室内に外気から取り込まれた放射性物質による中央制御室内での被ばく」） <p>e) 入退域時の運転員の被ばくを計算する。</p> <ol style="list-style-type: none"> 1) 前項c)の結果を用いて、建屋に存在する放射性物質から放射されるガンマ線（スカイシャインガンマ線、直接ガンマ線）による被ばくを計算する。（「7.4建屋内の放射性物質からのガンマ線による入退域時の被ばく」） 2) 前項a)及びb)の結果を用いて、大気中へ放出された放射性物質による被ばく（ガンマ線及び吸入摂取）を計算する。（「7.5大気中へ放出された放射性物質による入退域時の被ばく」） <p>f) 文書化 評価条件及び評価結果を文書化する。</p> <p>g) 評価の手順のa)からc)までのうち、b)は他の評価と並列に進めてもよい。またd)及びe)は、並列に進めてもよい。</p>	<p>3.2(1)b)5) 大気中へ放出された放射性物質からの吸入摂取による内部被ばく線量及びガンマ線による外部被ばく線量を評価している。</p> <p>3.2(2)a) 想定事故に対して、大気中への放出量及び放射性物質の施設内の存在量分布を評価している。</p> <p>3.2(2)b) 原子炉施設周辺の気象データを用いて、大気拡散を計算して相対濃度及び相対線量を評価している。</p> <p>3.2(2)c) 放射性物質の施設内の存在量分布から施設内の線源強度を評価している。</p> <p>3.2(2)d) 1) 前項 c)の結果を用いて、施設内の放射性物質からのガンマ線（スカイシャイン線、直接ガンマ線）による被ばくを評価している。</p> <p>3.2(2)d) 2) 前項 a)及び b)の結果を用いて、大気中へ放出された放射性物質による被ばくを評価している。</p> <p>3.2(2)d) 3) 前項 a)及び b)の結果を用いて、中央制御室内に外気から取り込まれた放射性物質による被ばく（ガンマ線及び吸入摂取）を評価している。</p> <p>3.2(2)e) 1) 前項 c)の結果を用いて、建屋内に存在する放射性物質から放射されるガンマ線（スカイシャインガンマ線、直接ガンマ線）による被ばくを評価している。</p> <p>3.2(2)e) 2) 前項 a)及び b)の結果を用いて、大気中へ放出された放射性物質による被ばく（ガンマ線及び吸入摂取）を評価している。</p> <p>3.2(2)f) 評価条件及び評価結果を文書化し、資料としてまとめている。</p> <p>3.2(2)g) 評価手順の a)から c)までのうち、b)は他の評価と並列に進めている。また、d)及び e)は並列に進めている。</p>

原子炉制御室の居住性に係る被ばく評価手法について（内規）

3.3 判断基準

「3.1 想定事故」に対して、「3.2 評価項目」の(1)a)中央制御室内での被ばく評価及び(1)b)入退域時の被ばく評価で計算した線量の合計値が、次の判断基準を満足すること。

- 1人あたりの被ばく経路ごとの実効線量の合算値が、100mSvを超えない^(※1)【解説3.2】。



(a) BWR型原子炉施設

図3.1 中央制御室居住性に係る被ばく経路

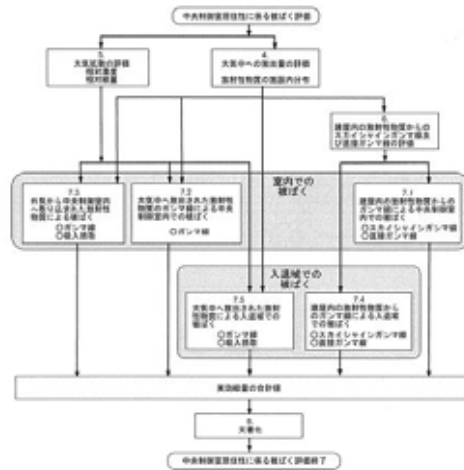


図3.2 評価の手順

制御室居住性に係る被ばく評価の適合状況

3.3→内規のとおり。

「1人あたりの被ばく経路ごとの実効線量の合計値が、100mSvを超えない」ことを満足していることを確認している。

→図3.1のとおり被ばく経路を考慮している。

→図3.2のとおり評価の手順に従って評価している。

原子炉制御室の居住性に係る被ばく評価手法について（内規）	制御室居住性に係る被ばく評価の適合状況
<p>4. 大気中への放出量の評価</p> <p>4.1 BWR型原子炉施設</p> <p>原子炉冷却材喪失及び主蒸気管破断を対象とする。原子炉冷却材喪失及び主蒸気管破断は、一方の事故で包絡できる場合は、いずれかで代表してもよい。</p> <p>4.1.1 原子炉冷却材喪失</p> <p>(1) 原子炉は、定格出力に余裕を見た出力で十分長時間運転していたとする【解説4.1】。</p> <p>(2) 大気中への放出量の計算</p> <p>a) 希ガスは図4.1、よう素は図4.2に示す放出経路で大気中へ放出されるとする。</p> <p>b) 事象発生後、原子炉格納容器内に放出される放射性物質の量は、炉心内蓄積量に対して希ガス100%、よう素50%の割合とする。</p> <p>c) 原子炉格納容器内に放出されたよう素のうち、有機よう素は10%とし、残りの90%は無機よう素とする。</p> <p>d) 原子炉格納容器内に放出されたよう素のうち、無機よう素は、50%が原子炉格納容器内及び同容器内の機器等に沈着し、原子炉格納容器からの漏えいに寄与しないとする。有機よう素及び希ガスは、この効果を無視する。</p> <p>e) サプレッションプール水に無機よう素が溶解する割合は、分配係数で100とする。有機よう素及び希ガスは、この効果を無視する。</p> <p>f) 希ガス及びよう素は、原子炉格納容器からの漏えいを計算する。原子炉格納容器からの漏えいは、原子炉格納容器の設計漏えい率及び原子炉格納容器内の圧力に対応した漏えい率に余裕を見込んだ値とする。</p> <p>g) 原子炉建屋の非常用換気系等(フィルタを含む。)は、起動するまでの十分な時間的余裕を見込む。非常用換気系等の容量は、設計で定められた値とする。フィルタのよう素除去効率は設計値に余裕を見込んだ値とする【解説4.2】。原子炉建屋における沈着による放射性物質の除去効果は無視し、自然崩壊のみを考える。</p> <p>h) ECCSが再循環モードで運転され、原子炉格納容器内の水が原子炉格納容器外に導かれる場合には、原子炉格納容器外において設計漏えい率に余裕を見込んだ漏えい率での再循環水の漏えいがあると仮定する。再循環水中には、事象発生直後、よう素の炉心内蓄積量の50%が溶解するとし、ECCSの再循環系から原子炉建屋に漏えいしたよう素の気相への移行率は5%、原子炉建屋内でのよう素の沈着率は50%と仮定する。</p> <p>i) 原子炉格納容器から原子炉建屋内に漏えいした放射性物質は、原子炉建屋内非常用ガス処理系で処理された後、排気筒を経由して環境に放出されるとする。</p>	<p>4.1→内規のとおり</p> <p>4.1.1→内規のとおり</p> <p>4.1.1(1) 定格出力に余裕を見た出力で十分長時間運転していた炉心の評価対象炉心としている。</p> <p>4.1.1(2)a) 希ガスは図4.1、よう素は図4.2に示される放出経路で大気中へ放出されるとして評価している。</p> <p>4.1.1(2)b) 事象発生後、原子炉格納容器内に放出される放射性物質の量は、炉心内蓄積量に対して希ガス100%、よう素50%の割合として評価している。</p> <p>4.1.1(2)c) 原子炉格納容器内に放出されたよう素のうち、有機よう素は10%とし、残りの90%は無機よう素として評価している。</p> <p>4.1.1(2)d) 原子炉格納容器内に放出されたよう素のうち、無機よう素は、50%が原子炉格納容器内及び同容器内の機器等に沈着し、原子炉格納容器からの漏えいに寄与しないとして評価している。有機よう素及び希ガスは、この効果を無視して評価している。</p> <p>4.1.1(2)e) サプレッション・プール水に無機よう素が溶解する割合は、分配係数で100として評価している。有機よう素及び希ガスは、この効果を無視して評価している。</p> <p>4.1.1(2)f) 希ガス及びよう素は、原子炉格納容器からの漏えいを評価している。原子炉格納容器からの漏えいは、原子炉格納容器の設計漏えい率一定として評価している。</p> <p>4.1.1(2)g) 原子炉建屋処理系は、起動信号により瞬時に起動するものとして評価している。原子炉建屋ガス処理系の容量は、設計で定められた値として評価している。フィルタのよう素除去効率は設計値に余裕を見込んだ値として評価している。原子炉建屋における沈着による放射性物質の除去効果は無視し、自然崩壊のみを考慮し評価している。</p> <p>4.1.1(2)h) 非常用炉心冷却系によりサプレッション・プール水が原子炉格納容器外に導かれるが、原子炉格納容器外における漏えいは、原子炉格納容器の漏えいに比べ小さいことから、評価を省略している。</p> <p>4.1.1(2)i) 原子炉格納容器から原子炉建屋内に漏えいした放射性物質は、非常用ガス処理系及び非常用ガス再循環系で処理された後、主排気筒を経由して環境に放出されるとして評価している。</p>

原子炉制御室の居住性に係る被ばく評価手法について（内規）	制御室居住性に係る被ばく評価の適合状況
<p>4.1.2 主蒸気管破断</p> <p>(1) 原子炉は、定格出力に余裕を見た出力で十分長時間運転していたとする【解説4.1】。</p> <p>(2) 原子炉の出力運転中に、主蒸気管1本が、原子炉格納容器外で瞬時に両端破断すると仮定する。</p> <p>(3) 主蒸気隔離弁は、設計上の最大の動作遅れ時間及び閉止時間で全閉する。</p> <p>(4) 原子炉冷却材の流出流量の計算に当たっては、流量制限器の機能を考慮することができる。ただし、主蒸気隔離弁の部分において臨界流が発生するまでは、弁による流量制限の効果は考えない。</p> <p>(5) 事象発生と同時に、外部電源は喪失すると仮定する。</p> <p>(6) 事象発生後、原子炉圧力は、長時間、逃がし安全弁の設定圧に保たれる。</p> <p>(7) 大気中への放出量の計算</p> <p>a) 希ガスは図4.3、ハロゲン等は図4.4に示す放出経路で大気中へ放出されるとする。</p> <p>b) 事象発生前の原子炉冷却材中の放射性物質の濃度は、運転上許容されるI-131の最大濃度に相当する濃度とし、その組成は拡散組成とする。蒸気相中のハロゲン濃度は、液相の濃度の1/50とする。</p> <p>c) 原子炉圧力の減少に伴う燃料棒からの追加放出量を、I-131は先行炉等での実測データに基づく値に安全余裕を見込んだ値とし、その他の放射性物質はその組成を平衡組成として求める。希ガスはよう素の2倍の放出量とする。</p> <p>d) 主蒸気隔離弁閉止前の燃料棒からの放射性物質の追加放出割合は、主蒸気隔離弁閉止前の原子炉圧力の低下割合に比例するとし、追加放出された放射性物質の1%が破断口から放出する。</p> <p>e) 主蒸気隔離弁閉止後の燃料棒からの放射性物質の追加放出は、主蒸気隔離弁閉止直後に、これらすべての放射性物質が瞬時に原子炉冷却材中へ放出する。</p> <p>f) 燃料棒から放出されたよう素のうち、有機よう素は10%とし、残りの90%は無機よう素とする。有機よう素のうち10%は瞬時に気相部に移行する。残りのよう素及びその他のハロゲンが気相部にキャリーオーバーされる割合は、2%とする。希ガスは、すべて瞬時に気相部に移行する。</p> <p>g) 主蒸気隔離弁閉止前に放出された原子炉冷却材は、完全蒸発し、同時に放出された放射性物質を均一に含む蒸気雲になるとする。隔離弁閉止後に放出された放射性物質は、大気中に地上放散する。</p> <p>h) 主蒸気隔離弁は、1個が閉止しないと。閉止した隔離弁からは、蒸気が漏えいする。閉止した主蒸気隔離弁の漏えい率は設計値に余裕を見込んだ値とし、この漏えい率は一定とする。</p> <p>i) 主蒸気隔離弁閉止後は、残留熱除去系又は逃がし安全弁等を通して、崩壊熱相当の蒸気が、サブプレッションプールに移行する。</p>	<p>4.1.2→内規のとおり</p> <p>4.1.2(1) 定格出力に余裕を見た出力で十分長時間運転していた炉心の評価対象炉心としている。</p> <p>4.1.2(2) 原子炉の出力運転中に、主蒸気管1本が、原子炉格納容器外で瞬時に両端破断すると仮定し評価している。</p> <p>4.1.2(3) 主蒸気隔離弁は、設計上の最大の動作遅れ時間及び閉止時間で全閉するとして評価している。</p> <p>4.1.2(4) 原子炉冷却材の流出流量の計算に当たっては、流量制限器の機能を考慮し、評価している。ただし、主蒸気隔離弁の部分において臨界流が発生するまでは、弁による流量制限の効果は考慮していない。</p> <p>4.1.2(5) 事象発生と同時に、外部電源は喪失すると仮定し、評価している。</p> <p>4.1.2(6) 事象発生後、原子炉圧力は、24時間で大気圧まで直線的に減少するとして評価している。</p> <p>4.1.2(7)a) 希ガスは図4.3、ハロゲン等は図4.4に示す放出経路で大気中へ放出されるとして評価する。</p> <p>4.1.2(7)b) 事象発生前の原子炉冷却材中の放射性物質の濃度は、運転上許容されるI-131の最大濃度に相当する濃度とし、その組成は拡散組成として評価している。蒸気相中のハロゲン濃度は、液相の濃度の1/50とし、評価している。</p> <p>4.1.2(7)c) 原子炉圧力の減少に伴う燃料棒からの追加放出量を、I-131は先行炉等での実測データに基づく値に安全余裕を見込んだ値とし、その他の放射性物質はその組成を平衡組成として評価している。希ガスはよう素の2倍の放出量として評価している。</p> <p>4.1.2(7)d) 主蒸気隔離弁閉止前の燃料棒からの放射性物質の追加放出割合は、主蒸気隔離弁閉止前の原子炉圧力の低下割合に比例するとし、追加放出され放射性物質の1%が破断口から放出するとして評価している。</p> <p>4.1.2(7)e) 主蒸気隔離弁閉止後の燃料棒からの放射性物質の追加放出は、主蒸気隔離弁閉止直後に、これらすべての放射性物質が瞬時に原子炉冷却材中へ放出するとして評価している。</p> <p>4.1.2(7)f) 燃料棒から放出されたよう素のうち、有機よう素は10%とし、残りの90%は無機よう素としている。有機よう素のうち10%は瞬時に気相部に移行するとし、残りのよう素及びその他のハロゲンが気相部にキャリーオーバーされる割合は、2%として評価している。希ガスは、すべて瞬時に気相部に移行</p>

原子炉制御室の居住性に係る被ばく評価手法について（内規）

制御室居住性に係る被ばく評価の適合状況

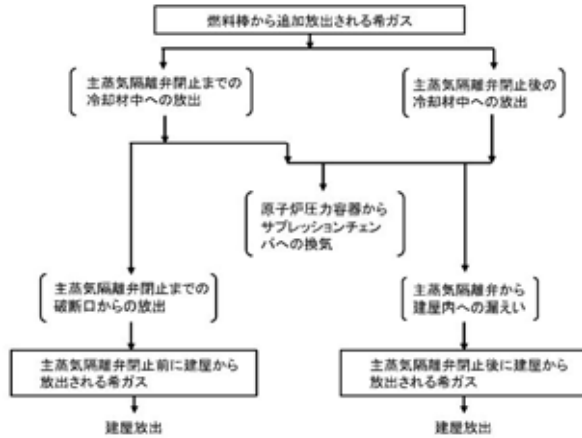


図 4.3 主蒸気管破断の希ガスの放出経路(BWR 型原子炉施設)

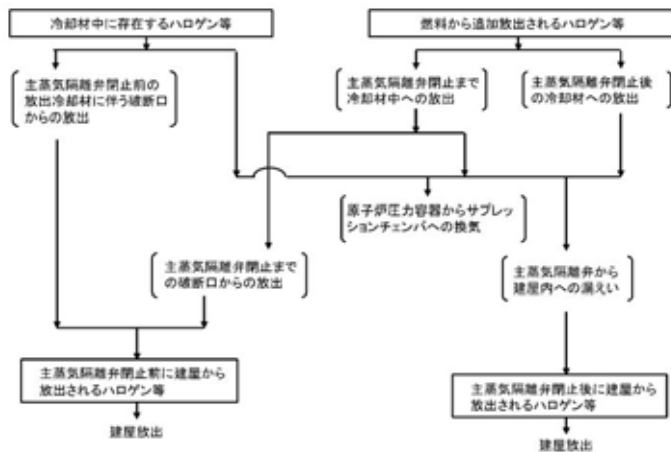


図 4.4 主蒸気管破断のハロゲン等の放出経路(BWR 型原子炉施設)

するとして評価している。

4. 1. 2 (7) g) 主蒸気隔離弁閉止前に放出された原子炉冷却材は、完全蒸発し、同時に放出された放射性物質を均一に含む蒸気雲になるとして評価している。隔離弁閉止後に放出された放射性物質は、大気中に地上放散するとして評価している。

4. 1. 2 (7) h) 主蒸気隔離弁は、1個が閉止しないとし、閉止した隔離弁からは、蒸気が漏えいするとして評価している。閉止した主蒸気隔離弁の漏えい率は設計値に余裕を見込んだ値とし、この漏えい率は一定として評価している。

4. 1. 2 (7) i) 主蒸気隔離弁閉止後は、逃がし安全弁等を通して、崩壊熱相当の蒸気が、サプレッション・プールに移行するものとして評価している。

図4. 3の放出経路で希ガスを評価している。

図4. 4の放出経路でハロゲン等を評価している。

原子炉制御室の居住性に係る被ばく評価手法について（内規）	制御室居住性に係る被ばく評価の適合状況
<p>5. 大気拡散の評価</p> <p>5.1 放射性物質の大気拡散</p> <p>5.1.1 大気拡散の計算式 大気拡散モデルについては、国内の既存の中央制御室と大きく異なる設計の場合には適用しない。</p> <p>(1) 建屋の影響を受けない場合の基本拡散式【解説 5.1】</p> <p>a) ガウスプルームモデルの適用</p> <p>1) ガウスプルームモデル 放射性物質の空气中濃度は、放出源高さ、風向、風速、大気安定度に応じて、空間濃度分布が水平方向、鉛直方向ともに正規分布になると仮定した次のガウスプルームモデル⁽⁹⁾⁽¹⁰⁾を適用して計算する。</p> $\chi(x, y, z) = \frac{Q}{2\pi\sigma_y\sigma_z U} \exp\left(-\lambda \frac{x}{U}\right) \exp\left(-\frac{y^2}{2\sigma_y^2}\right) \times \left[\exp\left\{-\frac{(z-H)^2}{2\sigma_z^2}\right\} + \exp\left\{-\frac{(z+H)^2}{2\sigma_z^2}\right\} \right] \dots\dots\dots (5.1)$ <p>$\chi(x, y, z)$: 評価点(x, y, z)の放射性物質の濃度 (Bq/m³) Q : 放射性物質の放出率 (Bq/s) U : 放出源を代表する風速 (m/s) λ : 放射性物質の崩壊定数 (1/s) z : 評価点の高さ (m) H : 放射性物質の放出源の高さ (m) σ_y : 濃度のy方向の拡がりのパラメータ (m) σ_z : 濃度のz方向の拡がりのパラメータ (m)</p> <p>拡散式の座標は、放出源直下の地表を原点に、風下方向をx軸、その直角方向をy軸、鉛直方向をz軸とする直角座標である。</p> <p>2) 保守性を確保するために、通常、放射性物質の核崩壊による減衰項は計算しない。すなわち、(5.1)式で、核崩壊による減衰項を次のとおりとする。</p> $\exp\left(-\lambda \frac{x}{U}\right) = 1 \dots\dots\dots (5.2)$ <p>b) σ_y 及び σ_z は、中央制御室が設置されている建屋が、放出源から比較的近距离にあることを考えて、5.1.3 項に示す方法で計算する。</p>	<p>5.1.1→内規のとおり 中央制御室は、国内の既存の中央制御室と大きく異なる設計ではないため、大気拡散モデルを適用する。</p> <p>5.1.1(1)原子炉冷却材喪失、主蒸気管破断ともに建屋の影響を受けるため、5.1.1(2)に示された方法で評価している。</p>

原子炉制御室の居住性に係る被ばく評価手法について（内規）	制御室居住性に係る被ばく評価の適合状況
<p>c) 気象データ 風向、風速、大気安定度等の観測項目を、現地において少なくとも1年間観測して得られた気象資料を拡散式に用いる。放出源の高さにおける気象データが得られている場合にはそれを活用してよい。</p> <p>(2) 建屋影響を受ける場合の基本拡散式【解説 5.2】</p> <p>a) 中央制御室評価で特徴的な近距離の建屋の影響を受ける場合には、(5.1)式の通常の大気拡散による拡がりのパラメータであるσ_y及びσ_zに、建屋による巻込み現象による初期拡散パラメータσ_{y0}、σ_{z0}を加算した総合的な拡散パラメータ\sum_y、\sum_zを適用する。</p> <p>1) 建屋影響を受ける場合は、次の(5.3)式を基本拡散式とする。</p> $\chi(x, y, z) = \frac{Q}{2\pi \sum_y \sum_z U} \exp\left(-\lambda \frac{x}{U}\right) \exp\left(-\frac{y^2}{2\sum_y^2}\right) \times \left[\exp\left(-\frac{(z-H)^2}{2\sum_z^2}\right) + \exp\left(-\frac{(z+H)^2}{2\sum_z^2}\right) \right] \dots\dots\dots (5.3)$ $\sum_y^2 = \sigma_{y0}^2 + \sigma_y^2 \quad , \quad \sum_z^2 = \sigma_{z0}^2 + \sigma_z^2$ $\sigma_{y0}^2 = \sigma_{z0}^2 = \frac{cA}{\pi}$ <p>$\chi(x, y, z)$: 評価点(x, y, z)の放射性物質の濃度 (Bq/m³) Q : 放射性物質の放出率 (Bq/s) U : 放出源を代表する風速 (m/s) λ : 放射性物質の崩壊定数 (1/s) z : 評価点の高さ (m) H : 放射性物質の放出源の高さ (m) \sum_y : 建屋の影響を加算した濃度のy方向の拡がりのパラメータ (m) \sum_z : 建屋の影響を加算した濃度のz方向の拡がりのパラメータ (m) σ_y : 濃度のy方向の拡がりのパラメータ (m) σ_z : 濃度のz方向の拡がりのパラメータ (m) σ_{y0} : 建屋による巻込み現象によるy方向の初期拡散パラメータ (m) σ_{z0} : 建屋による巻込み現象によるz方向の初期拡散パラメータ (m) A : 建屋などの風向方向の投影面積 (m²) c : 形状係数 (-)</p>	<p>5. 1. 1 (2)a) 中央制御室評価で特徴的な近距離の建屋の影響を受けるため、建屋による巻込み現象による影響を含めて評価している。</p> <p>5. 1. 1 (2)a) 1) 建屋の影響を受けるため、(5. 3)式の基本拡散式を用いて評価している。</p>

原子炉制御室の居住性に係る被ばく評価手法について（内規）	制御室居住性に係る被ばく評価の適合状況
<p>2) 保守性を確保するために、通常、放射性物質の核崩壊による減衰項は計算しない。すなわち、(5.3)式で、核崩壊による減衰項を次のとおりとする。これは、(5.2)式の場合と同じである。</p> $\exp\left(-\lambda \frac{x}{U}\right) = 1$ <p>b) 形状係数cの値は、特に根拠が示されるもののほかは原則として1/2を用いる。これは、Giffordにより示された範囲(1/2 < c < 2)において保守的に最も大きな濃度を与えるためである。</p> <p>c) 中央制御室の評価においては、放出源又は巻き込みを生じる建屋から近距離にあるため、拡散パラメータの値はσ_{y0}、σ_{z0}が支配的となる。このため、(5.3)式の計算で、$\sigma_y=0$及び$\sigma_z=0$として、σ_{y0}、σ_{z0}の値を適用してもよい。</p> <p>d) 気象データ 建屋影響は、放出源高さから地上高さに渡る気象条件の影響を受けるため、地上高さに相当する比較的低風速の気象データ(地上10m高さで測定)を採用するのは保守的かつ適切である。</p> <p>e) 建屋影響を受ける場合の条件については、「5.1.2 原子炉施設周辺の建屋影響による拡散」に従う。</p> <p>(3) 建屋影響を受ける場合の基本拡散式の適用について</p> <p>a) (5.3)式を適用する場合、「5.1.2 原子炉施設周辺の建屋影響による拡散」の(1.a)の放出源の条件に応じて、原子炉施設周辺の濃度を、次のb)又はc)の方法によって計算する。</p> <p>b) 放出源の高さで濃度を計算する場合</p> <p>1) 放出源と評価点で高度差がある場合には、評価点高さを放出源高さとして($z=H$, $H>0$)、(5.4)式で濃度を求める【解説5.3】【解説5.4】。</p> $\chi(x, y, z) = \frac{Q}{2\pi \sum_y \cdot \sum_z U} \exp\left(-\frac{y^2}{2\sum_y^2}\right) \cdot \left[1 + \exp\left\{-\frac{(2H)^2}{2\sum_z^2}\right\}\right] \dots\dots (5.4)$ <p>$\chi(x, y, z)$: 評価点(x, y, z)の放射性物質の濃度 (Bq/m³) Q : 放射性物質の放出率 (Bq/s) U : 放出源を代表する風速 (m/s) H : 放射性物質の放出源の高さ (m) \sum_y : 建屋の影響を加算した濃度のy方向の拡がりのパラメータ (m) \sum_z : 建屋の影響を加算した濃度のz方向の拡がりのパラメータ (m)</p>	<p>5.1.1(2)a)2)放射性物質の核崩壊による減衰項は計算していない。</p> <p>5.1.1(2)b)形状係数cの値は、1/2を用いている。</p> <p>5.1.1(2)c)$\sigma_y=0$及び$\sigma_z=0$とした計算は行っていない。</p> <p>5.1.1(2)d)建屋影響は、放出源高さから地上高さに渡る気象条件の影響を受けるため、保守的に地上高さに相当する比較的低風速の気象データ(地上10m高さで測定)で評価している。</p> <p>5.1.1(2)e)建屋影響を受ける場合の条件については、「5.1.2 原子炉施設周辺の建屋影響による拡散」に従っている。</p> <p>5.1.1(3)a)(5.3)式を適用するため、「5.1.2 原子炉施設周辺の建屋影響による拡散」の(1.a)の放出源の条件に応じて、原子炉施設周辺の濃度を、次のb)又はc)の方法によって計算している。</p> <p>5.1.1(3)b)1)放出源と評価点の高度差がある場合には、評価点高さを放出源高さとして($z=H$, $H>0$)、(5.4)式で濃度を評価している。</p>

原子炉制御室の居住性に係る被ばく評価手法について（内規）	制御室居住性に係る被ばく評価の適合状況															
<p>2) 放出源の高さが地表面よりも十分離れている場合には、地表面からの反射による濃度の寄与が小さくなるため、右辺の指数減衰項は1に比べて小さくなることを確認できれば、無視してよい【解説 5.5】。</p> <p>c) 地上面の高さで濃度を計算する場合 放出源及び評価点が地上面にある場合 ($z=0, H=0$)、地上面の濃度を適用して、(5.5)式で求める【解説 5.3】【解説 5.4】。</p> $z(x,y,0) = \frac{Q}{\pi \sum_x \cdot \sum_y \cdot U} \exp\left(-\frac{y^2}{2\sum_y}\right) \dots\dots\dots (5.5)$ <table style="margin-left: 40px;"> <tr> <td>$z(x,y,0)$</td> <td>: 評価点(x,y,0)の放射性物質の濃度</td> <td>(Bq/m^3)</td> </tr> <tr> <td>Q</td> <td>: 放射性物質の放出率</td> <td>(Bq/s)</td> </tr> <tr> <td>U</td> <td>: 放出源を代表する風速</td> <td>(m/s)</td> </tr> <tr> <td>\sum_x</td> <td>: 建屋の影響を加算した濃度のx方向の拡がりのパラメータ</td> <td>(m)</td> </tr> <tr> <td>\sum_y</td> <td>: 建屋の影響を加算した濃度のy方向の拡がりのパラメータ</td> <td>(m)</td> </tr> </table> <p>5.1.2 原子炉施設周辺の建屋影響による拡散</p> <p>(1) 原子炉施設の建屋後流での巻き込みが生じる場合の条件</p> <p>a) 中央制御室のように、事故時の放射性物質の放出点から比較的近距离の場所では、建屋の風下側における風の巻き込みによる影響が顕著となると考えられる。そのため、放出点と巻き込みを生じる建屋及び評価点との位置関係によっては、建屋の影響を考慮して大気拡散の計算をする必要がある。</p> <p>中央制御室の被ばく評価においては、放出点と巻き込みを生じる建屋及び評価点との位置関係について、以下に示す条件すべてに該当した場合、放出点から放出された放射性物質は建屋の風下側で巻き込みの影響を受け拡散し、評価点に到達するものとする。放出点から評価点までの距離は、保守的な評価となるように水平距離を用いる。</p> <ol style="list-style-type: none"> 1) 放出点の高さが建屋の高さの2.5倍に満たない場合 2) 放出点と評価点を結んだ直線と平行で放出点を風上とした風向nについて、放出点の位置が風向nと建屋の投影形状に応じて定まる一定の範囲(図5.1の領域An)の中にある場合 3) 評価点が、巻き込みを生じる建屋の風下側にある場合 <p>上記の三つの条件のうちの一つでも該当しない場合には、建屋の影響はないものとして大気拡散評価を行うものとする^(*)。</p> <p>ただし、放出点と評価点が隣接するような場合の濃度予測には適用しない。建屋の影響の有無の判断手順を、図5.2に示す。</p>	$z(x,y,0)$: 評価点(x,y,0)の放射性物質の濃度	(Bq/m^3)	Q	: 放射性物質の放出率	(Bq/s)	U	: 放出源を代表する風速	(m/s)	\sum_x	: 建屋の影響を加算した濃度のx方向の拡がりのパラメータ	(m)	\sum_y	: 建屋の影響を加算した濃度のy方向の拡がりのパラメータ	(m)	<p>5.1.1(3)b)2)放出源の高さが地表面よりも十分離れている場合には、地表面からの反射による濃度の寄与が小さくなり、右辺の指数減衰項は1に比べて小さくなることを確認している。</p> <p>5.1.1(3)c)放出源及び評価点が地上面にある場合 ($z=0, H=0$)、地上面の濃度を適用して、(5.5)式で評価している。</p> <p>5.1.2→内規のとおり</p> <p>5.1.2(1)a)原子炉冷却材喪失、主蒸気管破断ともに、放出点と巻き込みを生じる建屋との位置関係について、示された条件すべてに該当するため、放出点から放出された放射性物質は建屋の風下側で巻き込みの影響を受け拡散し、評価点に到達するものとして評価している。</p>
$z(x,y,0)$: 評価点(x,y,0)の放射性物質の濃度	(Bq/m^3)														
Q	: 放射性物質の放出率	(Bq/s)														
U	: 放出源を代表する風速	(m/s)														
\sum_x	: 建屋の影響を加算した濃度のx方向の拡がりのパラメータ	(m)														
\sum_y	: 建屋の影響を加算した濃度のy方向の拡がりのパラメータ	(m)														

原子炉制御室の居住性に係る被ばく評価手法について（内規）

制御室居住性に係る被ばく評価の適合状況

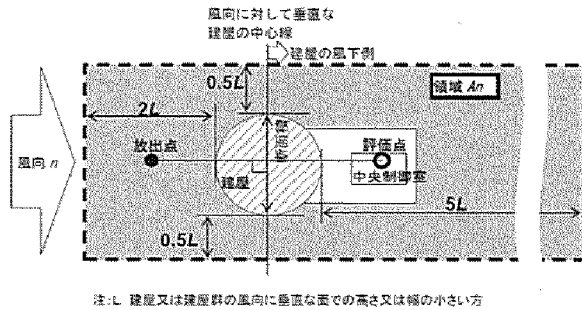


図5.1 建屋影響を考慮する条件（水平断面での位置関係）

b) 実験等によって、より具体的な最新知見が得られた場合、例えば風洞実験の結果から建屋の影響を受けていないことが明らかになった場合にはこの限りではない。

5.1.2(1)b) 5.1.2(1)a)に従って評価している。

原子炉制御室の居住性に係る被ばく評価手法について（内規）

制御室居住性に係る被ばく評価の適合状況

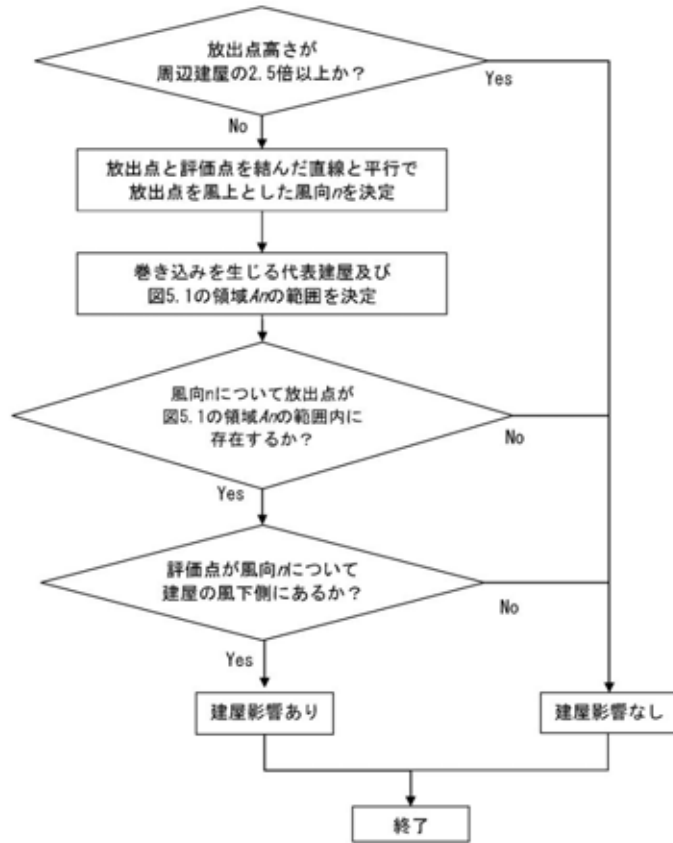
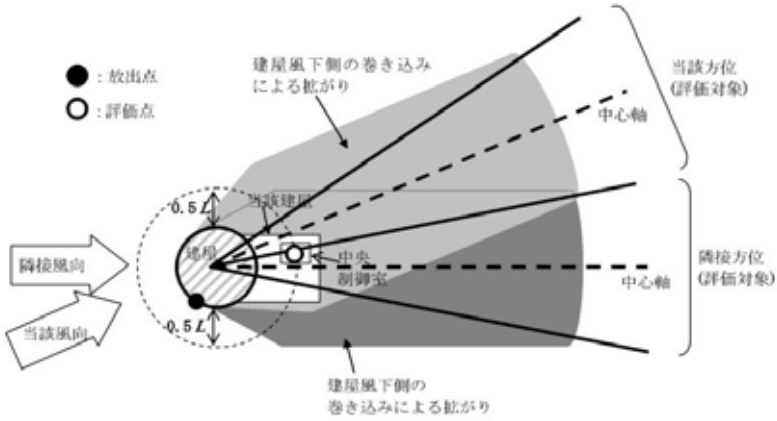
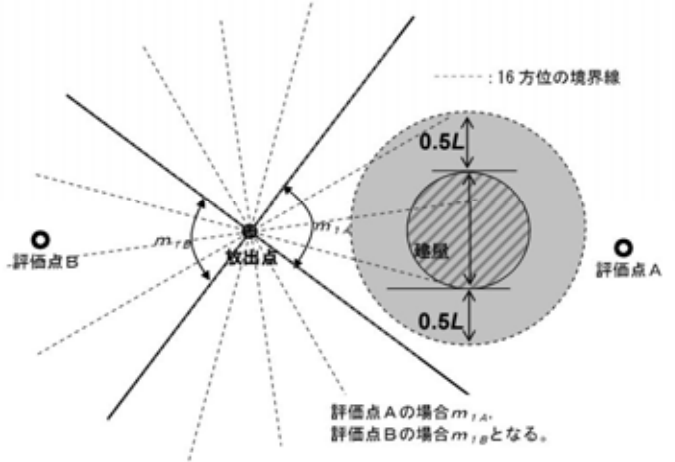


図 5.2 建屋影響の有無の判断手順

原子炉制御室の居住性に係る被ばく評価手法について（内規）	制御室居住性に係る被ばく評価の適合状況
<p>(2) 建屋後流の巻き込みによる放射性物質の拡散の考え方</p> <p>a) 「5.1.2 原子炉施設周辺の建屋影響による拡散」(1)a)項で、建屋後流での巻き込みが生じると判定された場合、ブルームは、通常の大気拡散によって放射性物質が拡がる前に、巻き込み現象によって放射性物質の拡散が行われたと考える。 このような場合には、風下着目方位を1方位のみとせず、複数方位を着目方位と見込み、かつ、保守的な評価となるよう、すべての評価対象方位について風下中心軸上の最大濃度を用いる。</p> <p>b) この場合の拡散パラメータは、建屋等の投影面積の関数であり、かつ、その中での濃度分布は正規分布と仮定する。 建屋影響を受けない通常の大気拡散の基本式(5.1)式と同様、建屋影響を代入した基本拡散式(5.3)式も正規分布を仮定しているが、建屋の巻き込みによる初期拡散効果によって、ゆるやかな分布となる。(図 5.3)</p> <div data-bbox="392 646 1064 1276"> <p>(a) 水平方向</p> <p>(b) 鉛直方向</p> </div> <p>図 5.3 建屋による巻き込み現象を考えた建屋周辺の濃度分布の考え方</p>	<p>5.1.2(2)a) 着目方位を1方位のみとせず、複数方位を着目方位と見込み、かつ、保守的な評価となるよう、全ての評価対象方位について風下中心軸上の最大濃度を用いて評価している。</p> <p>5.1.2(2)b) この場合の拡散パラメータは、建屋等の投影面積の関数であり、かつ、その中での濃度分布は正規分布と仮定して評価している。</p>

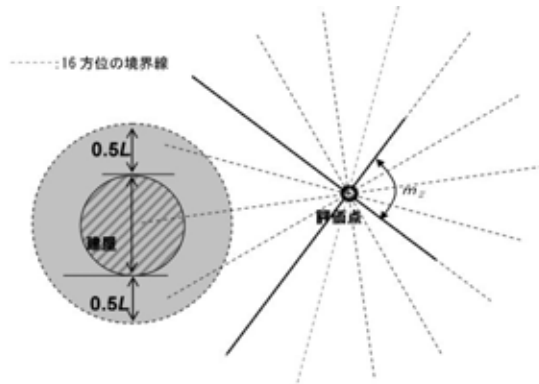
原子炉制御室の居住性に係る被ばく評価手法について（内規）	制御室居住性に係る被ばく評価の適合状況													
<p>(3) 建屋による巻き込みの評価条件</p> <p>a) 巻き込みを生じる代表建屋</p> <ol style="list-style-type: none"> 1) 原子炉施設の近辺では、隣接する複数の建屋の風下側で広く巻き込みによる拡散が生じているものとする。 2) 巻き込みを生じる建屋として、原子炉格納容器、原子炉建屋、原子炉補助建屋、タービン建屋、コントロール建屋、燃料取り扱い建屋等、原則として放出源の近隣に存在するすべての建屋が対象となるが、巻き込みの影響が最も大きいと考えられる一つの建屋を代表として相対濃度を算出することは、保守的な結果を与える【解説5.6】。 3) 巻き込みを生じる代表的な建屋として、表5.1に示す建屋を選定することは適切である。 <p style="text-align: center;">表5.1 放射性物質の巻き込みの対象とする代表建屋の選定例</p> <table border="1" data-bbox="378 624 1028 858"> <thead> <tr> <th>原子炉施設</th> <th>想定事故</th> <th>建屋の種類</th> </tr> </thead> <tbody> <tr> <td rowspan="2">BWR型原子炉施設</td> <td>原子炉冷却材喪失</td> <td>原子炉建屋(建屋影響がある場合)</td> </tr> <tr> <td>主蒸気管破断</td> <td>原子炉建屋又はタービン建屋(結果が厳しい方で代表)</td> </tr> <tr> <td rowspan="2">PWR型原子炉施設</td> <td>原子炉冷却材喪失</td> <td>原子炉格納容器(原子炉格納施設)、 原子炉格納容器(原子炉格納施設)及び 原子炉建屋</td> </tr> <tr> <td>蒸気発生器伝熱管破損</td> <td>原子炉格納容器(原子炉格納施設)、 原子炉格納容器(原子炉格納施設)及び 原子炉建屋</td> </tr> </tbody> </table> <p>b) 放射性物質濃度の評価点</p> <ol style="list-style-type: none"> 1) 中央制御室が属する建屋の代表面の選定 中央制御室内には、中央制御室が属する建屋（以下、「当該建屋」）の表面から、事故時に外気取入を行う場合は主に給気口を介して、また事故時に外気の取入れを遮断する場合には流入によって、放射性物質が侵入するとする。 2) 建屋の影響が生じる場合、中央制御室を含む当該建屋の近辺ではほぼ全般にわたり、代表建屋による巻き込みによる拡散の効果が及んでいると考えられる。このため、中央制御室換気設備の非常時の運転モードに応じて、次のi)又はii)によって、当該建屋の表面の濃度を計算する。 <ol style="list-style-type: none"> i) 評価期間中も給気口から外気を取入れることを前提とする場合は、給気口が設置されている当該建屋の表面とする。 ii) 評価期間中は外気を遮断することを前提とする場合は、中央制御室が属する当該建屋の各表面（屋上面又は側面）のうちの代表面（代表評価面）を選定する。 	原子炉施設	想定事故	建屋の種類	BWR型原子炉施設	原子炉冷却材喪失	原子炉建屋(建屋影響がある場合)	主蒸気管破断	原子炉建屋又はタービン建屋(結果が厳しい方で代表)	PWR型原子炉施設	原子炉冷却材喪失	原子炉格納容器(原子炉格納施設)、 原子炉格納容器(原子炉格納施設)及び 原子炉建屋	蒸気発生器伝熱管破損	原子炉格納容器(原子炉格納施設)、 原子炉格納容器(原子炉格納施設)及び 原子炉建屋	<p>5.1.2(3)a) 巻き込みを生じる建屋として、巻き込みの影響が最も大きいと考えられる一つの建屋を代表として相対濃度を算出している。代表建屋は表5.1に示されているとおり、原子炉冷却材喪失の場合は原子炉建屋、主蒸気管破断の場合は原子炉建屋又はタービン建屋のうち結果が厳しい原子炉建屋で代表している。</p> <p>5.1.2(3)b).1) 事故時には外気の取入れを遮断した上で再循環運転を行うが、同時に外気取込を行うため、中央制御室内には、流入及び給気口を介して放射性物質が侵入するものとして評価している。5.1.2(3)b)2) 事故時には外気の取入れを遮断した上で再循環運転を行うため、代表面を選定して濃度を評価している。</p>
原子炉施設	想定事故	建屋の種類												
BWR型原子炉施設	原子炉冷却材喪失	原子炉建屋(建屋影響がある場合)												
	主蒸気管破断	原子炉建屋又はタービン建屋(結果が厳しい方で代表)												
PWR型原子炉施設	原子炉冷却材喪失	原子炉格納容器(原子炉格納施設)、 原子炉格納容器(原子炉格納施設)及び 原子炉建屋												
	蒸気発生器伝熱管破損	原子炉格納容器(原子炉格納施設)、 原子炉格納容器(原子炉格納施設)及び 原子炉建屋												

原子炉制御室の居住性に係る被ばく評価手法について（内規）	制御室居住性に係る被ばく評価の適合状況
<p>3) 代表面における評価点</p> <p>i) 建屋の巻き込みの影響を受ける場合には、中央制御室の属する建屋表面での濃度は風下距離の依存性は小さくほぼ一律と考えられるので、評価点は厳密に定める必要はない。屋上面を代表とする場合、例えば中央制御室の中心点を評価点とするのは妥当である。</p> <p>ii) 中央制御室が属する当該建屋とは、原子炉建屋、原子炉補助建屋又はコントロール建屋などが相当する。</p> <p>iii) 代表評価面は、当該建屋の屋上面とすることは適切な選定である。また、中央制御室が屋上面から離れている場合は、当該建屋の側面を代表評価面として、それに対応する高さでの濃度を対で適用することも適切である。</p> <p>iv) 屋上面を代表面とする場合、評価点として中央制御室の中心点を選定し、対応する風下距離から拡散パラメータを算出してもよい。また $\sigma_y=0$ 及び $\sigma_z=0$ として、σ_y、σ_z の値を適用してもよい。</p> <p>e) 着目方位</p> <p>1) 中央制御室の被ばく評価の計算では、代表建屋の風下後流側での広範囲に及び乱流混合域が顕著であることから、放射性物質濃度を計算する当該着目方位としては、放出源と評価点とを結ぶラインが含まれる1方位のみを対象とするのではなく、図5.4に示すように、代表建屋の後流側の拡がりの影響が評価点に及び可能性のある複数の方位を対象とする【解説5.7】。</p>  <p>図 5.4 建屋後流での巻き込み影響を受ける場合の考慮すべき方位</p>	<p>5.1.2(3)b) 3) 中央制御室が属する原子炉建屋屋上面を代表とし中央制御室の中心点を評価点としている。</p> <p>5.1.2(3)c) 1) 代表建屋の風下後流側での広範囲に及び乱流混合域が顕著であることから、放射性物質濃度を計算する当該着目方位としては、放出源と評価点を結ぶラインが含まれる1方位のみを対象とするのではなく、図5.4に示すように、代表建屋の後流側の拡がりの影響が評価点に及び可能性のある複数の方位を対象として評価している。</p>

原子炉制御室の居住性に係る被ばく評価手法について（内規）	制御室居住性に係る被ばく評価の適合状況
<p>評価対象とする方位は、放出された放射性物質が建屋の影響を受けて拡散すること、及び建屋の影響を受けて拡散された放射性物質が評価点に届くことの両方に該当する方位とする。</p> <p>具体的には、全16方位について以下の三つの条件に該当する方位を選定し、すべての条件に該当する方位を評価対象とする。</p> <p>i) 放出点が評価点の風上にあること</p> <p>ii) 放出点から放出された放射性物質が、建屋の風下側に巻き込まれるような範囲に、放出点が存在すること。この条件に該当する風向の方位m_1の選定には、図5.5のような方法を用いることができる。図5.5の対象となる二つの風向の方位の範囲m_{1A}、m_{1B}のうち、放出点が評価点の風上となるどちらか一方の範囲が評価の対象となる。放出点が建屋に接近し、0.5Lの拡散領域(図5.5のハッチング部分)の内部にある場合は、風向の方位m_1は放出点が評価点の風上となる180°が対象となる【解説5.8】。</p>  <p>注：Lは風向に垂直な建屋の投影面の高さ又は投影面の幅のうちの小さい方</p> <p>図5.5 建屋の風下側で放射性物質が巻き込まれる風向の方位m_1の選定方法 (水平断面での位置関係)</p> <p>iii) 建屋の風下側で巻き込まれた大気が評価点に到達すること。この条件に該当する風向の方位m_2の選定には、図5.6に示す方法を用いることができる。評価点が建屋に接近し、0.5Lの拡散領域(図5.6のハッチング部分)の内部にある場合は、風向の方位m_2は放出点が評価点の風上となる180°が対象となる【解説5.8】。</p>	<p>全16方位について三つの条件に該当する方位を選定し、すべての条件に該当する方位を評価対象として評価している。</p>

原子炉制御室の居住性に係る被ばく評価手法について（内規）

制御室居住性に係る被ばく評価の適合状況



注：Lは風向に垂直な建屋の投影面の高さ又は投影面の幅のうちの小さい方

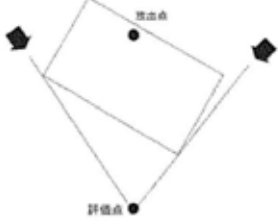
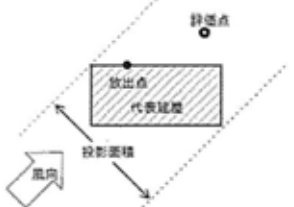
図 5.6 建屋の風下側で巻き込まれた大気が評価点に到達する風向の方位 m_0 の選定方法(水平断面での位置関係)

図 5.5 及び図 5.6 は、断面が円筒形状の建屋を例として示しているが、断面形状が矩形の建屋についても、同じ要領で評価対象の方位を決定することができる【解説 5.9】。建屋の影響がある場合の評価対象方位選定手順を、図 5.7 に示す。



図 5.7 建屋の影響がある場合の評価対象方位選定手順

→図5.7のように建屋の影響がある場合の評価対象方位選定手順に従って、建屋の巻き込み評価をしている。

原子炉制御室の居住性に係る被ばく評価手法について（内規）	制御室居住性に係る被ばく評価の適合状況
<p>2) 具体的には、図5.8のとおり、当該建屋表面において定めた評価点から、原子炉施設の代表建屋の水平断面を見込む範囲にあるすべての方位を定める。【解説5.7】幾何学的に建屋群を見込む範囲に対して、気象評価上の方位とのずれによって、評価すべき方位の数が増加することが考えられるが、この場合、幾何学的な見込み範囲に相当する適切な見込み方位の設定を行ってもよい【解説5.10】。</p>  <p>図5.8 評価対象方位の設定</p> <p>d) 建屋投影面積</p> <ol style="list-style-type: none"> 1) 図5.9に示すとおり、風向に垂直な代表建屋の投影面積を求め、放射性物質の濃度を求めるために大気拡散式の入力とする【解説5.11】。 2) 建屋の影響がある場合の多くは複数の風向を対象に計算する必要があるので、風向の方位ごとに垂直な投影面積を求める。ただし、対象となる複数の方位の投影面積の中で、最小面積を、すべての方位の計算の入力として共通に適用することは、合理的であり保守的である。 3) 風下側の地表面から上の投影面積を求め大気拡散式の入力とする。方位によって風下側の地表面の高さが異なる場合は、方位ごとに地表面高さから上の面積を求める。また、方位によって、代表建屋とは別の建屋が重なっている場合でも、原則地表面から上の代表建屋の投影面積を用いる【解説5.12】。  <p>図5.9 風向に垂直な建屋投影面積の考え方</p>	<p>5.1.2(3)c)2)当該建屋表面において定めた評価点から、原子炉施設の代表建屋の水平断面を見込む範囲にあるすべての方位を定めて評価している。</p> <p>5.1.2(3)d)1)風向に垂直な代表建屋の投影面積を求めて、放射性物質の濃度を求めるために大気拡散式の入力としている。</p> <p>5.1.2(3)d)2)全ての方位に対して最小面積である、地表面から上の原子炉建屋の最小投影面積を、すべての方位の計算の入力として共通に適用している。</p> <p>5.1.2(3)d)3)風下側の地表面から上の投影面積を求め大気拡散式の入力とするが、地表面から上の原子炉建屋の最小投影面積を用いたため、地表面から上の原子炉建屋の最小投影面積を全ての方位の計算の入力として共通に適用している。</p>

原子炉制御室の居住性に係る被ばく評価手法について（内規）	制御室居住性に係る被ばく評価の適合状況												
<p>(4) 建屋の影響がない場合の計算に必要な具体的な条件</p> <p>a) 放射性物質濃度の評価点の選定 建屋の影響がない場合の放射性物質の拡がりのパラメータはσ_y及びσ_zのみとなり、放出点からの風下距離の影響が大きいことを考慮して、以下のとおりとする。</p> <p>1) 非常時に外気の取入れを行う場合 外気取入口の設置されている点を評価点とする。</p> <p>2) 非常時に外気の取入れを遮断する場合 当該建屋表面において以下を満たす点を評価点とする。 ① 風下距離：放出点から中央制御室の最近接点までの距離 ② 放出点との高度差が最小となる建屋面</p> <p>b) 風向の方位 建屋の影響がない場合は、放出点から評価点を結ぶ風向を含む1方位のみについて計算を行う。</p> <p>5.1.3 濃度分布の拡がりのパラメータσ_y、σ_z</p> <p>(1) 風下方向の通常の大気拡散による拡がりのパラメータσ_y及びσ_zは、風下距離及び大気安定度に応じて、図5.10又はそれに対応する相関式によって求める。</p> <p>(2) 相関式から求める場合は、次のとおりとする^(※3)。</p> $\log \sigma_z = \log \sigma_1 + \{a_1 + a_2 \log x + a_3 (\log x)^2\} \log x \quad \dots \dots \dots (5.6)$ $\sigma_y = 0.67775 \theta_{0.1} x (5 - \log x) \quad \dots \dots \dots (5.7)$ <table border="0" style="margin-left: 40px;"> <tr> <td style="padding-right: 10px;">x</td> <td style="padding-right: 20px;">: 風下距離</td> <td style="text-align: right;">(km)</td> </tr> <tr> <td>σ_y</td> <td>: 濃度の水平方向の拡がりパラメータ</td> <td style="text-align: right;">(m)</td> </tr> <tr> <td>σ_z</td> <td>: 濃度の鉛直方向の拡がりパラメータ</td> <td style="text-align: right;">(m)</td> </tr> <tr> <td>$\theta_{0.1}$</td> <td>: 0.1kmにおける角度因子の値</td> <td style="text-align: right;">(deg)</td> </tr> </table> <p>a) 角度因子θは、$\theta(0.1\text{km}) / \theta(100\text{km}) = 2$とし、図5.10の風下距離を対数にとった片対数軸で直線内挿とした経験式のパラメータである。$\theta(0.1\text{km})$の値を表5.2に示す。</p> <p>b) (5.6)式のσ_1、a_1、a_2、a_3の値を、表5.3に示す。</p>	x	: 風下距離	(km)	σ_y	: 濃度の水平方向の拡がりパラメータ	(m)	σ_z	: 濃度の鉛直方向の拡がりパラメータ	(m)	$\theta_{0.1}$: 0.1kmにおける角度因子の値	(deg)	<p>5.1.2(4)建屋の影響を考慮して評価している。</p> <p>5.1.3→内規のとおり</p> <p>5.1.3(1)(2)風下方向の通常の大気拡散による拡がりのパラメータσ_y及びσ_zは、風下距離及び大気安定度に応じて、示された相関式から求めている。</p>
x	: 風下距離	(km)											
σ_y	: 濃度の水平方向の拡がりパラメータ	(m)											
σ_z	: 濃度の鉛直方向の拡がりパラメータ	(m)											
$\theta_{0.1}$: 0.1kmにおける角度因子の値	(deg)											

原子炉制御室の居住性に係る被ばく評価手法について（内規）

制御室居住性に係る被ばく評価の適合状況

表 5.2 $\theta_{0.1}$: 0.1kmにおける角度因子の値(deg)

大気安定度	A	B	C	D	E	F
$\theta_{0.1}$	50	40	30	20	15	10

表 5.3(1/2) 拡散のパラメータ $\sigma_1, \alpha_1, \alpha_2, \alpha_3$ の値

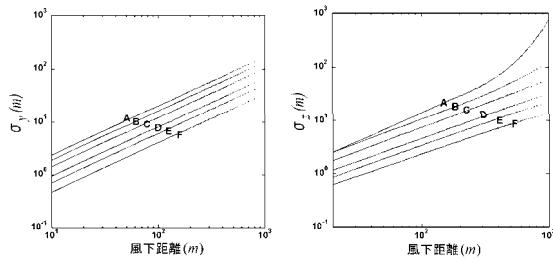
(a) 風下距離が0.2km未満
(α_2, α_3 は 0 とする)

大気安定度	σ_1	α_1
A	165.	1.07
B	83.7	0.894
C	58.0	0.891
D	33.0	0.854
E	24.4	0.854
F	15.5	0.822

表 5.3(2/2) 拡散のパラメータ $\sigma_1, \alpha_1, \alpha_2, \alpha_3$ の値

(b) 風下距離が0.2km以上

大気安定度	σ_1	α_1	α_2	α_3
A	768.1	3.9077	3.898	1.7330
B	122.0	1.4132	0.49523	0.12772
C	58.1	0.8916	-0.001649	0.0
D	37.1	0.7626	-0.095108	0.0
E	22.2	0.7117	-0.12697	0.0
F	13.8	0.6582	-0.1227	0.0



(a) y 方向の拡がりのパラメータ(σ_y) (b) z 方向の拡がりのパラメータ(σ_z)

図 5.10 濃度の拡がりのパラメータ

原子炉制御室の居住性に係る被ばく評価手法について（内規）	制御室居住性に係る被ばく評価の適合状況
<p>(2) $(\chi/Q)_i$ の計算式</p> <p>a) 建屋の影響を受けない場合の計算式 建屋の巻き込みによる影響を受けない場合は、相対濃度は、次の 1) 及び 2) のとおり、短時間放出又は長時間放出に応じて計算する。</p> <p>1) 短時間放出の場合 短時間放出の場合、$(\chi/Q)_i$ の計算は、風向が一定と仮定して(5.11)式^(※3)によって計算する。</p> $(\chi/Q)_i = \frac{1}{2\pi\sigma_{yi}\sigma_{zi}U_i} \cdot \left[\exp\left\{-\frac{(z-H)^2}{2\sigma_{zi}^2}\right\} + \exp\left\{-\frac{(z+H)^2}{2\sigma_{zi}^2}\right\} \right] \quad \dots\dots (5.11)$ <p>$(\chi/Q)_i$: 時刻 i の相対濃度 (s/m³) z : 評価点の高さ (m) H : 放出源の高さ(排気筒有効高さ) (m) U_i : 時刻 i の風速 (m/s) σ_{yi} : 時刻 i で、濃度の水平方向の 拡がりパラメータ (m) σ_{zi} : 時刻 i で、濃度の鉛直方向の 拡がりパラメータ (m)</p> <p>2) 長時間放出の場合 実効放出時間が 8 時間を超える場合には、$(\chi/Q)_i$ の計算に当たっては、放出放射性物質の全量が一方位内のみに一様分布すると仮定して(5.12)式^(※3)によって計算する。</p> $(\chi/Q)_i = \frac{2.032}{2\sigma_{zi}U_ix} \cdot \left[\exp\left\{-\frac{(z-H)^2}{2\sigma_{zi}^2}\right\} + \exp\left\{-\frac{(z+H)^2}{2\sigma_{zi}^2}\right\} \right] \quad \dots\dots (5.12)$ <p>$(\chi/Q)_i$: 時刻 i の相対濃度 (s/m³) H : 放出源の高さ(排気筒有効高さ) (m) x : 放出源から評価点までの距離 (m) U_i : 時刻 i の風速 (m/s) σ_{zi} : 時刻 i で、濃度の鉛直方向の 拡がりパラメータ (m)</p>	<p>5.2.2(2)a) 原子炉冷却材喪失、主蒸気管破断ともに建屋の影響を受けるため 5.2.2(2)b) に基づき相対濃度を計算している。</p>

原子炉制御室の居住性に係る被ばく評価手法について（内規）	制御室居住性に係る被ばく評価の適合状況																				
<p>b) 建屋の影響を受ける場合の計算式</p> <p>5.1.2 項の考え方にに基づき、中央制御室を含む建屋の後流側では、建屋の投影面積に応じた初期拡散による拡がりをもつ濃度分布として計算する。また、実効放出継続時間に応じて、次の 1)又は 2)によって、相対濃度を計算する。</p> <p>1) 短時間放出の場合</p> <p>建屋影響を受ける場合の濃度分布は、風向に垂直な建屋の投影の幅と高さに相当する拡がりの中で、放出点からの軸上濃度を最大値とする正規分布として仮定する。短時間放出の計算の場合には保守的に水平濃度分布の中心軸上に中央制御室評価点に存在し風向が一定であるものとして、(5.13)式^(*)によって計算する。</p> $(\chi/Q)_i = \frac{1}{2\pi \sum_{y_i} \sum_{z_i} U_i} \left[\exp\left\{-\frac{(z-H)^2}{2\sum_{z_i}^2}\right\} + \exp\left\{-\frac{(z+H)^2}{2\sum_{z_i}^2}\right\} \right] \dots\dots (5.13)$ $\sum_{y_i} = \sqrt{\sigma_{y_i}^2 + \frac{cA}{\pi}} \quad , \quad \sum_{z_i} = \sqrt{\sigma_{z_i}^2 + \frac{cA}{\pi}}$ <table style="width: 100%; border: none;"> <tr> <td style="width: 50%;">(χ/Q)_i : 時刻<i>i</i>の相対濃度</td> <td style="width: 50%; text-align: right;">(s/m³)</td> </tr> <tr> <td>H : 放出源の高さ</td> <td style="text-align: right;">(m)</td> </tr> <tr> <td>z : 評価点の高さ</td> <td style="text-align: right;">(m)</td> </tr> <tr> <td>U_i : 時刻<i>i</i>の風速</td> <td style="text-align: right;">(m/s)</td> </tr> <tr> <td>A : 建屋等の風向方向の投影面積</td> <td style="text-align: right;">(m²)</td> </tr> <tr> <td>c : 形状係数</td> <td style="text-align: right;">(-)</td> </tr> <tr> <td>∑_{y_i} : 時刻<i>i</i>で、建屋等の影響を入れた濃度の水平方向の拡がりパラメータ</td> <td style="text-align: right;">(m)</td> </tr> <tr> <td>∑_{z_i} : 時刻<i>i</i>で、建屋等の影響を入れた濃度の鉛直方向の拡がりパラメータ</td> <td style="text-align: right;">(m)</td> </tr> <tr> <td>σ_{y_i} : 時刻<i>i</i>で、濃度の水平方向の拡がりパラメータ</td> <td style="text-align: right;">(m)</td> </tr> <tr> <td>σ_{z_i} : 時刻<i>i</i>で、濃度の鉛直方向の拡がりパラメータ</td> <td style="text-align: right;">(m)</td> </tr> </table> <p>2) 長時間放出の場合</p> <p>1) 長時間放出の場合には、建屋の影響のない場合と同様に、1 方位内で平均した濃度として求めてもよい。</p>	(χ/Q) _i : 時刻 <i>i</i> の相対濃度	(s/m ³)	H : 放出源の高さ	(m)	z : 評価点の高さ	(m)	U _i : 時刻 <i>i</i> の風速	(m/s)	A : 建屋等の風向方向の投影面積	(m ²)	c : 形状係数	(-)	∑ _{y_i} : 時刻 <i>i</i> で、建屋等の影響を入れた濃度の水平方向の拡がりパラメータ	(m)	∑ _{z_i} : 時刻 <i>i</i> で、建屋等の影響を入れた濃度の鉛直方向の拡がりパラメータ	(m)	σ _{y_i} : 時刻 <i>i</i> で、濃度の水平方向の拡がりパラメータ	(m)	σ _{z_i} : 時刻 <i>i</i> で、濃度の鉛直方向の拡がりパラメータ	(m)	<p>5.2.2(2)b) 5.1.2 項の考え方にに基づき、中央制御室を含む建屋の後流側では、建屋の投影面積に応じた初期拡散による拡がりを持つ濃度分布として計算している。また、5.2.2(2)b)2) iv) に基づき、実効放出継続時間によらず 5.2.2(2)b)1)によって、相対濃度を計算している。</p> <p>5.2.2(2)b)1) 建屋影響を受ける場合の濃度分布は、風向に垂直な建屋の投影幅と高さに相当する拡がりの中で、放出点から軸上濃度を最大値とする正規分布として仮定している。短時間放出の計算のため、保守的に水平濃度分布の中心軸上に中央制御室評価点が存在し風向が一定であるものとして、(5.13)式によって計算している。</p> <p>5.2.2(2)b)2) 保守的かつ簡便な計算を行うため、平均化処理を行う代わりに、短時間の計算式による最大濃度として計算している。</p>
(χ/Q) _i : 時刻 <i>i</i> の相対濃度	(s/m ³)																				
H : 放出源の高さ	(m)																				
z : 評価点の高さ	(m)																				
U _i : 時刻 <i>i</i> の風速	(m/s)																				
A : 建屋等の風向方向の投影面積	(m ²)																				
c : 形状係数	(-)																				
∑ _{y_i} : 時刻 <i>i</i> で、建屋等の影響を入れた濃度の水平方向の拡がりパラメータ	(m)																				
∑ _{z_i} : 時刻 <i>i</i> で、建屋等の影響を入れた濃度の鉛直方向の拡がりパラメータ	(m)																				
σ _{y_i} : 時刻 <i>i</i> で、濃度の水平方向の拡がりパラメータ	(m)																				
σ _{z_i} : 時刻 <i>i</i> で、濃度の鉛直方向の拡がりパラメータ	(m)																				

原子炉制御室の居住性に係る被ばく評価手法について（内規）	制御室居住性に係る被ばく評価の適合状況
<p>ii) ただし、建屋の影響による拡がりの幅が風向の1方位の幅よりも拡がり隣接の方位にまで及ぶ場合には、建屋の影響がない場合の(5.12)式のような、放射性物質の拡がりの全量を計算し1方位の幅で平均すると、短時間放出の(5.13)式で得られる最大濃度より大きな値となり不合理な結果となることがある【解説 5.14】。</p> <p>iii) ii)の場合、1方位内に分布する放射性物質の量を求め、1方位の幅で平均化処理することは適切な例である。</p> <p>iv) ii)の場合、平均化処理を行うかわりに、長時間でも短時間の計算式による最大濃度として計算を行うことは保守的であり、かつ計算も簡便となる。</p> <p>5.3 相対線量(D/Q)</p> <p>(1) 大気中に放出された放射性物質に起因する放射性雲からのガンマ線による全身に対しての線量を計算するために、空気カーマを用いた相対線量を計算する。</p> <p>(2) 空気カーマから全身に対しての線量への換算係数は、1Sv/Gyとする。</p> <p>(3) 評価点(x, y, 0)における空気カーマ率は、(5.14)式^(注5)によって計算する。</p> $D = K_I E \mu_a \int_0^{\infty} \int_0^{\infty} \int_0^{\infty} \frac{e^{-\mu r}}{4\pi r^2} B(\mu r) \chi(x', y', z') dx' dy' dz' \quad \dots \dots \dots (5.14)$ $B(\mu r) = 1 + \alpha(\mu r) + \beta(\mu r)^2 + \gamma(\mu r)^3$ <p>D : 評価点(x, y, 0)における空気吸収線量率 (μGy/s)</p> <p>K_I : 空気吸収線量率への換算係数 $\left(\frac{dis \cdot m^3 \cdot \mu Gy}{MeV \cdot Bq \cdot s} \right)$</p> <p>E : ガンマ線の実効エネルギー (MeV/dis)</p> <p>μ_a : 空気に対するガンマ線の線エネルギー吸収係数 (1/m)</p> <p>μ : 空気に対するガンマ線の線減衰係数 (1/m)</p> <p>r : (x', y', z')から(x, y, 0)までの距離 (m)</p> <p>B(μr) : 空気に対するガンマ線の再生係数</p> <p>χ(x', y', z') : (x', y', z')の濃度 (Bq/m³)</p> <p>μ_a, μ, α, β, γは、0.5MeVのガンマ線に対する値を用いる。</p> <p>(4) 建屋影響を受ける場合は、χ(x', y', z')の計算において、建屋影響の効果を代入してもよい。 (「5.2.2(2)b)建屋の影響を受ける場合の計算式」参照)</p>	<p>5.3→内規のとおり</p> <p>5.3(1)大気中に放出された放射性物質に起因する放射性雲からのガンマ線による全身に対しての線量を計算するために、空気カーマを用いた相対線量を計算している。</p> <p>5.3(2)空気カーマから全身に対しての線量への換算係数は、1Sv/Gyとして評価している。</p> <p>5.3(3)評価点(x, y, 0)における空気カーマ率は、(5.14)式によって計算している。</p> <p>5.3(4)建屋影響を受けるため、建屋影響の効果を代入している。</p>

原子炉制御室の居住性に係る被ばく評価手法について（内規）	制御室居住性に係る被ばく評価の適合状況
<p>(5) 評価点を放出点と同じ高さ（風下軸上）に設定し、$\chi(x, y, z)$を計算する場合の建屋の巻き込み効果を見込まずに計算することは、合理的かつ保守的である。ただし、建屋影響を受ける場合は、この影響を見込んだ複数方位を、着目方位とする必要がある。（「5.1.2(3)c)着目方位」参照）</p> <p>6. 建屋内の放射性物質からのスカイシャインガンマ線及び直接ガンマ線</p> <p>(1) 次のa), b)及びc)を、6.1から6.3までに示す方法によって計算する。</p> <p>a) スカイシャインガンマ線及び直接ガンマ線の線源となる建屋内放射線源の計算</p> <p>b) スカイシャインガンマ線の計算</p> <p>c) 直接ガンマ線の計算</p> <p>(3) 地形及び施設の構造上の理由によって、スカイシャインガンマ線及び直接ガンマ線による線量が大气中に放出された放射性物質による線量に対し明らかに有意な寄与とならない場合には、評価を省略することができる。</p> <p>6.1 スカイシャインガンマ線及び直接ガンマ線の線源の計算</p> <p>(1) 原子炉冷却材喪失（BWR型原子炉施設）</p> <p>a) 事故の想定は、「4.1.1原子炉冷却材喪失」とする。</p> <p>b) 事故時に炉心から原子炉格納容器内に放出された放射性物質は、原子炉格納容器からの漏えいによって原子炉建屋（二次格納施設）に放出される。この二次格納施設内の放射性物質をスカイシャインガンマ線及び直接ガンマ線の線源とする。</p> <p>c) 二次格納施設内の放射性物質は自由空間容積に均一に分布するものとする。</p> <p>d) 二次格納施設内の放射性物質の崩壊による減衰及び非常用ガス処理系による除去効果を計算する。</p> <p>e) スカイシャインガンマ線の線源は、原子炉建屋運転階に存在する放射性物質とする【解説6.1】。</p> <p>f) 計算対象とする核種は希ガス及びよう素とし、核分裂収率が小さく半減期の極めて短いもの及びエネルギーの小さいものは、計算の対象としなくてもよい【解説6.2】。</p> <p>g) 希ガス及びよう素の原子炉格納容器内に放出される放射性物質の量の炉心内蓄積量に対する割合は、希ガス100%、よう素50%とする。</p> <p>h) 事故後30日間の積算線源強度は、二次格納施設内の放射性物質によるガンマ線エネルギーをエネルギー範囲によって区分して計算する。</p>	<p>5.3(5)建屋の巻き込み効果を見込んだ計算を行っている。</p> <p>6→内規のとおり</p> <p>6(1)スカイシャインガンマ線及び直接ガンマ線の線源となる建屋内放射線源の計算、スカイシャインガンマ線の計算、直接ガンマ線の計算において、6.1から6.3に示す方法によって評価している。</p> <p>6(3)スカイシャインガンマ線及び直接ガンマ線による線量を評価の対象としており、省略はしていない。</p> <p>6.1(1)→内規のとおり</p> <p>6.1(1)a)事故の想定は、「4.1.1原子炉冷却材喪失」としている。</p> <p>6.1(1)b)事故時に炉心から原子炉格納容器内に放出された放射性物質は、原子炉格納容器からの漏えいによって原子炉建屋（二次格納施設）に放出される。この二次格納施設内の放射性物質をスカイシャインガンマ線及び直接ガンマ線の線源としている。</p> <p>6.1(1)c)二次格納施設内の放射性物質は自由空間容積に均一に分布するものとして評価している。</p> <p>6.1(1)d)二次格納施設内の放射性物質の崩壊による減衰及び非常用ガス処理系による除去効果を計算している。</p> <p>6.1(1)e)スカイシャインガンマ線の線源は、原子炉建屋運転階に存在する放射性物質としている。</p> <p>6.1(1)f)計算対象とする核種は希ガス及びよう素とし、核分裂収率が小さく半減期のきわめて短いもの及びエネルギーの小さいものは、計算対象としない。計算対象は、解説6.2に示された核種としている。</p> <p>6.1(1)g)希ガス及びよう素の原子炉格納容器内に放出される放射性物質の量の炉心蓄積量に対する割合は、希ガス100%、よう素50%としている。</p> <p>6.1(1)h)事故後30日間の積算線源強度は、二次格納施設内の放射性物質によるガンマ線エネルギーをエネルギー範囲によって区分して計算している。</p>

原子炉制御室の居住性に係る被ばく評価手法について（内規）	制御室居住性に係る被ばく評価の適合状況
<p>(2) 主蒸気管破断（BWR型原子炉施設）</p> <p>a) 事故の想定は、「4.1.2主蒸気管破断」とする。</p> <p>b) 事故時に主蒸気管破断口からタービン建屋内に放出された放射性物質は、全量がタービン建屋から漏えいすることなく、タービン建屋の自由空間容積に均一に分布するものとする。このタービン建屋内の放射性物質を直接ガンマ線及びスカイシャインガンマ線の線源とする。</p> <p>c) タービン建屋内の放射性物質の崩壊による減衰を計算する。</p> <p>d) 計算対象とする核種は希ガス及びハロゲン等とし、核分裂収率が小さく半減期の極めて短いもの及びエネルギーの小さいものは、計算の対象としない【解説6.2】。</p> <p>e) 計算対象とする核種及びタービン建屋内への放出量の計算条件は、タービン建屋からの漏えいを無視する以外は、大気中へ放出量の計算条件（「4.1.2主蒸気管破断」参照）と同じとする。</p> <p>f) 事故後30日間の積算線源強度は、タービン建屋内の放射性物質によるガンマ線エネルギーをエネルギー範囲別に区分して計算する。</p> <p>6.2 スカイシャインガンマ線の計算</p> <p>(1) 原子炉施設の建屋内に放出された放射性物質に起因するスカイシャインガンマ線による全身に対する線量は、施設の位置、建屋の配置、形状及び地形条件から計算する。</p> <p>(2) 空気カーマから全身に対するの線量への換算係数は、ガンマ線エネルギーに依存した実効線量への換算係数又は1Sv/Gyとする。</p> <p>(4) スカイシャインガンマ線の計算方法</p> <p>a) スカイシャインガンマ線の計算は一回散乱計算法を用いるものとし、必要に応じて輸送計算コードを適宜組み合わせる。ただし、(6.1)式の内容と同等で技術的妥当性が認められる場合には、特に使用する計算方法を制限するものではない。</p> <p>b) 基本計算式を(6.1)式^(※6, ※7, ※8)とする。</p>	<p>6.1(2)→内規のとおり</p> <p>6.1(2)a) 事故の想定は、「4.1.2 主蒸気管破断」としている。</p> <p>6.1(2)b) 事故時に主蒸気管破断口からタービン建屋内に放出された放射性物質は、全量がタービン建屋から漏えいすることなく、タービン建屋の自由空間容積に均一に分布するものとしている。このタービン建屋内の放射性物質を直接ガンマ線及びスカイシャインガンマ線の線源としている。</p> <p>6.1(2)c) タービン建屋内の放射性物質の崩壊による減衰を計算している。</p> <p>6.1(2)d) 計算対象とする核種は希ガス及びハロゲン等とし、核分裂収率が小さく半減期のきわめて短いもの及びエネルギーの小さいものは、計算対象としない。計算対象は、解説6.2に示された核種としている。</p> <p>6.1(2)e) 計算対象とする核種及びタービン建屋内への放出量の計算条件は、タービン建屋からの漏えいを無視する以外は、大気中への放出量の計算条件（「4.1.2 主蒸気管破断」参照）と同じとしている。</p> <p>6.1(2)f) 事故後30日間の積算線源強度は、タービン建屋内の放射性物質によるガンマ線エネルギーをエネルギー範囲によって区分して計算している。</p> <p>6.2→内規のとおり</p> <p>6.2(1) 原子炉施設の建屋内に放出された放射性物質に起因するスカイシャインガンマ線による全身に対するの線量は、施設の位置、建屋の配置、形状及び地形条件から計算している。</p> <p>6.2(2) 空気カーマから全身に対するの線量への換算係数は、ガンマ線エネルギーに依存した実効線量への換算係数又は1Sv/Gyとして評価している。</p> <p>6.2(4)a) スカイシャインガンマ線の計算は、輸送計算コードを組み合わせ、一回散乱計算法を用い評価している。</p> <p>6.2(4)b) 基本計算式を(6.1)式として評価している。</p>

原子炉制御室の居住性に係る被ばく評価手法について（内規）	制御室居住性に係る被ばく評価の適合状況
<p>$H_s = \int D_s dt$</p> <p>$D_s = \sum_E \sum_x \int_V \Phi(E, x) K(E) \frac{d\sigma(E, \theta)}{d\Omega} \frac{N}{r^2} B(E, b) \exp\left(-\sum_m \mu_i X_m\right) dV \dots\dots\dots (6.1)$</p> <p> H_s :実効線量 (Sv) T :計算期間 (s) D_s :ガンマ線の空気カーマ率 (Gy/s) $\Phi(E, x)$:散乱点に於けるガンマ線束 ($\gamma/(m^2 s)$) μ_i :散乱エネルギー E に於ける物質 i の線減衰係数 (1/m) $K(E)$:散乱エネルギー E の線量率換算係数 (Gy/(γ/m^2)) $B(E, b)$:散乱エネルギー E のガンマ線の散乱点から計算点までの b に対するビルドアップ係数 (-) X_m :領域 m の透過距離 (m) r :散乱点から計算点までの距離 (m) V :散乱体積 (m^3) N :空気中の電子数密度 (electrons/m^3) $\frac{d\sigma}{d\Omega}(E, \theta)$: Klein-Nishina の微分散乱断面積 ($m^2 / steradian$) θ :散乱角 (radian) </p> <p>c) 散乱点におけるガンマ線束は、次のi)又はii)のいずれかの方法によって計算する。 i) 遮へいの影響を、ビルドアップ係数を用いて求める場合^(*)</p> <p>$\Phi(E, x) = \frac{S(E)}{4\pi\rho^2} B(E, b^0) \exp\left(-\sum_j \mu_k X_j\right) \dots\dots\dots (6.2)$</p> <p>$b^0 = \sum_k \sum_n \mu_k X_n$</p> <p> μ_i :線源エネルギー E の物質 i の線減衰係数 (1/m) $S(E)$:線源エネルギー E の線源強度 (γ/s) $B(E, b^0)$:線源エネルギー E のガンマ線の線源点から散乱点までの空気以外の遮へい体の b^0 に対するビルドアップ係数 (-) X_j :領域 j の透過距離 (m) ρ :線源点から散乱点までの距離 (m) μ_k :線源エネルギー E の空気以外の物質 k の線減衰係数 (1/m) X_n :空気以外の物質の領域 n の透過距離 (m) </p>	<p style="text-align: center;">制御室居住性に係る被ばく評価の適合状況</p> <p>6.2(4)c) 散乱点におけるガンマ線束は、ii)の方法によって評価している。</p>

原子炉制御室の居住性に係る被ばく評価手法について（内規）	制御室居住性に係る被ばく評価の適合状況
<p>ii) 遮へいの影響を、輸送計算で求める場合 <small>(※6、※7)</small></p> $\Phi(E, x) = \frac{S_p(E)}{4\pi\rho^2} \exp\left(-\sum_i \mu_i x_i\right) \dots\dots\dots (6.3)$ $S_p(L) = \Phi(\theta) A_s \cos\theta$ <p> μ_i : 線源エネルギー E に於ける領域 i の線減衰係数 (1/m) x_i : 領域 i の透過距離 (m) ρ : 線源点から散乱点までの距離 (m) $S_p(E)$: 線源エネルギー E の線源強度 (γ/s) θ : 鉛直上方向とガンマ線の進行方向がなす角 (radian) $\Phi(\theta)$: 輸送計算式によって求めた θ 方向の角度束 (γ/m²s·weight) $weight = \frac{\Delta\Omega}{4\pi}$ Ω : ガンマ線の放出立体角 (steradian) A_s : 天井面積 (m²) </p> <p>6.3 直接ガンマ線の計算</p> <p>(1) 原子炉施設の建屋内に放出された放射性物質に起因する直接ガンマ線による線量の計算のために、線源、施設の位置関係、建屋構造等から計算の体系モデルを構築する。</p> <p>(2) 空気カーマから全身に対する線量への換算係数は、ガンマ線エネルギーに依存した実効線量への換算係数又は1Sv/Gyとする。</p> <p>(3) 直接ガンマ線の計算方法</p> <p>a) 直接ガンマ線の計算は、点減衰核積分法を用いる。ただし、(6.4)式の内容と同等で、技術的妥当性が認められる場合には、使用する計算方法を制限するものではない。</p> <p>b) 基本計算式は(6.4)式 <small>(※6、※7、※9)</small> とする。</p>	<p>6.3→内規のとおり</p> <p>6.3(1) 原子炉施設の建屋内に放出された放射性物質に起因する直接ガンマ線による線量の計算のために、線源、施設の位置関係、建屋構造等から計算の体系モデルを構築して評価している。</p> <p>6.3(2) 空気カーマから全身に対しての線量への換算係数は、ガンマ線エネルギーに依存した実効線量への換算係数又は1Sv/Gyとして評価している。</p> <p>6.3(3)a) 直接ガンマ線の計算は、点減衰核積分法を用いて評価している。</p> <p>6.3(3)b) 基本計算式は(6.4)式としている。</p>

原子炉制御室の居住性に係る被ばく評価手法について（内規）	制御室居住性に係る被ばく評価の適合状況
$H_d = \sum_E K(E) \int_V \frac{S(E, x, y, z) e^{-\mu_i R} B(E, b)}{4\pi R^2} dV \dots\dots\dots (6.4)$ $b = \sum_i \mu_i l_i$ <p> H_d : 実効線量 (Sv) $K(E)$: 線源エネルギー E に対する線量換算係数 (Sv/(γ/m^2)) $S(E, x, y, z)$: 積算線源強度 (γ/m^3) $B(E, b)$: 線源エネルギー E でガンマ線減衰距離 b に対するビルドアップ係数 (-) μ_i : 線源エネルギー E に対する物質 i の線減衰係数 (1/m) l_i : 物質 i の透過距離 (m) R : 微小体積 dV から計算点までの距離 (m) V : 線源体積 (m^3) </p> <p>7. 中央制御室居住性に係る被ばく評価</p> <p>(1) 中央制御室居住性に係る運転員の被ばくを, 3.2(1)に示した被ばく経路について, 7.1 から 7.5 までに示す方法によって計算する。</p> <p>(2) 次の a)及び b)のとおり, 想定事故に対し, すべての被ばく経路の評価が必要となるものではない【解説 7.1】。</p> <p>a) PWR 型原子炉施設の蒸気発生器伝熱管破損のように, 建屋内に放射性物質が滞留することなく系統から直接環境へ放出されるような事象については, 建屋からのスカイシャインガンマ線及び直接ガンマ線の評価は不要である。</p> <p>b) BWR 型原子炉施設の主蒸気管破断時の半球状雲の放出及び PWR 型原子炉施設の蒸気発生器伝熱管破断時の二次系への漏えい停止までの放出など, 事故発生直後の時間に集中して放出される放射性物質に対しては, 入退域時の線量の評価は不要である。</p> <p>(3) 運転員の勤務状態については, 平常時の直交替を基に設定する。ただし, 直交替の設定を平常時のものから変更する場合, 事故時マニュアル等に当該の運用を記載することが前提である。</p> <p>7.1 建屋内の放射性物質からのガンマ線による中央制御室内での被ばく</p> <p>(1) 次の a)及び b)の被ばく経路について, 運転員の被ばくを, 7.1.1 から 7.1.2 までに示す方法によって計算する(図 7.1)。</p> <p>a) 建屋内の放射性物質からのスカイシャインガンマ線による中央制御室内での被ばく</p> <p>b) 建屋内の放射性物質からの直接ガンマ線による中央制御室内での被ばく</p>	<p>7 →内規のとおり</p> <p>7(1) 中央制御室居住性に係る運転員の被ばくを, 3.2(1)に示した被ばく経路について, 7.1 から 7.5 までに示す方法によって計算している。</p> <p>7(2)b) BWR 型原子炉施設の主蒸気管破断時の半球状雲の放出については, 入退域時の線量の評価には考慮していない。</p> <p>7(3) 運転員の勤務形態については, 平常時の直交替を基に設定している。</p> <p>7.1 →内規のとおり</p> <p>7.1(1) 建屋内の放射性物質からのスカイシャインガンマ線による中央制御室内での被ばく及び建屋内の放射性物質からの直接ガンマ線による中央制御室内での被ばく経路については, 運転員の被ばくを, 7.1.1 から 7.1.2 までに示す方法によって計算している。</p>

原子炉制御室の居住性に係る被ばく評価手法について（内規）	制御室居住性に係る被ばく評価の適合状況
<div data-bbox="519 391 833 590" data-label="Diagram"> </div> <p data-bbox="600 606 757 625">(a) BWR型原子炉施設</p> <p data-bbox="353 641 1016 667">図 7.1 建屋内の放射性物質からのガンマ線による中央制御室内での被ばく経路</p> <p data-bbox="271 719 994 745">7.1.1 建屋内の放射性物質からのスカイシャインガンマ線による中央制御室内での被ばく</p> <p data-bbox="271 746 763 772">(1) 原子炉冷却材喪失時の線量評価(BWR型原子炉施設)</p> <p data-bbox="304 770 1061 842">a) 原子炉冷却材喪失発生後30日間、原子炉建屋(二次格納施設)内に存在する放射性物質を線源としたスカイシャインガンマ線による、中央制御室内における積算線量を計算する(図7.2)。</p> <p data-bbox="304 868 1055 917">b) スカイシャインガンマ線の線源強度は、「6.1スカイシャインガンマ線及び直接ガンマ線の線源の計算」で解析した結果を用いる。</p> <p data-bbox="304 943 1055 1015">c) 線源から中央制御室に至るまでの遮へい効果を、構造物の配置、形状及び組成から計算する。建屋等の構造物や天井に対して、配置、形状及び組成を明らかにして、遮へい効果を見込んでよい。</p> <p data-bbox="304 1040 1055 1090">d) 線量の評価点は、中央制御室内の中心点、操作盤位置等を代表点とする。室内の複数点の計算結果から線量が最大となる点を評価点としてもよい。</p> <p data-bbox="304 1115 1055 1165">e) 中央制御室内の滞在期間を、運転員の勤務状態に即して計算し、30日間の積算線量を滞在期間の割合で配分する。</p> <p data-bbox="304 1190 987 1216">f) スカイシャインガンマ線による運転員の外部被ばく線量は、次のとおり計算する。</p> <div data-bbox="376 1238 898 1287" data-label="Equation-Block"> $\text{外部被ばく線量} = \text{室内作業時スカイシャインガンマ線積算線量} \times \text{直交替による滞在時間割合}^{*1}$ </div> <p data-bbox="389 1292 927 1313">*1) 例:4直3交替勤務の場合 $0.25 = (8\text{h}/直 \times 3直 \times 30日 / 4) / (24\text{h} \times 30日)$</p>	<p data-bbox="1160 719 1397 745">7.1.1 →内規のとおり</p> <p data-bbox="1160 783 1986 871">7.1.1(1)a) 原子炉冷却材喪失発生後 30 日間、原子炉建屋(二次格納施設)内に存在する放射性物質を線源としたスカイシャインガンマ線による、中央制御室内における積算線量を評価している。</p> <p data-bbox="1160 880 1986 968">7.1.1(1)b) スカイシャインガンマ線の線源強度は、「6.1 スカイシャインガンマ線及び直接ガンマ線の線源の計算」で解析した結果を用いて評価している。</p> <p data-bbox="1160 978 1986 1027">7.1.1(1)c) 線源から中央制御室に至るまでの遮蔽効果を、構造物の配置、形状及び組成から評価している。</p> <p data-bbox="1160 1037 1986 1086">7.1.1(1)d) 線量の評価点は、室内の複数点の計算結果から線量が最大となる点を評価点としている。</p> <p data-bbox="1160 1096 1986 1145">7.1.1(1)e) 中央制御室内の滞在期間を、運転員の勤務状態に即して計算し、30日間積算線量を滞在期間の割合で配分して評価している。</p> <p data-bbox="1160 1155 1986 1227">7.1.1(1)f) スカイシャインガンマ線による運転員の外部被ばく線量は、示された計算式を用いて評価している。</p>

原子炉制御室の居住性に係る被ばく評価手法について（内規）	制御室居住性に係る被ばく評価の適合状況
<div data-bbox="432 308 882 632" data-label="Diagram"> <p>図7.2 原子炉冷却材喪失のスカイシャインガンマ線の計算 (BWR型原子炉施設)</p> </div> <p>(3) 主蒸気管破断時の線量評価(BWR型原子炉施設)</p> <ul style="list-style-type: none"> a) 主蒸気管破断発生後30日間、タービン建屋内に存在する放射性物質を線源としたスカイシャインガンマ線による、中央制御室内における積算線量を計算する(図7.4)。 b) スカイシャインガンマ線の線源強度は、「6.1スカイシャインガンマ線及び直接ガンマ線の線源の計算」で解析した結果を用いる。 c) 線源から中央制御室に至るまでの遮へい効果を、構造物の配置、形状及び組成から計算する。建屋等の構造壁又は天井に対して、配置、形状及び組成を明らかにして、遮へい効果を見込んでもよい。 d) 線量の評価点は、中央制御室内の中心、操作盤位置等の代表点とする。室内の複数点の計算結果から線量が最大となる点を評価点としてもよい。 e) 中央制御室内の滞在期間を、運転員の勤務状態に即して計算し、30日間の積算線量を滞在期間の割合で配分する。 f) スカイシャインガンマ線による運転員の外部被ばく線量は、次のとおり計算する。 <p style="text-align: center;">外部被ばく線量＝室内作業時スカイシャインガンマ線積算線量 ×直交替による滞在時間割合^{*1}</p> <p style="text-align: center;">*1) 例:4直3交替勤務の場合 0.25＝(8h/直×3直×30日/4)／(24h×30日)</p>	<ul style="list-style-type: none"> 7.1.1(3) →内規のとおり 7.1.1(3)a) 主蒸気管破断発生後 30 日間、タービン建屋内に存在する放射性物質を線源としたスカイシャインガンマ線による、中央制御室内における積算線量を計算し評価している。 7.1.1(3)b) スカイシャインガンマ線の線源強度は「6.1 スカイシャインガンマ線及び直接ガンマ線の線源の計算」で解析した結果を用いて評価している。 7.1.1(3)c) 線源から中央制御室に至るまでの遮蔽効果を、構造物の配置、形状及び組成から評価している。 7.1.1(3)d) 線量の評価点は、室内の複数点の計算結果から線量が最大となる点を評価点としている。 7.1.1(3)e) 中央制御室内の滞在期間を、運転員の勤務状態に即して計算し、30日間の積算線量を滞在期間の割合で配分して評価している。 7.1.1(3)f) スカイシャインガンマ線による運転員の外部被ばく線量は、示された計算式を用いて評価している。

原子炉制御室の居住性に係る被ばく評価手法について（内規）	制御室居住性に係る被ばく評価の適合状況
<div style="text-align: center;"> <p>図7.4 主蒸気管破断のスカイシャインガンマ線の計 (BWR型原子炉施設)</p> </div> <p>7.1.2 建屋内の放射性物質からの直接ガンマ線による中央制御室内での被ばく (1) 原子炉冷却材喪失時の線量評価(BWR型原子炉施設)</p> <ol style="list-style-type: none"> a) 原子炉冷却材喪失発生後30日間、原子炉建屋等(二次格納施設)内に存在する放射性物質を線源とした直接ガンマ線による、中央制御室内における積算線量を計算する(図7.5)。 b) 直接ガンマ線の線源強度は、「6.1スカイシャインガンマ線及び直接ガンマ線の線源の計算」で解析した結果を用いる。 c) 線源から中央制御室に至るまでの遮へい効果を、構造物の配置、形状及び組成から計算する。建屋等の構造壁又は天井に対して、配置、形状及び組成を明らかにして、遮へい効果を見込んでよい。 d) 線量の評価点は、中央制御室内の中心、操作盤位置等の代表点とする。室内の複数点の計算結果から線量が最大となる点を評価点としてもよい。 e) 中央制御室内の滞在期間を、運転員の勤務状態に即して計算し、30日間の積算線量を滞在期間の割合で配分する。 f) 直接ガンマ線による運転員の外部被ばく線量は、次のとおり計算する。 <p style="text-align: center;">外部被ばく線量＝室内作業時直接ガンマ線積算線量 ×直交替による滞在時間割合*1</p> <p style="text-align: center;">*1) 例:4直3交替勤務の場合 $0.25 = (8\text{h}/直 \times 3直 \times 30日 / 4) / (24\text{h} \times 30日)$</p>	<p>7.1.2 →内規のとおり</p> <p>7.1.2(1)a) 原子炉冷却材喪失発生後30日間、原子炉建屋等(二次格納施設)内に存在する放射性物質を線源とした直接ガンマ線による、中央制御室内における積算線量を評価している。</p> <p>7.1.2(1)b) 直接ガンマ線の線源強度は、「6.1 スカイシャインガンマ線及び直接ガンマ線の線源の計算」で解析した結果を用いて評価している。</p> <p>7.1.2(1)c) 線源から中央制御室に至るまでの遮蔽効果を、構造物の配置、形状及び組成から評価している。</p> <p>7.1.2(1)d) 線量の評価点は、室内の複数点の計算結果から線量が最大となる点を評価点としている。</p> <p>7.1.2(1)e) 中央制御室内の滞在期間を、運転員の勤務状態に即して計算し、30日間の積算線量を滞在期間の割合で配分して評価している。</p> <p>7.1.2(1)f) 直接ガンマ線による運転員の外部被ばく線量は、示された計算式を用いて評価している。</p>

原子炉制御室の居住性に係る被ばく評価手法について（内規）	制御室居住性に係る被ばく評価の適合状況
<div data-bbox="490 316 896 582" data-label="Diagram"> </div> <div data-bbox="524 592 871 635" data-label="Caption"> <p>図7.5 原子炉冷却材喪失の直接ガンマ線の計算 (BWR型原子炉施設)</p> </div> <p>(3) 主蒸気管破断時の線量評価(BWR型原子炉施設)</p> <p>a) 主蒸気管破断発生後30日間、タービン建屋内に存在する放射性物質を線源とした直接ガンマ線による、中央制御室内における積算線量を計算する(図7.7)。</p> <p>b) 直接ガンマ線の線源強度は、「6.1 スカイシャインガンマ線及び直接ガンマ線の線源の計算」で解析した結果を用いる。</p> <p>c) 線源から中央制御室に至るまでの遮へい効果を、構造物の配置、形状及び組成から計算する。建屋等の構造壁又は天井に対して、配置、形状及び組成を明らかにして、遮へい効果を見込んでよい。</p> <p>d) 線量の評価点は、中央制御室内の中心、操作盤位置等の代表点とする。室内の複数点の計算結果から線量が最大となる点を評価点としてもよい。</p> <p>e) 中央制御室内の滞在期間を、運転員の勤務状態に即して計算し、30日間の積算線量を滞在期間の割合で配分する。</p> <p>f) 直接ガンマ線による運転員の外部被ばく線量は、次のとおり計算する。</p> <p style="text-align: center;">外部被ばく線量＝室内作業時直接ガンマ線積算線量 ×直交替による滞在時間割合^{*1}</p> <p>*1) 例:4直3交替勤務の場合 0.25＝(8h/直×3直×30日/4)／(24h×30日)</p>	<p>7.1.2(3)a) 主蒸気管破断発生後30日間、タービン建屋内に存在する放射性物質を線源とした直接ガンマ線による、中央制御室内における積算線量を評価している。</p> <p>7.1.2(3)b) 直接ガンマ線の線源強度は、「6.1 スカイシャインガンマ線及び直接ガンマ線の線源の計算」で解析した結果を用いて評価している。</p> <p>7.1.2(3)c) 線源から中央制御室に至るまでの遮へい効果を、構造物の配置、形状及び組成から評価している。</p> <p>7.1.2(3)d) 線量の評価点は、室内の複数点の計算結果から線量が最大となる点を評価点としている。</p> <p>7.1.2(3)e) 中央制御室内の滞在期間を、運転員の勤務状態に即して計算し、30日間の積算線量を滞在期間の割合で配分して評価している。</p> <p>7.1.2(3)f) 直接ガンマ線による運転員の外部被ばく線量は、示された計算式を用いて評価している。</p>

原子炉制御室の居住性に係る被ばく評価手法について（内規）	制御室居住性に係る被ばく評価の適合状況
<div data-bbox="481 303 840 534" data-label="Diagram"> </div> <div data-bbox="481 550 840 598" data-label="Caption"> <p>図7.7 主蒸気管破断の直接ガンマ線の計算 (BWR型原子炉施設)</p> </div> <p data-bbox="264 614 918 638">7.2 大気中へ放出された放射性物質のガンマ線による中央制御室内での被ばく</p> <p data-bbox="264 662 1052 710">(1) 大気中へ放出された放射性物質から放射されるガンマ線による運転員の被ばくを、次の(2)から(5)によって計算する(図 7.8)。</p> <div data-bbox="459 726 862 1029" data-label="Diagram"> </div> <div data-bbox="548 1045 761 1069" data-label="Caption"> <p>(a) BWR 型原子炉施設</p> </div> <div data-bbox="414 1077 929 1125" data-label="Caption"> <p>図 7.8 大気中へ放出された放射性物質のガンマ線による 中央制御室内での被ばく経路</p> </div> <p data-bbox="246 1157 1097 1204">(2) 建屋から大気中へ放出された放射性物質からのガンマ線による中央制御室内作業時の運転員の被ばく線量を計算する。</p>	<p data-bbox="1153 582 1377 614">7.2 →内規のとおり</p> <p data-bbox="1153 646 1982 710">7.2(1) 大気中へ放出された放射性物質から放射されるガンマ線による運転員の被ばくを、次の(2)から(5)によって計算している。</p> <p data-bbox="1153 1133 1982 1197">7.2(2) 建屋から大気中へ放出された放射性物質からのガンマ線による中央制御室内作業時の運転員の被ばく線量を評価している。</p>

原子炉制御室の居住性に係る被ばく評価手法について（内規）	制御室居住性に係る被ばく評価の適合状況
<p>(3) 相対線量D/Qの評価点は、中央制御室内の中心、操作盤位置等の代表点とする。室内の複数点の計算結果から線量が最大となる点を評価点としてもよい。</p> <p>(4) 中央制御室の天井・側壁によるガンマ線（$E_\gamma \geq 1.5\text{MeV}$以上）の遮へい効果を計算する。</p> <p>(5) ガンマ線による運転員の外部被ばく線量は、次のとおり計算する。</p> <p style="padding-left: 40px;">外部被ばく線量＝大気中へ放出された希ガス等（BWRプラントの主蒸気管破断では、ハロゲン等を含む）のガンマ線による実効線量 ×直交替による滞在時間割合*1</p> <p>*1) 例：4直3交替勤務の場合 $0.25 = (8\text{h}/直 \times 3直 \times 30日 / 4) / (24\text{h} \times 30日)$</p> <p>a) 主蒸気管破断時には、半球状雲中の放射性物質のガンマ線による線量寄与を加算する。 外部被ばく線量＝放出希ガス等のガンマ線（BWRプラントの主蒸気管破断では、ハロゲン等を含む）による実効線量 ×直交替による滞在時間割合*1 +（半球状雲による線量）</p> <p>c) 大気中へ放出された放射性物質のガンマ線による中央制御室内滞在時の実効線量は、次の1)及び2)に示す方法によって計算する。</p> <p>1) 原子炉冷却材喪失時及び蒸気発生器伝熱管破損時</p> $H_\gamma = \int_0^T K(D/Q)Q_\gamma(t)B \exp(-\mu'X')dt \quad \dots\dots\dots (7.1)$ <p style="padding-left: 40px;">H_γ : 希ガスのガンマ線の外部被ばくによる実効線量 (Sv) K : 空気カーマから実効線量への換算係数 (Sv/Gy, $K=1$) D/Q : 相対線量 (Gy/Bq) $Q_\gamma(t)$: 時刻 t における核種の環境放出率 (Bq/s) (ガンマ線 0.5MeV 換算) B : ビルドアップ係数 (-) μ' : コンクリートに対するガンマ線の線減衰係数 ($1/m$) X' : 中央制御室コンクリート厚さ (m) T : 計算対象期間(30日間) (s) (注)30日間連続滞在の場合の値である。</p> <p>上式のうちコンクリートによる減衰効果 $B \exp(-\mu'X')$ は、テラー型ビルドアップ係数を用いて計算してもよい。</p>	<p>7.2(3) 相対線量D/Qの評価点は、中央制御室内の中心を評価点としている。</p> <p>7.2(4) 中央制御室の天井・側壁によるガンマ線（$E_\gamma \geq 1.5\text{MeV}$以上）の遮蔽効果を考慮して計算している。</p> <p>7.2(5) ガンマ線による運転員の外部被ばく線量は、示された計算式を用いて評価している。</p> <p>7.2(5)a) 主蒸気管破断時には、半球状雲中の放射性物質のガンマ線による線量寄与を加算して評価している。</p> <p>7.2(5)c) 大気中へ放出された放射性物質のガンマ線による中央制御室内滞在時の実効線量は、示された方法によって評価している。</p>

原子炉制御室の居住性に係る被ばく評価手法について（内規）

制御室居住性に係る被ばく評価の適合状況

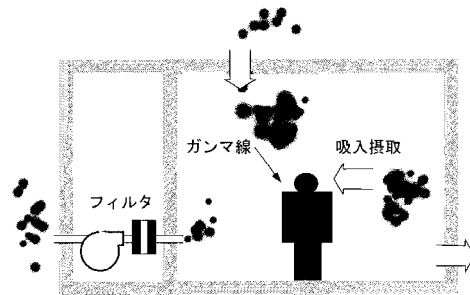


図7.9 外気から取り込まれた放射性物質による中央制御室内での被ばく経路

7.3.1 中央制御室が属する建屋周辺の放射性物質の濃度

(1) 大気中に放出された放射性物質が大気中を拡散し、放出源付近の建屋の巻き込み影響を受ける場合にはその効果を計算したうえで（5. 大気拡散の評価）、中央制御室を含む当該建屋の周辺の放射性物質の濃度を計算する。

a) 建屋影響を考慮しない場合

建屋の影響を考慮しない場合は、5.1.1(1)の方法で計算した建屋周辺の濃度分布の結果を用いる（図7.10）。

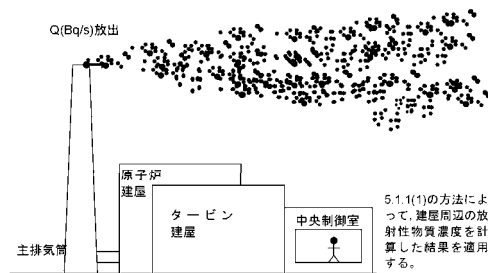


図7.10 中央制御室建屋付近への放射性物質の拡散

b) 建屋影響を考慮する場合

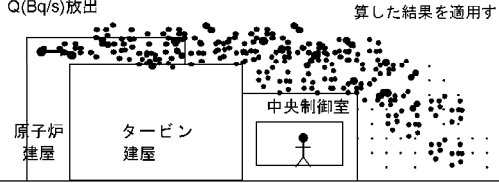
建屋の影響を考慮する場合は、5.1.1(2)及び(3)の方法で計算した建屋周辺の濃度分布の結果を用いる（図7.11）。

7.3.1→内規のとおり。

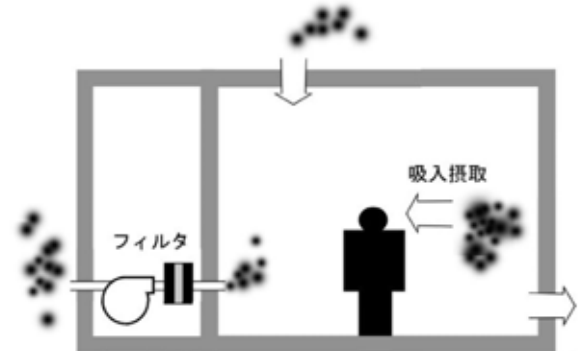
7.3.1(1)大気中に放出された放射性物質が大気中を拡散し、放出源付近の建屋の巻き込み影響を受ける場合にはその効果を計算したうえで、中央制御室を含む当該建屋の周辺の放射性物質の濃度を計算している。

7.3.1(1)a) 建屋の影響を考慮して評価している。

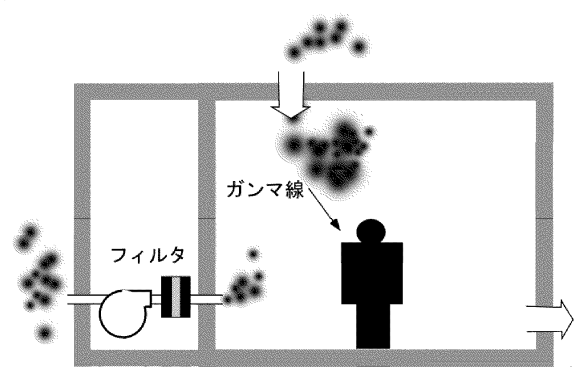
7.3.1(1)b) 建屋の影響を考慮して、5.1.1(2)及び(3)の方法で計算した建屋周辺の濃度分布の結果を用いて評価している。

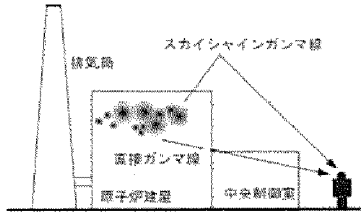
原子炉制御室の居住性に係る被ばく評価手法について（内規）	制御室居住性に係る被ばく評価の適合状況
<p>1) BWR の場合</p>  <p>5.1.1(2)及び5.1.1(3)の方法によって、建屋周辺の放射性物質濃度を計算した結果を適用する。</p> <p>図7.11 中央制御室建屋付近への放射性物質の拡散</p> <p>7.3.2 中央制御室内の放射性物質濃度</p> <p>(1) 建屋の表面空気中から、次のa)及びb)の経路で放射性物質が外気から取り込まれることを想定する。</p> <p>a) 中央制御室の非常用換気空調によって室内に取り入れること</p> <p>b) 中央制御室内に直接、流入すること</p> <p>(2) 中央制御室内の雰囲気中で、放射性物質は一様混合すると仮定する。</p> <p>(3) 中央制御室換気系フィルタの効率、設計値又は管理値を用いる。</p> <p>(4) 中央制御室への外気取入及び空気流入による放射性物質の取り込みに対して、時刻tにおける核種iの外気中濃度を用いる。</p> <p>(5) 相対濃度χ/Qの評価点は、外気取入れを行う場合は中央制御室の外気取入口とする。また、外気を遮断する場合は中央制御室の中心点とする。（(7.4)式の中央制御室の区画の濃度とする。）</p> <p>(6) 中央制御室の自動隔離を期待する場合には、その起動信号を明確にするとともに隔離に要する時間を見込む。また、隔離のために手動操作が必要な場合には、隔離に要する時間に加えて運転員が事故を検知してから操作を開始するまで10分以上の時間的余裕を見込んで計算する。</p> <p>(7) 中央制御室内の雰囲気中に浮遊する放射性物質量の時間変化は、次のとおり計算する。</p> <p>a) 中央制御室内への取り込み空気放射能濃度に基づき、空調システム的设计に従って中央制御室内の放射能濃度を求める【解説7.2】。</p>	<p>7.3.2→内規のとおり。</p> <p>7.3.2(1)建屋の表面空気中から、中央制御室の非常用換気空調及び直接流入する経路で放射性物質が外気から取り込まれることを想定し、評価している。</p> <p>7.3.2(2)中央制御室内の雰囲気中で、放射性物質は一様混合すると仮定して評価している。</p> <p>7.3.2(3)中央制御室換気系フィルタの効率は、設計値を用いて評価している。</p> <p>7.3.2(4)中央制御室への外気取入及び空気流入による放射性物質の取り込みに対して、時刻tにおける核種iの外気中濃度を用いて評価している。</p> <p>7.3.2(5)相対濃度χ/Qの評価点は、外気を取入れを遮断した上で再循環運転を行うため、中央制御室の中心点としている。</p> <p>7.3.2(6)中央制御室の隔離のために手動操作を想定しており、隔離に要する時間に加えて運転員が事故を検知してから操作を開始するまで10分以上の時間的余裕を見込んで計算している。</p> <p>7.3.2(7)中央制御室内の雰囲気中に浮遊する放射性物質量の時間変化は、示されたとおり評価している。</p> <p>7.3.2(7)a)中央制御室内への取り込み空気放射能濃度に基づき、空調システム的设计に従って中央制御室内の放射能濃度を評価している。</p>

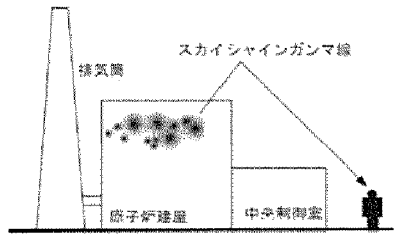
原子炉制御室の居住性に係る被ばく評価手法について（内規）	制御室居住性に係る被ばく評価の適合状況
$\frac{dM_i^k(t)}{dt} = -\lambda^k M_i^k(t) - \sum_{j=1}^n \frac{G_{ji}}{V_i} M_j^k(t) + \sum_{j=1}^n (1-E_{ij}^k) \frac{G_{ij}}{V_j} M_j^k(t) + \sum_{l=1}^N (1-E_{il}^k) \alpha_l S_l^k(t) + \alpha_l S_l^k(t)$ $S_l^k(t) = (\chi/Q)_l Q^k(t)$ $S_l^k(t) = (\chi/Q)_l Q^k(t)$ <p style="text-align: right;">..... (7.4)</p> <p> $M_i^k(t)$: 時刻<i>t</i>における区画<i>i</i>の核種<i>k</i>の放射性物質の量 (Bq) V_i : 区画<i>i</i>の体積 (m^3) E_{ij}^k : 区画<i>j</i>から<i>i</i>の経路にあるフィルタの除去効率 (-) G_{ij} : 区画<i>j</i>から<i>i</i>の体積流量 (m^3/s) λ^k : 核種<i>k</i>の崩壊定数 (1/s) $S_l^k(t)$: 時刻<i>t</i>における外気取入口<i>l</i>での核種<i>k</i>の濃度 (Bq/m^3) α_l : 外気取入口<i>l</i>からの外気取入量 (m^3/s) $(\chi/Q)_l$: 評価点<i>l</i>の相対濃度 (s/m^3) $Q^k(t)$: 放射性物質の放出率 (Bq/s) α_l : 空気流入量 (m^3/s) 空気流入量=空気流入率×中央制御室バウンダリ内体積(容積) $S_l^k(t)$: 空気流入を計算する核種<i>k</i>の濃度 (Bq/m^3) $(\chi/Q)_l$: 空気流入に対する評価点<i>l</i>の相対濃度 (s/m^3) </p> <p>b) 中央制御室に相当する区画の容積は、中央制御室バウンダリ内体積(容積)とする。</p>	<p>7.3.2(7)b) 中央制御室に相当する区画の容積は、中央制御室バウンダリ内体積(容積)としている。</p>

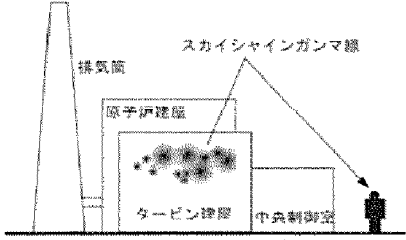
原子炉制御室の居住性に係る被ばく評価手法について（内規）	制御室居住性に係る被ばく評価の適合状況
<p>7.3.3 室内に外気から取り込まれた放射性物質の吸入摂取による中央制御室内での被ばく</p> <p>(1) 放射性物質の吸入摂取による運転員の被ばく線量を、次の(2)から(5)までの方法によって計算する（図7.12）。</p> <p>(2) 線量の計算にあたっては、運転員の勤務状態に即して、中央制御室内の滞在期間を計算し、30日間の積算線量を滞在期間の割合で配分する。</p> <p>(3) 被ばく低減方策として、防護マスク着用による放射性元素の吸入による内部被ばくの低減をはかる場合には、その効果及び運用条件を適切に示して評価に反映してもよい。</p> <p>(4) 吸入摂取による運転員の内部被ばく線量は、次のとおり計算する。 内部被ばく線量＝室内に外気から取り込まれた放射性物質の吸入摂取による実効線量 ×直交替による滞在時間割合*1</p> <p>*1) 例：4直3交替勤務の場合 $0.25 = (8\text{h}/直 \times 3直 \times 30日 / 4) / (24\text{h} \times 30日)$ ここで、外気から取り込まれた放射性物質の吸入摂取による運転員の実効線量は、(7.5)式によって計算する。</p> $H_i = \int RH \cdot C_i(t) dt \quad \dots\dots\dots (7.5)$ <p>H_i : 放射性物質の吸入摂取による内部被ばくによる実効線量 (Sv) R : 呼吸率(成人活動時) (m^3/s) H_e : 放射性物質(1-131)吸入摂取時の成人の実効線量への換算係数 (Sv/Bq) $C_i(t)$: 時刻tにおける中央制御室内の放射能濃度 (Bq/m^3) (I-131等価量) T : 計算期間(30日間) (s) (注) 30日間連続滞滞在の場合の値である。</p>  <p>図7.12 放射性物質取り込みによる中央制御室内での吸入摂取による被ばく</p>	<p>7.3.3→内規のとおり</p> <p>7.3.3(1) 放射性物質の吸入摂取による運転員の被ばく線量を、次の(2)から(5)までの方法によって評価している。</p> <p>7.3.3(2) 線量の計算に当たって、運転員の勤務状態に即して、中央制御室内の滞在期間をお計算し、30日間の積算線量を滞在期間の割合で配分して評価している。</p> <p>7.3.3(3) 被ばく低減方策として、防護マスク着用を考慮していない。</p> <p>7.3.3(4) 吸入摂取による運転員の内部被ばく線量は、示されたとおり計算する。</p> <p>外気から取り込まれた放射性物質の吸入摂取による運転員の実効線量は、(7.5)式によって計算している。</p>

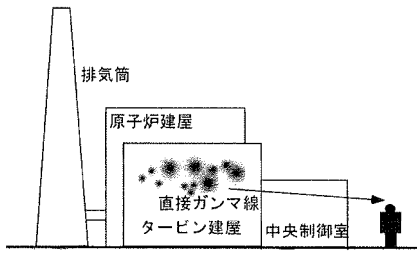
原子炉制御室の居住性に係る被ばく評価手法について（内規）	制御室居住性に係る被ばく評価の適合状況
<p>(5) 主蒸気管破断時は、前項の線量に半球状雲通過時の放射性物質の室内取込による線量寄与を加算する。</p> <p style="text-align: center;">内部被ばく線量=室内に外気から取り込まれた放射性物質の吸入摂取による実効線量 ×直交替による滞在時間割合 + (半球状雲による線量)</p> <p>ここで、半球状雲に伴う運転員の吸入摂取による実効線量は(7.6)式によって計算する。</p> $H_I = \int_0^T RH_w C_{sp}(t) dt \quad \dots\dots\dots (7.6)$ <p style="margin-left: 40px;"> H_I : 放射性物質の吸入摂取の内部被ばくによる実効線量 (Sv) R : 呼吸率(成人活動時) (m^3/s) H_w : 放射性物質(I-131)吸入摂取時の成人の実効線量への換算係数 (Sv/Bq) $C_{sp}(t)$: 半球状雲通過時の室内取込み放射性物質に基づく時刻 t における中央制御室内の放射能濃度 (Bq/m^3) (I-131等価量) T : 計算期間(30日間) (s) (注)30日間連続滞在の場合の値である。 </p> <p>7.3.4 室内に外気から取り込まれた放射性物質からのガンマ線による中央制御室内での被ばく</p> <p>(1) 放射性物質からのガンマ線による運転員の被ばく線量を、次の(2)から(6)までの方法によって計算する(図7.13)。</p> <p>(2) 中央制御室は、容積が等価な半球状とする。そして、半球の中心に運転員がいるものとする。</p> <p>(3) 中央制御室の容積は、中央制御室バウンダリ内体積(容積)とする。</p> <p>a) ただし、エンベロープの一部が、ガンマ線を遮へいできる躯体で区画され、運転員がその区画内のみに入る場合には、当該区画の容積を用いてもよい。</p> <p>b) ガンマ線による被ばくの計算では、中央制御室と異なる階層部分のエンベロープについて、階層間の天井等による遮へいがあるので、中央制御室の容積から除外してもよい。</p> <p>(4) 線量の計算にあたっては、運転員の勤務状態に即して、中央制御室内の滞在期間を計算し、30日間の積算線量を滞在期間の割合で配分する。</p> <p>(5) ガンマ線による運転員の外部被ばく線量は、次のとおり計算する。</p> <p style="margin-left: 40px;">外部被ばく線量=室内に外気から取り込まれた放射性物質のガンマ線による実効線量 ×直交替による滞在時間割合*1</p> <p style="margin-left: 80px;">*1) 例: 4直3交替勤務の場合 $0.25 = (8h/直 \times 3直 \times 30日 / 4) / (24h \times 30日)$</p> <p>a) 外気から取り込まれた放射性物質のガンマ線による運転員の実効線量は、(7.7)式^(※5)によって計算する。</p>	<p>7.3.3(5) 主蒸気管破断時は、前項の線量に半球状雲通過時の放射性物質の室内取込による線量寄与を加算して評価している。</p> <p>半球状雲に伴う運転員の吸入摂取による実効線量は(7.6)式によって計算している。</p> <p>7.3.4→内規のとおり</p> <p>7.3.4(1) 放射性物質からのガンマ線による運転員の被ばく線量を、次の(2)から(6)までの方法によって計算している。</p> <p>7.3.4(2) 中央制御室は、容積が等価な半球状とする。そして、半球の中心に運転員がいるものとして評価している。</p> <p>7.3.4(3) 中央制御室の容積は、中央制御室バウンダリ内体積(容積)としている。</p> <p>7.3.4(4) 線量の計算にあたっては、運転員の勤務状態に即して、中央制御室内の滞在期間を計算し、30日間の積算線量を滞在期間の割合で配分して評価している。</p> <p>7.3.4(5) ガンマ線による運転員の外部被ばく線量は、a)で示されたとおり計算している。</p>

原子炉制御室の居住性に係る被ばく評価手法について（内規）	制御室居住性に係る被ばく評価の適合状況
$H_\gamma = \int_0^T 6.2 \times 10^{-14} E_\gamma (1 - e^{-\mu R}) C_\gamma(t) dt \quad \dots \dots \dots (7.7)$ <p> H_γ : 希ガスのガンマ線の外部被ばくによる実効線量 (Sv) E_γ : ガンマ線の実効エネルギー (0.5MeV) (MeV / dis) μ : 空気に対するガンマ線の線エネルギー吸収係数 (1/m) R : 中央制御室半球換算時等価半径 (m) $C_\gamma(t)$: 時刻tにおける中央制御室内の放射能濃度 (Bq/m³) (ガンマ線 0.5MeV換算) T : 計算期間(30日) (s) (注)30日間連続滞在の場合の値である。 </p> <p>b) また、(7.7)式以外に、(7.8)式^(※5)によって計算することも妥当である。</p> $H_\gamma = \int_0^T \frac{1}{2} \frac{K}{\mu'} \left[\frac{A}{1+\alpha_1} \{1 - \exp(-(1+\alpha_1)\mu' R)\} + \frac{1-A}{1+\alpha_2} \{1 - \exp(-(1+\alpha_2)\mu' R)\} \right] \frac{E_\gamma}{0.5} C_\gamma(t) dt \quad \dots \dots \dots (7.8)$ <p> H_γ : 希ガスのガンマ線の外部被ばくによる実効線量 (Sv) K : 線量率換算係数 (Sv/(γ/m²)) A, α_1, α_2 : テーラー型ビルドアップ係数(空气中0.5MeVガンマ線) (-) μ' : 空気に対するガンマ線の線減衰係数 (1/m) </p>	
	
<p>図7.13 放射性物質取り込みによる中央制御室内でのガンマ線による被ばく</p>	

原子炉制御室の居住性に係る被ばく評価手法について（内規）	制御室居住性に係る被ばく評価の適合状況
<p>(6) 主蒸気管破断時は、7.3.4(4)a)の計算式に、次の半球状雲通過時の放射性物質の室内取込による線量寄与を加算する。</p> <p style="padding-left: 2em;">外部被ばく線量=室内に外気から取り込まれた放射性物質の外部ガンマ線による 実効線量×直交替による滞在時間割合 + (半球状雲による線量)</p> <p>ここで、半球状雲によるガンマ線の線量は(7.9)式^(註5)によって計算する。</p> $H_{\gamma} = \int 6.2 \times 10^{-14} E_{\gamma} (1 - e^{-\mu R}) C_{p}(t) dt \quad \dots \dots \dots (7.9)$ <p> H_{γ} : 希ガスのガンマ線の外部被ばくによる実効線量 (Sv) E_{γ} : ガンマ線の実効エネルギー(0.5MeV) (MeV/dis) μ : 空気に対するガンマ線の線エネルギー吸収係数 (1/m) R : 中央制御室半球換算時等価半径 (m) $C_p(t)$: 半球状雲通過時の室内取込み放射性物質に基づく時刻tにおける中央制御室内の放射能濃度 (Bq/m³) (ガンマ線0.5MeV換算) T : 計算期間(30日) (s) (注)30日間連続滞在の場合の値である。 </p> <p>7.4 建屋内の放射性物質からのガンマ線による入退域時の被ばく</p> <p>(1) 次のa)及びb)の被ばく経路からの運転員の被ばくを、7.4.1 から7.4.2 までに示す方法によって計算する(図7.14)。</p> <p>a) 建屋内の放射性物質からのスカイシャインガンマ線による入退域時の被ばく</p> <p>b) 建屋内の放射性物質からの直接ガンマ線による入退域時の被ばく</p> <div style="text-align: center;">  <p>(a) BWR型原子炉施設</p> </div> <p>図7.14 建屋内の放射性物質からのガンマ線による入退域時の被ばく経路</p>	<p>7.3.4(6) 主蒸気管破断時は、7.3.4(4)a)の計算式に、次の半球状雲通過時の放射性物質の室内取込による線量寄与を加算して評価している。</p> <p>半球状雲によるガンマ線の線量は(7.9)式によって計算する。</p> <p>7.4→内規のとおり</p> <p>7.4(1) 建屋内の放射性物質からのスカイシャインガンマ線及び直接ガンマ線による入退域時の被ばく経路からの運転員の被ばくは、7.4.1から7.4.2 までに示す方法によって計算している。</p>

原子炉制御室の居住性に係る被ばく評価手法について（内規）	制御室居住性に係る被ばく評価の適合状況
<p>7.4.1 建屋内の放射性物質からのスカイシャインガンマ線による入退域時の被ばく</p> <p>(1) 原子炉冷却材喪失時の線量評価（BWR 型原子炉施設）</p> <p>a) 原子炉冷却材喪失発生後30日間，原子炉建屋（二次格納施設）内に存在する放射性物質を線源としたスカイシャインガンマ線による，入退域時の評価点における積算線量を計算する（図7.15）。</p> <p>b) スカイシャインガンマ線の線源強度は，「6.1スカイシャインガンマ線及び直接ガンマ線の線源の計算」で解析した結果を用いる。</p> <p>c) 線源から評価点に至るまでの遮へい効果を，構造物の配置，形状及び組成から計算する。</p> <p>d) 入退域での所要時間を，運転員の勤務状態に即して計算し，30日間の積算線量を所要時間の割合で配分する【解説7.4】。</p> <p>e) 計算に当たっては，次の1)又は2)のいずれかの仮定を用いる。</p> <p>1) 管理建屋の入口を代表評価点とし，入退域ごとに評価点に15分間滞在するとする。</p> <p>2) 入退域時の移動経路及び入退域に要する時間をプラントごとに計算し，移動経路に従った適切な評価点及び滞在時間を設定する。この場合，移動に伴って，複数の評価点を設定してもよい。【解説7.5】</p> <p>f) スカイシャインガンマ線による運転員の外部被ばく線量は，次のとおり計算する。</p> <p style="padding-left: 20px;">外部被ばく線量＝入退域時スカイシャインガンマ線積算線量 ×直交替による所要時間割合*1</p> <p>*1) 例：4直3交替勤務・片道15分の場合</p> $0.015625 = (0.25\text{h}/\text{直} \times 2 \times 3\text{直} \times 30\text{日} / 4) / (24\text{h} \times 30\text{日})$  <p>図7.15 原子炉冷却材喪失時の建屋内の放射性物質からのスカイシャインガンマ線による入退域時の被ばく（BWR型原子炉施設）</p>	<p>7.4.1→内規のとおり</p> <p>7.4.1(1)a) 原子炉冷却材喪失発生後30日間，原子炉建屋（二次格納施設）内の存在する放射性物質を線源としたスカイシャインガンマ線による，入退域時の評価点における積算線量を計算している。</p> <p>7.4.1(1)b) スカイシャインガンマ線の線源強度は，「6.1スカイシャインガンマ線及び直接ガンマ線の線源の計算」で解析した結果を用いている。</p> <p>7.4.1(1)c) 線源から評価点に至るまでの遮蔽効果を，構造物の配置，形状及び組成から計算する。</p> <p>7.4.1(1)d) 入退域での所要時間を，運転員の勤務状態に即して計算し，30日間の積算線量を所要時間の割合で配分して評価している。</p> <p>7.4.1(1)e) 計算に当たっては，1)の仮定を用いて評価している。</p> <p>7.4.1(1)e)1) 入退域時の評価点は，管理建屋の入口であるサービス建屋入口として評価している。</p> <p>7.4.1(1)f) スカイシャインガンマ線による運転員の外部被ばく線量は，示されたとおり計算している。</p>

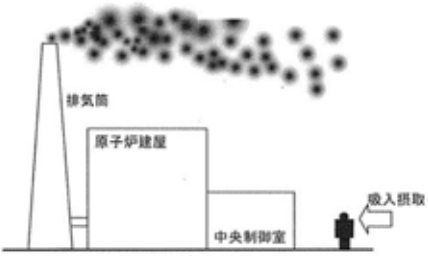
原子炉制御室の居住性に係る被ばく評価手法について（内規）	制御室居住性に係る被ばく評価の適合状況
<p>(3) 主蒸気管破断時の線量評価（BWR型原子炉施設）</p> <p>a) 主蒸気管破断発生後30日間、タービン建屋内に存在する放射性物質を線源としたスカイシャインガンマ線による、入退域時の評価点における積算線量を計算する（図7.17）。</p> <p>b) スカイシャインガンマ線の線源強度は、「6.1スカイシャインガンマ線及び直接ガンマ線の線源の計算」で解析した結果を用いる。</p> <p>c) 線源から評価点に至るまでの遮へい効果を、建造物の配置、形状及び組成から計算する。</p> <p>d) 入退域での所要時間を、運転員の勤務状態に即して計算し、30日間の積算線量を所要時間の割合で配分する【解説7.4】。</p> <p>e) 計算に当たっては、次の1)又は2)のいずれかの仮定を用いる。</p> <p>1) 管理建屋の入口を代表評価点とし、入退域ごとに評価点に15分間滞在するとする。</p> <p>2) 入退域時の移動経路及び入退域に要する時間をプラントごとに計算し、移動経路に従った適切な評価点及び滞在時間を設定する。この場合、移動に伴って、複数の評価点を設定してもよい【解説7.5】。</p> <p>f) スカイシャインガンマ線による運転員の外部被ばく線量は、次のとおり計算する。</p> <p style="padding-left: 20px;">外部被ばく線量＝入退域時スカイシャインガンマ線積算線量 ×直交替による所要時間割合*</p> <p>*1) 例：4直3交替勤務・片道15分の場合 $0.015625 = (0.25\text{h/直} \times 2 \times 3\text{直} \times 30\text{日} / 4) / (24\text{h} \times 30\text{日})$</p> <div style="text-align: center;">  </div> <p>図7.17 主蒸気管破断時の建屋内の放射性物質からのスカイシャインガンマ線による入退域時の被ばく(BWR型原子炉施設)</p>	<p>7.4.1(3)a) 主蒸気管破断発生後 30 日間、タービン建屋内に存在する放射性物質を線源としたスカイシャインガンマ線による、入退域時の評価点における積算線量を計算している。</p> <p>7.4.1(3)b) スカイシャインガンマ線の線源強度は、「6.1 スカイシャインガンマ線及び直接ガンマ線の線源強度」で解析した結果を用いている。</p> <p>7.4.1(3)c) 線源から評価点に至るまでの遮蔽効果を、建造物の配置、形状及び組成から計算している。</p> <p>7.4.1(3)d) 入退域までの所要時間を、運転員の勤務状態に即して計算し、30 日間の積算線量を所要時間の割合で配分して評価している。</p> <p>7.3.1(3)e) 計算に当たっては、1)の仮定を用いて評価している。</p> <p>7.4.1(3)e)1) 入退域時の評価点は、管理建屋の入口であるサービス建屋入口として評価している。</p> <p>7.4.1(3)f) スカイシャインガンマ線による運転員の外部被ばく線量は、示されたとおり計算している。</p>

原子炉制御室の居住性に係る被ばく評価手法について（内規）	制御室居住性に係る被ばく評価の適合状況
<p>(3) 主蒸気管破断時の線量評価(BWR型原子炉施設)</p> <p>a) 主蒸気管破断発生後30日間、タービン建屋内に存在する放射性物質を線源とした直接ガンマ線による、入退域時の評価点における積算線量を計算する(図7.20)。</p> <p>b) 直接ガンマ線の線源強度は、「6.1スカイシャインガンマ線及び直接ガンマ線の線源の計算」で解析した結果を用いる。</p> <p>c) 線源から評価点に至るまでの遮へい効果を、構造物の配置、形状及び組成から計算する。</p> <p>d) 入退域での所要時間を、運転員の勤務状態に即して計算し、30日間の積算線量を所要時間の割合で配分する【解説7.4】。</p> <p>e) 計算に当たっては、次の1)又は2)のいずれかの仮定を用いる。 1) 管理建屋の入口を代表評価点とし、入退域ごとに評価点に15分間滞在するとする。 2) 入退域時の移動経路及び入退域に要する時間をプラントごとに計算し、移動経路に従った適切な評価点及び滞在時間を設定する。この場合、移動に伴って、複数の評価点を設定してもよい【解説7.5】。</p> <p>④ 直接ガンマ線による運転員の外部被ばく線量は、次のとおり計算する。</p> <p style="text-align: center;">外部被ばく線量＝室内作業時直接ガンマ線積算線量 ×直交替による所要時間割合*1</p> <p>*1) 例:4直3交替勤務・片道15分の場合 $0.015625 = (0.25\text{h}/\text{直} \times 2 \times 3\text{直} \times 30\text{日} / 4) / (24\text{h} \times 30\text{日})$</p> <div style="text-align: center;">  <p>排気筒 原子炉建屋 直接ガンマ線 タービン建屋 中央制御室</p> </div> <p>図7.20 主蒸気管破断時の建屋内の放射性物質からの直接ガンマ線による入退域時の被ばく(BWR型原子炉施設)</p>	<p>7.4.2(3)a)主蒸気管破断発生後 30 日間、タービン建屋内に存在する放射性物質を線源とした直接ガンマ線による、入退域時の評価点における積算線量を計算している。</p> <p>7.4.2(3)b)直接ガンマ線の線源強度は、「6.1 スカイシャインガンマ線及び直接ガンマ線の線源の計算」で解析した結果を用いている。</p> <p>7.4.2(3)c)線源から評価点に至るまでの遮蔽効果を、構造物の配置、形状及び組成から計算している。</p> <p>7.4.2(3)d)入退域での所要時間を、運転員の勤務状態に即して計算し、30 日間の積算線量を所要時間の割合で配分して評価している。</p> <p>7.4.2(3)e)計算に当たっては、1)の仮定を用いて評価している。</p> <p>7.4.2(3)e)1)入退域時の評価点は、管理建屋の入口であるサービス建屋入口として評価している。</p> <p>7.4.2(3)f)直接ガンマ線による運転員の外部被ばく線量は、示されたとおり計算している。</p>

原子炉制御室の居住性に係る被ばく評価手法について（内規）	制御室居住性に係る被ばく評価の適合状況
<p>7.5 大気中へ放出された放射性物質による入退域時の被ばく</p> <p>(1) 次の a)及び b)の被ばく経路からの運転員の被ばくを、7.5.1から7.5.2までに示す方法で計算する。</p> <p>a) 大気中へ放出された放射性物質からのガンマ線による入退域時の被ばく b) 大気中へ放出された放射性物質の吸入摂取による入退域時の被ばく</p> <p>(2) 大気中に放出された放射性物質が大気中を拡散し、放出源付近の建屋の巻き込み影響を受ける場合にはその効果を計算したうえで(5.大気拡散の評価)、中央制御室を含む当該建屋の周辺の放射性物質の濃度を計算する。</p> <p>a) 建屋影響を考慮しない場合 建屋の影響を考慮しない場合は、5.1.1(1)の方法で計算した建屋周辺の濃度分布の結果を用いる(図 7.21)。</p> <p>b) 建屋影響を考慮する場合 建屋の影響を考慮する場合は、5.1.1(2)及び(3)の方法で計算した建屋周辺の濃度分布の結果を用いる(図 7.22)。</p> <div data-bbox="501 798 922 1045" data-label="Diagram"> <p>図 7.21 建屋影響がない場合</p> </div> <div data-bbox="465 1085 922 1332" data-label="Diagram"> <p>図 7.22 建屋影響がある場合</p> </div>	<p>7.5→内規のとおり</p> <p>7.5(1)大気中へ放出された放射性物質からのガンマ線による入退域時の被ばく及び吸入摂取による入退域時の被ばく経路からの運転員の被ばくは、7.5.1から7.5.2までに示す方法で計算している。</p> <p>7.5(2)大気中に放出された放射性物質が大気中を拡散し、放出源付近の建屋の巻き込み影響を受ける場合にはその効果を計算した上で(5.大気拡散の評価)、中央制御室を含む当該建屋の周辺の放射性物質の濃度を計算している。</p> <p>7.5(2)a)建屋の影響を考慮するため、7.5(2)b)の方法で評価している。</p> <p>7.5(2)b)建屋の影響を考慮するため、5.1.1(2)及び(3)の方法で計算した建屋周辺の濃度分布の結果を用いて評価している。</p>

原子炉制御室の居住性に係る被ばく評価手法について（内規）	制御室居住性に係る被ばく評価の適合状況
<p>7.5.1 大気中へ放出された放射性物質からのガンマ線による入退域時の被ばく</p> <p>(1) 大気中へ放出された放射性物質から放射されるガンマ線による被ばくを計算する(図 7.23)。ただし、事故発生直後の短時間に集中して放出される放射性物質(主蒸気管破断時の半球状雲、蒸気発生器伝熱管破損時の2次系への漏えい停止までの放出など)による線量については、入退域時の線量としては評価しない【解説 7.1】。</p> <p>(2) 建屋から大気中へ放出された放射性物質からのガンマ線による運転員の交替のための入退域時の線量を計算する。</p> <p>(3) 入退域時の線量は入退域評価点での相対線量 D/Q を求め、これに放射性物質(この場合は、放射能)の放出率を乗じて求める。</p> <p>(4) 入退域での所要時間を、運転員の勤務状態に即して計算し、30日間の積算線量を所要時間の割合で配分する。</p> <p>(5) 入退域時の計算に当たっては、以下のいずれかの仮定を用いる。</p> <p>a) 管理建屋の入口を代表評価点とし、入退域ごとに評価点に、15分間滞在するとする。</p> <p>b) 入退域時の移動経路及び入退域に要する時間をプラントごとに計算し、移動経路に従った適切な評価点及び滞在時間を設定する。この場合、移動に伴って、複数の評価点を設定してもよい。【解説7.5】</p> <p>(6) ガンマ線による運転員の外部被ばく線量は、次のとおり計算する。</p> <p style="text-align: center;">外部被ばく線量 = 放出希ガス等(BWRプラントの主蒸気管破断では、ハロゲン等を含む)のガンマ線による実効線量 × 直交替による入退所要時間割合*1</p> <p style="text-align: center;">*1) 例: 4直3交替勤務・片道15分の場合 $0.015625 = (0.25h/直 \times 2 \times 3直 \times 30日 / 4) / (24h \times 30日)$</p> <p>ここで、ガンマ線による運転員の実効線量は、(7.10)式によって計算する。</p> $H_T = \int K(D/Q)Q_r(t)dt \quad \dots\dots\dots (7.10)$ <p>H_T : 希ガスのガンマ線の外部被ばくによる実効線量 (Sv) K : 空気カーマから実効線量への換算係数 (Sv/Gy, $K=1$) D/Q : 相対線量 (Gy/Bq) $Q_r(t)$: 時刻 t における核種の環境放出率 (Bq/s) (ガンマ線 0.5MeV 換算) T : 計算期間(30日) (s) (注) 30日間連続滞滞在の場合の値である。</p>	<p>7.5.1→内規のとおり</p> <p>7.5.1(1)大気中へ放出された放射性物質から放射されるガンマ線による被ばくを計算している。ただし、事故発生直後の短時間に集中して放出される放射性物質(主蒸気管破断時の半球状雲)による線量については、入退域時の線量としては評価していない。</p> <p>7.5.1(2)建屋から大気中へ放出された放射性物質からのガンマ線による運転員の交替のための入退域時の線量を計算している。</p> <p>7.5.1(3)入退域時の線量は入退域評価点での相対線量 D/Q を求め、これに放射性物質(この場合は、放射能)の放出率を乗じて評価している。</p> <p>7.5.1(4)入退域での所要時間を、運転員の勤務状態に即して計算し、30日間の積算線量を所要時間の割合で配分して評価している。</p> <p>7.5.1(5)入退域時の計算に当たっては、a)の仮定を用いて評価している。</p> <p>7.5.1(5)a)入退域時の評価点は、管理建屋の入口であるサービス建屋入口として評価している。</p> <p>7.5.1(6)ガンマ線による運転員の外部被ばく線量は、示されたとおり計算している。</p>

原子炉制御室の居住性に係る被ばく評価手法について（内規）	制御室居住性に係る被ばく評価の適合状況
<div data-bbox="524 352 848 619" data-label="Image"> </div> <p data-bbox="461 655 920 703">図7.23 原子炉冷却材喪失時の放射性雲のガンマ線による 入退域時の被ばく</p> <p data-bbox="277 746 920 770">7.5.2 大気中へ放出された放射性物質の吸入摂取による入退域時の被ばく</p> <p data-bbox="277 774 1099 879">(1) 大気中へ放出された放射性物質を吸入摂取することによる被ばくを計算する(図 7.24)。ただし、事故発生直後の短時間に集中して放出される放射性物質(主蒸気管破断時の半球状雲、蒸気発生器伝熱管破損時の2次系への漏えい停止までの放出など)による線量については、入退域時の線量としては評価しない【解説 7.1】。</p> <p data-bbox="277 906 1088 954">(2) 入退域時の線量は入退域評価点での相対濃度 χ/Q を求め、これに放射性物質の放出率を乗じて求める。線量換算係数、呼吸率を乗じて求める。</p> <p data-bbox="277 981 1088 1029">(3) 入退域での所要時間を、運転員の勤務状態に即して計算し、30日間の積算線量を所要時間の割合で配分する。</p> <p data-bbox="277 1056 1077 1104">(4) 被ばく低減方策として、例えば、防護マスク着用による放射性元素の吸入による内部被ばくの低減をはかる場合には、その効果及び運用条件を適切に示して評価に反映してもよい。</p> <p data-bbox="277 1131 1088 1289">(5) 計算に当たっては、以下のいずれかの仮定を用いる。 a) 管理建屋の入口を代表評価点とし、入退域ごとに評価点に15分間滞在するとする。 b) 入退域時の移動経路及び入退域に要する時間をプラントごとに計算し、移動経路に従った適切な評価点及び滞在時間を設定する。この場合、移動に伴って、複数の評価点を設定してもよい【解説7.5】。</p>	<p data-bbox="1160 746 1386 770">7.5.2→内規のとおり</p> <p data-bbox="1160 774 1977 903">7.5.2(1)大気中へ放出された放射性物質を吸入摂取することによる被ばくを計算している。ただし、事故発生直後の短時間に集中して放出される放射性物質（主蒸気管破断時の半球状雲）による線量については、入退域時の線量としては評価していない。</p> <p data-bbox="1160 906 1977 1002">7.5.2(2)入退域時の線量は入退域評価点での相対濃度 χ/Q を求め、これに放射性物質の放出率を乗じて評価している。線量換算係数、呼吸率を乗じて評価している。</p> <p data-bbox="1160 1005 1977 1066">7.5.2(3)入退域での所要時間を、運転員の勤務状態に即して計算し、30日間の積算線量を所要時間の割合で配分して評価している。</p> <p data-bbox="1160 1069 1890 1093">7.5.2(4)被ばく低減方策として、防護マスク着用を考慮していない。</p> <p data-bbox="1160 1096 1939 1120">7.5.2(5)入退域時の計算に当たっては、a)の仮定を用いて評価している。</p> <p data-bbox="1160 1123 1977 1184">7.5.2(5)a)入退域時の評価点は、管理建屋の入口であるサービス建屋入口として評価している。</p>

原子炉制御室の居住性に係る被ばく評価手法について（内規）	制御室居住性に係る被ばく評価の適合状況
<p>(6) 吸入摂取による運転員の内部被ばく線量は、次のとおり計算する。</p> <p>内部被ばく線量＝放出よう素の吸入摂取による実効線量 ×直交替による所要時間割合*1</p> <p>*1) 例:4直3交替勤務・片道15分の場合 0.015625＝(0.25h/直×2×3直×30日/4)／(24h×30日)</p> <p>ここで、吸入摂取による運転員の実効線量は、(7.11)式によって計算する。</p> $H_i = \int RH_e(\chi/Q)Q_i(t)dt \quad \dots\dots\dots (7.11)$ <p> H_i : よう素の吸入摂取の内部被ばくによる実効線量 (Sv) R : 呼吸率(成人活動時) (m^3/s) H_e : よう素(I-131)吸入摂取時の成人の実効線量への 換算係数 (Sv/Bq) χ/Q : 相対濃度 (s/m^3) $Q_i(t)$: 時刻 t におけるよう素環境放出率 (I-131等価量) (Bq/s) T : 計算期間(30日間) (s) (注)30日間連続滞在の場合の値である。 </p>  <p>(a) BWR型原子炉施設</p> <p>図7.24 原子炉冷却材喪失時の放射性蒸気の吸入摂取による入退城時の被ばく</p>	<p>7.5.2(6)吸入摂取による運転員の内部被ばく線量は、示されたとおり計算している。</p>